

**BIJLAGE 1.**

BIJLAGE 4 BIJ HET MB VAN 28 DECEMBER 2018

**TRANSMISSIE REFERENTIE DOCUMENT****Nadere specificaties m.b.t. de berekening van de transmissieverliezen  
in het kader van de energieprestatieregelgeving****BEREKENING VAN DE WARMTEDOORGANGSCOËFFICIËNT VAN WANDEN VAN GEBOUWEN (U-WAARDE),  
VAN DE WARMTEOVERDRACHTSCOËFFICIËNT DOOR TRANSMISSIE IN GEBOUWEN (H-WAARDE)  
EN VAN HET PEIL VAN GLOBALE WARMTE-ISOLATIE (K-PEIL)****Inhoudstafel**

INHOUDSTAFEL .....	1
1 INLEIDING.....	6
2 TOEPASSINGSDOMEIN.....	7
3 NORMATIEVE REFERENTIES.....	8
4 DEFINITIES, EENHEDEN EN SYMBOLEN.....	10
4.1 Definities .....	10
4.2 Symbolen en eenheden .....	12
5 BEPALING VAN DE WARMTEWEERSTAND (R) VAN BOUWLAGEN.....	13
5.1 Algemene principes .....	13
5.2 Warmteweerstand van homogene bouwlagen .....	13
5.3 Warmteovergangsweerstanden aan oppervlakken in contact met de lucht ...	14
5.4 Warmteweerstand van luchtlagen .....	14
5.4.1 Inleiding.....	14
5.4.2 Gewone luchtlagen in muren, daken en vloeren.....	15
5.4.3 Overige luchtlagen.....	18
5.5 Warmteweerstand van luchtlagen (luchtruimten) met dikte groter dan 300 mm	18
6 BEPALING VAN DE TOTALE WARMTEWEERSTAND ( $R_T$ ) VAN BOUWELEMENTEN .....	19
6.1 Bouwelementen opgebouwd uit homogene lagen .....	19
6.2 Bouwelementen opgebouwd uit homogene en niet-homogene lagen .....	19
6.2.1 Toepasbaarheid.....	19
6.2.2 Totale warmteweerstand van een bouwelement (combinatiemethode).....	20
6.2.3 Limietwaarden.....	21
7 WARMTEDOORGANGSCOËFFICIËNT (U) VAN ONDOORSCHIJNENDE BOUWELEMENTEN.....	22
7.1 Algemene uitdrukking .....	22

7.2	Correcties op de U-waarde .....	22
7.2.1	Algemeen.....	22
7.2.2	Correctie voor luchtspleten of -holten in of tussen isolatielagen...	22
7.2.3	Correctie voor mechanische bevestigingen die een isolatielaag doorboren .....	23
7.2.4	Correctieprocedure voor omgekeerde daken.....	27
7.3	Correctie op R-waarde voor in situ gespoten PUR-isolatie .....	29
7.4	U-waarde van bouwdelen met variabele dikte .....	29
7.4.1	Algemene werkwijze.....	29
7.4.2	Opdeling in basisvormen.....	30
7.4.3	Bepaling van de U-waarde voor elk van de basisvormen.....	31
7.4.4	Vereenvoudigde bepaling.....	32
8	BEPALING VAN DE WARMTEDOORGANGSCOËFFICIËNT VAN VENSTERS, DEUREN EN POORTEN	33
8.1	Geometrische karakteristieken van vensters en deuren .....	33
8.1.1	Oppervlakte van venster en deurcomponenten (raamprofielen, beglazingen, ondoorschijnende vulpanelen en ventilatieroosters) .....	33
8.1.2	Zichtbare omtrek van de beglazing.....	34
8.1.3	Oppervlakte van de raamprofielen.....	34
8.1.4	Oppervlakte van het venster of deur.....	36
8.2	Algemene procedure voor de bepaling van de U-waarde van vensters, deuren en poorten .....	36
8.3	Basisgeval: U-waarde van gewone enkelvoudige vensters of gewone deuren	36
8.4	Specifieke gevallen .....	38
8.4.1	Dubbelramen.....	38
8.4.2	Voorzetramen.....	39
8.4.3	Warmteovergangsweerstanden.....	39
8.4.4	Warmteweerstand van ongeventileerde luchtlagen in dubbelramen en voorzetramen .....	40
8.4.5	U-waarde van vensters met gesloten luiken.....	40
8.5	Vereenvoudigde bepaling van de U-waarde en de oppervlakte van de beglazing van vensters .....	42
8.6	Bijkomende specificaties en waarden bij ontstentenis voor opake deuren en poorten	44
9	WARMTEDOORGANGSCOËFFICIËNT VAN COMPONENTEN VAN VENSTERS EN DEUREN.....	45
9.1	Warmtedoorgangskoëfficiënt van beglazingen .....	45
9.2	Warmtedoorgangskoëfficiënt van raamprofielen .....	45
9.2.1	Algemene bepaling.....	45
9.2.2	Bepaling van de $U_f$ -waarde van raamprofielen in dakvensters .....	45
9.3	Warmtedoorgangskoëfficiënt van ondoorschijnende vulpanelen ( $U_p$ ) .....	46
9.4	Warmtedoorgangskoëfficiënt van ventilatieroosters ( $U_r$ ) .....	46
9.5	Lineaire warmtedoorgangskoëfficiënten ( $\Psi$ -waarden) .....	46
10	WARMTEDOORGANGSCOËFFICIËNT VAN LICHTGEVELS.....	47
10.1	Algemeen .....	47
10.2	Constructieve eigenschappen van lichte gevels .....	48
10.2.1	Samenstellende delen en randvoorwaarden .....	48
10.2.2	Definitie van oppervlaktes en perimeter .....	49

10.2.3	Regels voor modellering .....	50
10.3	Bepaling van de $U_{cw}$ -waarde van een module van de lichte gevel: nauwkeurige numerieke berekeningen .....	52
10.3.1	Principe van de nauwkeurige numerieke rekenmethode .....	52
10.3.2	Bepaling van de warmteoverdrachtsstroom door de verbindingselementen 52	
10.3.3	Bepaling van $U_{cw}$ van een module .....	55
10.4	Bepaling van de $U_{cw}$ -waarde van een module: componentenmethode.....	55
10.4.1	Principe van de bepalingsmethode .....	55
10.4.2	Algemene bepaling van $U_{cw}$ .....	55
10.4.3	$U$ -waarde van beglazing en vulpaneel .....	56
10.4.4	$U$ -waarde van profielen en raamstijlen .....	57
10.4.5	Lineaire warmtedoorgangscoefficienten (beglazingen, profielen en raamstijlen) .....	57
10.5	Bepaling van de $U_{cw}$ -waarde voor een lichte gevel opgebouwd uit verschillende modules .....	58
11	WARMTEDOORGANGSCOËFFICIËNT VAN ANDERE DOORSCHIJNENDE WANDEN.....	59
11.1	Glasbouwsteenwanden .....	59
11.2	Kunststof lichtkoepels/lichtstraten .....	59
12	WARMTEOVERDRACHTSCOËFFICIËNT DOOR TRANSMISSIE IN GEBOUWEN.....	61
12.1	Totale warmteoverdrachtscoëfficiënt door transmissie .....	61
12.2	Algemene conventies .....	61
12.2.1	Afbakening van gebouwdelen .....	61
12.2.2	Bepaling van de oppervlakten .....	61
12.2.3	Bepaling van volumes .....	62
13	WARMTEOVERDRACHTSCOËFFICIËNT DOOR TRANSMISSIE DIRECT NAAR DE BUITENOMGEVING ( $H_D$ ) 64	
14	WARMTEOVERDRACHTSCOËFFICIËNT DOOR TRANSMISSIE VIA AANGRENZENDE ONVERWARMDE RUIMTEN ( $H_U$ ) .....	65
15	WARMTEOVERDRACHTSCOËFFICIËNT DOOR TRANSMISSIE VIA DE GROND ( $H_G$ ) EN VIA ONVERWARMDE KELDERS EN KRUIPRUIMTEN .....	68
15.1	Algemeen .....	68
15.2	Vereenvoudigde rekenmethodes .....	68
15.2.1	Vloeren in direct contact met de grond .....	68
15.2.2	Bouwelementen (vloeren, muren, deuren) in contact met onverwarmde kelders en kruipruimten .....	69
15.2.3	Ingegraven muren .....	70
15.3	Randisolatie bij vloeren op volle grond .....	70
16	WARMTEOVERDRACHTSCOËFFICIËNT DOOR TRANSMISSIE DOORHEEN DE BOUWKNOPEN ( $H_T^{JUNCTIONS}$ ) .....	72
16.1	Temperatuurreductiefactor van AOR's, kruipruimten en onverwarmde kelders 72	
17	PEIL VAN GLOBALE WARMTE-ISOLATIE (K-PEIL).....	74
17.1	Volumecompactheid van een gebouw .....	74
17.2	Gemiddelde warmtedoorgangscoefficient van een gebouw .....	74

17.3 Peil van globale warmte-isolatie (K-peil) .....	74
BIJLAGE A BEPALING VAN DE WARMTEGELEIDBAARHEID ( $\Lambda$ -WAARDE) EN VAN DE WARMTEWEERSTAND (R-WAARDE) VAN BOUWMATERIALEN .....	76
A.1 Algemeen .....	76
A.2 Tabellen met waarden bij ontstentenis voor de warmtegeleidbaarheden van homogene of gelijkgestelde bouwmaterialen .....	80
A.2.1 Metalen .....	80
A.2.2 Natuursteen .....	81
A.2.3 Elementen van metselwerk .....	81
A.2.4 Steenachtige bouwdelen zonder voegen (volle wanden, vloerplaten,...) ..	84
A.2.5 Gips, bepleisteringen .....	86
A.2.6 Hout en houtderivaten .....	87
A.2.7 Isolatiematerialen .....	88
A.2.8 Verscheidene materialen .....	90
BIJLAGE B WARMTEWEERSTAND (R-WAARDE) VAN NIET-HOMOGENE BOUWMATERIALEN .....	91
BIJLAGE C WAARDEN BIJ ONTSTENTENIS VOOR VOCHTGEHALTE EN CONVERSIEFACTOREN VOOR STEENACHTIGE MATERIALEN .....	92
BIJLAGE D WARMTEDOORGANGSCOËFFICIËNTEN VAN RAAMPROFIELEN ( $U_F$ -WAARDEN): WAARDEN BIJ ONTSTENTENIS .....	93
D.1 Houten raamprofielen .....	93
D.2 Metalen raamprofielen .....	95
D.2.1 Definities .....	95
D.2.2 Metalen raamprofielen met thermische onderbreking .....	95
D.2.3 Metalen raamprofielen zonder thermische onderbreking .....	97
D.3 Kunststof raamprofielen .....	98
BIJLAGE E LINEAIRE WARMTEDOORGANGSCOËFFICIËNT ( $\Psi$ -WAARDEN) VAN DE ONDERLINGE AANSLUITING TUSSEN RAAMPROFIELEN, BEGLAZINGEN, VULPANELEN EN RAAMSTIJLEN. ...	100
E.1 Algemeen .....	100
E.2 Aansluiting raamprofiel en beglazing .....	100
E.3 Aansluiting raamstijl en beglazing .....	102
E.4 Aansluiting profiel en vulpaneel .....	103
E.5 Aansluiting profiel en raamstijl .....	104
E.5.1 Aluminium en stalen profielen .....	104
E.5.2 Hout en aluminium/hout profielen .....	105
E.6 Berekening van $U_f$ voor profielen geïntegreerd in een lichte gevel ...	106
BIJLAGE F WARMTETRANSMISSIE VIA DE GROND .....	107
F.1 Specifieke nodige invoergegevens .....	107
F.1.1 Thermische karakteristieken van de grond .....	107
F.1.2 Karakteristieke vloerafmeting en equivalente dikte .....	107
F.2 Berekening van de U-waarde en de stationaire warmteoverdracht $H_g$ .....	108
F.2.1 Algemeen .....	108
F.2.2 Vloeren op volle grond .....	108
F.2.3 Vloeren boven kruipruimten .....	111
F.2.4 Schildelen van een kelder .....	114
BIJLAGE G CONVENTIES VOOR DE BEREKENING VAN DE U-WAARDE .....	117

G.1	Inleiding .....	117
G.2	Numerieke en vereenvoudigde rekenmethodes .....	117
G.3	Conventies voor metselwerk en geperforeerde stenen .....	118
G.3.1	$\lambda_U$ -waarde van metselwerk .....	118
G.3.2	$\lambda_U$ -waarde van geperforeerde bouwstenen of -blokken .....	119
G.4	Conventies voor niet-homogene bouwlagen met houtstructuur .....	120
G.5	Bijkomende conventies voor de bepaling van de U-waarde .....	121
G.5.1	Daken met pannen of leien als dakbedekking .....	121
G.5.2	Verlaagde plafonds .....	122
G.5.3	Vloeren .....	122

BIJLAGE H BIJKOMENDE SPECIFICATIES VOOR BESTAANDE CONSTRUCTIEDELEN BIJ  
RENOVATIES .....

		123
H.1	Inleiding .....	123
H.2	Bepaling van de warmteweerstand van bestaande (delen van) muren .....	123
H.2.1	Algemeen .....	123
H.2.2	$R_{insul}$ .....	124
H.2.3	$R_{cav}$ .....	126
H.2.4	$R_{rem,wall,ex}$ .....	126
H.3	Bepaling van de warmteweerstand van bestaande (delen van) daken en plafonds .....	127
H.3.1	Algemeen .....	127
H.3.2	$R_{insul}$ .....	128
H.3.3	$R_{rem,roof,ceiling,ex}$ .....	130
H.4	Bepaling van de warmteweerstand van bestaande (delen van) vloeren ....	130
H.4.1	Algemeen .....	130
H.4.2	$R_{insul}$ .....	131
H.4.3	$R_{rem,floor,ex}$ .....	133
H.5	Bepaling van de U-waarde en g-waarde van bestaande vensters .....	134
H.5.1	$U_f$ -waarde .....	134
H.5.2	$U_g$ -waarde .....	135
H.5.3	$U_p$ -waarde .....	135
H.5.4	$U_r$ -waarde .....	135
H.5.5	g-waarde .....	136
H.6	Bepaling van de U-waarde van bestaande deuren en poorten .....	136
H.7	Bepaling van de U-waarde van bestaande glasbouwsteenwanden .....	136
H.8	Inrekenen van de bouwknopen bij ingrijpende energetische verbouwingen	136
H.9	Stavingsstukken voor de karakteristieken van bestaande constructiedelen	137

BIJLAGE I BIJKOMENDE SPECIFICATIES VOOR DE NA-ISOLATIE VAN BESTAANDE SPOUWMUREN  
139

I.1	Inleiding .....	139
I.2	Algemene bepalingen .....	139
I.2.1	Definities .....	139
I.2.2	Specificaties voor de na-isolatie van bestaande spouwmuren .....	139
I.2.3	Verduidelijkingen .....	139
I.2.4	Aanvullingen .....	140
I.2.5	Afwijkingen .....	140

## 1 Inleiding

Dit document beschrijft expliciet de specificaties m.b.t. de transmissieberekeningen zoals die gelden voor de energieprestatieregelgeving. De overheid kan zo nodig later aanvullende specificaties vastleggen.

De tekst behandelt vnl. de rekenmethoden die rechtstreeks door verslaggevers (en ontwerpers) gehanteerd moeten worden. De bepaling van productgegevens dient in eerste instantie door de fabrikanten/leveranciers te gebeuren.

Als algemene regel kan gesteld worden dat de warmtestroom door de gebouwschil driedimensionaal is. Een precieze bepaling van de warmteoverdrachtscoëfficiënt  $H_T$  vergt dan ook een gedetailleerde numerieke berekening. In strikte zin kan enkel de warmtedoorgangscoefficiënt van bouwelementen bestaande uit vlakke, homogene, parallelle lagen gemakkelijk correct berekend worden. Voor alle andere situaties is in principe een numerieke berekening nodig. Onderhavige tekst bevat evenwel een aantal vereenvoudigde, benaderende methodes die voor die specifieke gevallen toch een gemakkelijke berekening toelaten. Het gaat bv. om bouwelementen met niet-homogene lagen (zie § 6.2), om mechanische bevestigingen (zie § 7.2.3), om bouwelementen met variabele dikte (zie § 7.4), om vensters en deuren (zie § 9), of nog om lichte gevels (zie § 10). Deze mogen steeds toegepast worden in zoverre voldaan is aan de toepassingsvoorwaarden die voor elk van de verschillende gevallen gelden.

In bijlage VIII bij het Energiebesluit worden bouwknopen gedefinieerd. Deze dienen volgens de methodologie die daar beschreven wordt behandeld te worden.

Alle lineaire of puntvormige onderbrekingen of aansluitingen die eigen zijn aan een scheidingsconstructie van het verliesoppervlak en over het oppervlak ervan verdeeld zijn, moeten verplicht ingerekend worden in de warmtedoorgangscoefficiënt van de scheidingsconstructie. Dit dient te gebeuren op één van de twee volgende manieren:

- ofwel volgens de van toepassing zijnde vereenvoudigde methode uit onderhavig document, indien die beschikbaar is
- ofwel o.b.v een gedetailleerde numerieke berekening. Deze aanpak is ook toegelaten ter vervanging van een vereenvoudigde methode.

## 2 Toepassingsdomein

De in deze tekst vermelde rekenprocedures kunnen toegepast worden voor de berekening van de warmtedoorgangscoefficiënt van wanden van gebouwen (U-waarde) en de warmteoverdrachtscoëfficiënt door transmissie in gebouwen (H-waarde), welke ook gebruikt worden bij de bepaling van het K-peil en het E-peil.

De rekenprocedures betreffen de berekeningen van de:

- U-waarde van ondoorschijnende bouwelementen, opgebouwd uit homogene en niet homogene bouwlagen en luchtlagen;
- U-waarde van doorschijnende bouwelementen (beglazingen, vensters, deuren en hun samenstellende componenten);
- warmteoverdrachtscoëfficiënt door transmissie naar de buitenomgeving (rechtstreeks, via aangrenzende onverwarmde ruimten en via de grond).

### 3 Normatieve referenties

Voor normen voorzien van een datum is enkel de geciteerde versie van toepassing, tenzij de overheid expliciet een andere versie ter vervanging aanduidt. Voor de ongedateerde normen geldt in principe de meeste recente versie, rekening houdend met de regels die van toepassing zijn voor de bepaling van productkarakteristieken.

NBN EN 673	Glass in buildings. Determination of thermal transmittance. Calculation method
NBN EN 674	Glass in buildings. Determination of thermal transmittance. Guarded hot plate method
NBN EN 675	Glass in buildings. Determination of thermal transmittance. Heat flow meter method.
NBN EN 1051-2	Glass in buildings. Glass blocks and glass paver units. Part 2: evaluation of conformity.
NBN EN 1745	Masonry and masonry products. Methods for determining design thermal values.
NBN EN 1873:2016	Prefabricated accessories for roofing - Individual rooflights of plastics - Product specification and test methods
NBN EN 1934	Thermal performance of buildings. Determination of thermal resistance by hot box method using heat flow meter. Masonry.
NBN EN ISO 6946:2008	Building components and building elements - Thermal resistance and thermal transmittance - Calculation method.
NBN EN ISO 8990	Thermal insulation. Determination of steady-state thermal transmission properties. Calibrated and guarded hot box method.
NBN EN ISO 10077-1:2006	Thermal performance of windows, doors and shutters. Calculation of thermal transmittance. Part 1: general.
NBN EN ISO 10077-2:2003	Thermal performance of windows, doors and shutters. Calculation of thermal transmittance. Part 2: numerical method for frames.
NBN EN ISO 10211:2008	Thermal bridges in building constructions. Heat flows and surface temperatures. Detailed calculations.
NBN EN ISO 10456	Thermal insulation - Building materials and products - Determination of declared and design values
NBN EN 12412-2	Thermal performance of windows, doors and shutters. Determination of thermal transmittance by hot box method. Part 2: frames
NBN EN ISO 12567-1	Thermal performance of windows and doors. Determination of thermal transmittance by hot box method.
NBN EN ISO 12567-2	Thermal performance of windows and doors. Determination of thermal transmittance by hot box method. Part 2: roof windows and other projecting windows
NBN EN 12428	Industrial, commercial and garage doors - Thermal transmittance - Requirements for the calculation
NBN EN ISO 12631:2017	Thermal performance of curtain walling - Calculation of thermal transmittance (ISO 12631:2017)
NBN EN 12664	Thermal performance of building materials. Determination of thermal resistance by means of guarded hot plate and heat flow meter methods. Dry and moist products of medium and low thermal resistance.
NBN EN 12667	Thermal performance of building materials. Determination of thermal resistance by means of guarded



	hot plate and heat flow meter methods. Products of high and medium thermal resistance.
NBN EN 12939	Thermal performance of building materials and products. Determination of thermal resistance by means of guarded hot plate and heat flow meter methods. Thick products of high and medium thermal resistance
NBN EN 12835	Shutters and blinds. Determination of air permeability.
NBN EN ISO 13370:2008	Thermal performance of buildings. Heat transfer via the ground - Calculation methods.
NBN EN 13125	Shutters and blinds. Additional thermal resistance. Allocation of a class of air permeability to a product.

## 4 Definities, eenheden en symbolen

### 4.1 Definities

- **Binnenafmeting:** lengte gemeten binnen een vertrek van een gebouw van wand tot wand of van vloer tot plafond.
- **Buitenafmeting:** lengte gemeten aan de buitenzijde van een gebouw
- **Bouwdeel, bouwelement:** deel van een gebouw, zoals muur, vloer, dak
- **Droog resulterende temperatuur:** rekenkundig gemiddelde waarde van de binnenluchttemperatuur en de gemiddelde stralingstemperatuur van alle wanden die de binnenomgeving omringen
- **Energiebesluit:** besluit van de Vlaamse Regering van 19 november 2010 houdende algemene bepalingen over het energiebeleid, inclusief eventuele latere wijzigingen.
- **Emissiefactor ( $\epsilon$ ):** verhouding tussen de hoeveelheid energie die door het oppervlak op een bepaalde temperatuur door infraroodstraling wordt uitgezonden en de hoeveelheid energie die door infraroodstraling wordt uitgezonden door een zwart lichaam op dezelfde temperatuur.
- **Gedeclareerde (thermische) waarde:** verwachte waarde van een thermische eigenschap van een bouw materiaal of -product, bekomen op basis van gemeten waarden bij referentieomstandigheden van temperatuur en vochtigheid, voor een bepaalde fractie en graad van betrouwbaarheid en in overeenstemming met een redelijke verwachte levensduur in normale omstandigheden.
- **Karakteristieke vloerafmeting:** oppervlakte van de vloer gedeeld door de halve perimeter van de vloer.
- **Kelder:** bruikbaar gedeelte van een gebouw waarvan minstens 70% van de buitenwanden in contact met de grond zijn.  
NOTA Deze ruimte kan al of niet verwarmd zijn.
- **Materiaal:** deel van een product, ongeacht de vorm en de afmetingen en zonder bekleding of coating
- **Product:** eindvorm van een materiaal, gereed voor gebruik, met bepaalde vorm en afmetingen en voorzien van bekleding of coating
- **Referentie buitentemperatuur:** luchttemperatuur van de buitenomgeving bij een volledig bewolkte hemel
- **Referentie binnentemperatuur:** droog resulterende temperatuur in een vertrek
- **(Thermische) rekenwaarde:** waarde van de thermische eigenschap van een bouw materiaal of -product onder specifieke binnen- en buitenomstandigheden van temperatuur en vochtgehalte, die als typisch kunnen beschouwd worden voor dat materiaal of product wanneer dit geplaatst is in een bouwdeel  
NOTA Een product of materiaal kan verschillende rekenwaarden hebben naargelang van de toepassing.
- **Thermisch homogene laag:** bouwlaag met constante dikte die thermische eigenschappen heeft die uniform zijn of die als uniform kunnen beschouwd worden.
- **Verwarmde (gekoelde) ruimte:** vertrek of ruimte die verwarmd (gekoeld) wordt op een ingestelde temperatuur.
- **Vloer boven kruipruimte:** vloerconstructie voor dewelke de gehele vloer zich boven het grondpeil bevindt, waardoor er zich een luchtlaag bevindt tussen de vloer en de grond.  
NOTA Deze luchtlaag, ook kruipruimte genoemd, kan al of niet geventileerd zijn en maakt meestal geen deel uit van het beschermd volume van een gebouw.
- **Vloer op volle grond:** vloerconstructie die over zijn gehele oppervlakte in direct contact is met de grond.
- **Warmtedoorgangscoefficiënt (U) [ $W/(m^2.K)$ ]:** Hoeveelheid warmte die in een stationaire toestand doorheen een bouwdeel gaat, gedeeld door de oppervlakte

en het temperatuurverschil tussen de binnen- en de buitenomgeving aan weerszijden van het betrokken bouwdeel.

- **Warmtegeleidbaarheid ( $\lambda_D$ ) [W/(m.K)]**: rekenwaarde van de warmtestroomdichtheid per eenheid lengte en per eenheid temperatuurverschil die in stationaire toestand optreedt in een bouw materiaal of bouwproduct onder bepaalde specifieke binnen- of buitencondities, die als typisch kunnen beschouwd worden voor de prestaties van het betrokken product of materiaal indien het in een bouwelement geïntegreerd is.
- **Warmtestroom ( $\Phi$ ) [W]**: de hoeveelheid warmte die per tijd naar (of uit) een systeem wordt gevoerd (of afgevoerd).
- **Warmtestroomdichtheid ( $q$ ) [W/m<sup>2</sup>]**: warmtestroom per oppervlakte.
- **Warmteweerstand (R) [m<sup>2</sup>.K/W]**: reciproke waarde van de warmtedoorgangscoefficiënt van een bouwelement onder bepaalde specifieke binnen- of buitencondities die als typisch kunnen beschouwd worden voor de prestaties van het betrokken bouwelement.
- **Warmte koppelingscoëfficiënt**: warmtestroom die in stationaire toestand optreedt door een gedeelte van de gebouwschil, gedeeld door het temperatuurverschil tussen twee omgevingen die thermisch gekoppeld of verbonden zijn door het betrokken constructiegedeelte.
- **Warmteoverdrachtscoëfficiënt door transmissie ( $H_T$ ) [W/K]**: de totale warmtestroom door transmissie die in stationaire toestand optreedt tussen een (verwarmde) binnenruimte en de buitenomgeving, gedeeld door het temperatuurverschil tussen de binnen- en de buitenomgeving (beide temperaturen zijn uniform beschouwd).
- **Warmteoverdrachtscoëfficiënt door ventilatie ( $H_V$ ) [W/K]**: warmtestroom door ventilatie tussen een binnenruimte en de buitenomgeving, gedeeld door het temperatuurverschil tussen de binnen- en de buitenomgeving.

## 4.2 Symbolen en eenheden

Symbol	Betekenis	Eenheid
A	oppervlakte	m <sup>2</sup>
B'	karacteristieke vloerafmeting	m
G <sub>w</sub>	correctiefactor (grondwaterstroming)	-
H	warmteoverdrachtscoëfficiënt	W/K
P	perimeter (wanden in contact met de grond)	m
R	warmteweerstand van een bouwlaag	m <sup>2</sup> .K/W
R <sub>g</sub>	warmteweerstand van een luchtlaag in wand	m <sup>2</sup> .K/W
R <sub>s</sub>	warmteweerstand van een luchtlaag tussen vensters	m <sup>2</sup> .K/W
R <sub>si</sub>	warmteovergangsweerstand aan het binnenoppervlak	m <sup>2</sup> .K/W
R <sub>se</sub>	warmteovergangsweerstand aan het buitenoppervlak	m <sup>2</sup> .K/W
R <sub>T</sub>	totale warmteweerstand van een wand	m <sup>2</sup> .K/W
U	warmtedoorgangscoefficiënt	W/(m <sup>2</sup> .K)
V	volume	m <sup>3</sup>
a	correctieterm, reductiefactor	-
b	breedte	m
c	specifieke of soortelijke warmtecapaciteit	J/kgK
d	dikte (van een bouwlaag), lengte (van een mechanische bevestiging)	m
f	fractie, factor	-
h	hoogte	-
l	omtrek, lengte	m
m	massa	kg
n	ventilatievoud	h <sup>-1</sup>
w	dikte wand	m
z	diepte	m
ε <sub>n</sub>	normale emissiviteit van een beglazing	-
λ	warmtegeleidbaarheid van een bouw materiaal	W/(m.K)
ΔR	bijkomende warmteweerstand van een luik	m <sup>2</sup> .K/W
ΔU	correctieterm op U-waarde	W/(m <sup>2</sup> .K)
χ	puntwarmtedoorgangscoefficiënt	W/K
Ψ	lineaire warmtedoorgangscoefficiënt	W/(m.K)
ρ	dichtheid, volumemassa	kg/m <sup>3</sup>

## 5 Bepaling van de warmteweerstand (R) van bouwlagen

### 5.1 Algemene principes

Het algemene principe van de bepaling van de warmteweerstand (R-waarde) van bouwelementen is het volgende:

- bepaal eerst de warmteweerstand van elke homogene bouwlaag van het bouwelement;
- tel dan de individuele warmteweerstanden van het bouwelement op om de totale warmteweerstand te bekomen, eventueel met inbegrip van de warmteovergangswaarden aan het binnen- en het buitenoppervlak van het bouwelement.

De warmteweerstanden van de homogene bouwlagen worden gegeven in § 5.2 en de waarden van de warmteovergangswaarden ( $R_{si}$  en  $R_{se}$ ) in § 5.3.

De in bouwelementen aanwezige luchtlagen (bv. een spouw) worden in het kader van deze tekst beschouwd als homogene lagen. Waarden van de warmteweerstand van luchtlagen worden gegeven in § 5.4.

De totale warmteweerstand van een bouwelement ( $R_T$ ) wordt bepaald volgens § 6.1 (wand met enkel homogene bouwlagen) of § 6.2 (wand met één of meer niet-homogene bouwlagen) en tenslotte wordt de warmtedoorgangscoefficiënt (U-waarde) bepaald volgens § 7.1.

Tenslotte worden eveneens mogelijke correcties voorzien op de berekende U-waarde van geïsoleerde bouwelementen, om rekening te houden met de specifieke plaatsing van isolatiematerialen, zoals doorboringen met mechanische bevestigingen (zie § 7.2.3) en neerslag op omkeerdaken (zie § 7.2.4).

NOTA Bij de berekening van de transmissieverliezen wordt de droog resulterende temperatuur aangenomen als de temperatuur van de binnenomgeving en de luchttemperatuur als de temperatuur van de buitenomgeving.

### 5.2 Warmteweerstand van homogene bouwlagen

De bepaling van de rekenwaarde van de warmtegeleidbaarheid ( $\lambda_U$ -waarde) of van de warmteweerstand van bouwmaterialen (R-waarde) gebeurt volgens bijlage A of bijlage B van deze tekst.

Indien de warmtegeleidbaarheid van een bouw materiaal gekend is, dan kan de warmteweerstand bepaald worden volgens:

$$\text{Eq. 1} \quad R = \frac{d}{\lambda_U} \quad \text{m}^2 \cdot \text{K/W}$$

waarin:

$d$  de dikte van het materiaal, in m;

$\lambda_U$  de warmtegeleidbaarheid van het materiaal, in W/(m.K).

### 5.3 Warmteovergangsweerstanden aan oppervlakken in contact met de lucht

Voor vlakke oppervlakken en in afwezigheid van verdere specifieke informatie m.b.t. de randvoorwaarden, kunnen de ontwerpwaarden van de warmteovergangsweerstanden  $R_{si}$  (binnencondities) en  $R_{se}$  (buitencondities) uit Tabel [1] gebruikt worden. Deze waarden zijn geldig voor oppervlakken in contact met de lucht.

Tabel [1]: Warmteovergangsweerstanden  $R_{si}$  en  $R_{se}$  aan oppervlakken in contact met de lucht (in  $m^2 \cdot K/W$ )

	Richting van de warmtestroom		
	opwaarts	horizontaal (1)	neerwaarts
$R_{si} m^2 \cdot K/W$	0,10	0,13	0,17
$R_{se} m^2 \cdot K/W$	0,04	0,04	0,04
(1) geldig voor een warmtestroomrichting die niet meer dan $\pm 30^\circ$ afwijkt van het horizontaal vlak.			

NOTA In bijlage A van NBN EN ISO 6946 worden gedetailleerde procedures gegeven voor speciale gevallen ( $R_{si}$ - en  $R_{se}$ -waarden voor oppervlakken met lage emissiviteit, voor specifieke windsnelheden en voor niet-vlakke oppervlakken). In het kader van de energieprestatieregelgeving dient bij conventie steeds gerekend te worden met een windsnelheid van 4 m/s en dient  $h_{r0}$  (zoals gedefinieerd in die norm) bij een temperatuur van  $10^\circ C$  beschouwd worden.

### 5.4 Warmteweerstand van luchtlagen

#### 5.4.1 Inleiding

De warmteweerstand van een luchtlaag is afhankelijk van het type van luchtlaag, de richting van de warmtestroom doorheen de luchtlaag, de dikte, de geometrie en de helling van de luchtlaag, de emissiviteit van de begrenzende oppervlakken en de ventilatiemogelijkheden van de luchtlaag. Naargelang het geval kan de warmteweerstand van de luchtlaag nauwkeurig bepaald worden door proeven of berekeningen, ofwel kunnen waarden bij ontstentenis gekozen worden uit tabellen.

Voor sommige gevallen wordt de warmteweerstand van luchtlaag of -holte niet apart berekend, maar is deze reeds begrepen in de U-waarde van het bouwelement waarin de luchtlaag of -holte zich bevindt (bv. geperforeerde stenen, holle bouwblokken, beglazingen, raamprofielen,...).

NOTA Luchtlagen met een dikte groter dan 300 mm worden behandeld als een aangrenzende onverwarmde ruimte.

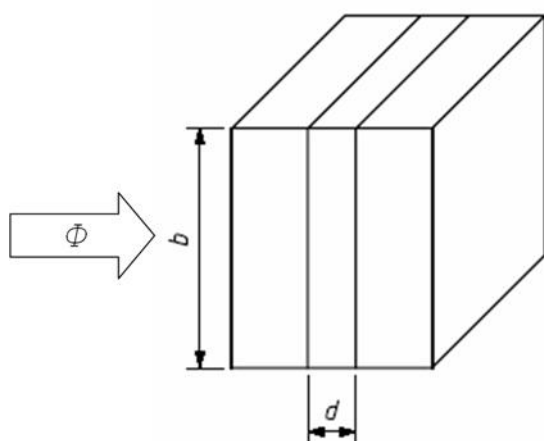
## 5.4.2 Gewone luchtlagen in muren, daken en vloeren

### 5.4.2.1 Voorwaarden

De waarden van de warmteweerstand van de luchtlagen behandeld in deze paragraaf (§ 5.4.2) zijn geldig voor luchtlagen die beantwoorden aan elk van de volgende voorwaarden (zie Figuur [1]):

- de luchtlaag wordt begrensd door twee vlakken die evenwijdig zijn en die loodrecht op de richting van de warmtestroom staan en waarvan de oppervlakken een hoge emissiviteit hebben (niet reflecterend, de meeste bouwmaterialen voldoen aan deze laatste eis);
- de luchtlaag heeft een dikte (gemeten in de richting van de warmtestroom) die niet groter is dan 300 mm;
- voor de luchtlaag is de verhouding van de dikte tot de lengte ( $d/L$ ) en van de dikte tot de breedte ( $d/b$ ) niet groter dan 0,1;
- er zijn geen luchtuitwisselingsmogelijkheden tussen de luchtlaag en de binnenomgeving.

Figuur [1]: Gewone luchtlaag



$\Phi$ : richting van de warmtestroom

$d$ : dikte van de luchtlaag

$b$ : breedte of hoogte

$L$ : lengte

$d \leq 300 \text{ mm}$

$d/b \leq 0,10$  en  $d/L \leq 0,10$

Voor luchtlagen tussen één of meer oppervlakken met lage emissiviteit (reflecterend) wordt verwezen naar bijlagen B.2 en B.3 van NBN EN ISO 6946. Daarbij moet  $h_{r0}$  bij een temperatuur van  $10^\circ\text{C}$  beschouwd worden en moet  $h_a$  aan tabel B.1 van deze norm ontleend worden. De definities van  $h_{r0}$  en  $h_a$  worden in de norm zelf gegeven.

Rekenwaarden van de warmteweerstand van luchtlagen zijn gegeven in § 5.4.2.2 (niet geventileerde luchtlagen, gewone gevallen met oppervlakken met hoge emissiviteit) en in § 5.4.2.3 (idem, maar met matig geventileerde luchtlagen). In § 5.4.2.4 wordt de rekenprocedure voor sterk geventileerde luchtlagen gegeven.

NOTA Luchtlagen die niet luchtdicht afgesloten zijn van de binnenomgeving, worden beschouwd als behorende tot de verwarmde binnenomgeving waarmee ze in verbinding staan doorheen openingen, spleten of voegen. De warmteweerstand van de bouwdelen tussen deze luchtlagen en de binnenomgeving wordt dus niet in aanmerking genomen.

#### 5.4.2.2 Niet geventileerde luchtlagen

Een niet geventileerde luchtlaag is een luchtlaag in dewelke geen enkele externe luchtstroming mogelijk is. In het geval van wanden in dewelke een aanwezige luchtlaag via kleine openingen in contact staat met de buitenomgeving, kan deze luchtlaag eveneens als ongeventileerd beschouwd worden indien de volgende drie voorwaarden tegelijk vervuld zijn:

- er bevindt zich geen isolatielaag tussen de luchtlaag en de buitenomgeving;
- de openingen via dewelke de luchtlaag in contact staat met de buitenomgeving, zijn zodanig geplaatst dat er geen luchtstroming door de luchtlaag mogelijk is;
- de totale oppervlakte van de openingen is niet groter dan 500 mm<sup>2</sup> per meter lengte (verticale luchtlagen) of 500 mm<sup>2</sup> per m<sup>2</sup> luchtlaag (horizontale luchtlagen).

De warmteweerstanden van gewone niet-geventileerde luchtlagen, begrensd door oppervlakken met hoge emissiviteit, zijn gegeven in Tabel [2] in functie van de dikte van de luchtlaag en de richting van de warmtestroom.

**Tabel [2]: Warmteweerstand (in m<sup>2</sup>.K/W) van ongeventileerde luchtlagen begrensd door oppervlakken met hoge emissiviteit (gewone gevallen)**

Dikte d van de luchtlaag (mm)	Richting van de warmtestroom		
	opwaarts	horizontaal (1)	neerwaarts
0 < d < 5	0,00	0,00	0,00
5 ≤ d < 7	0,11	0,11	0,11
7 ≤ d < 10	0,13	0,13	0,13
10 ≤ d < 15	0,15	0,15	0,15
15 ≤ d < 25	0,16	0,17	0,17
25 ≤ d < 50	0,16	0,18	0,19
50 ≤ d < 100	0,16	0,18	0,21
100 ≤ d < 300	0,16	0,18	0,22
d = 300	0,16	0,18	0,23

(1) voor warmtestroom die niet meer dan ± 30° afwijkt van het horizontaal vlak

#### 5.4.2.3 Matig geventileerde luchtlagen

Een matig geventileerde luchtlaag is een luchtlaag waarin een beperkte luchtstroming uit de buitenomgeving mogelijk is. Dit is het geval indien de totale oppervlakte van de ventilatieopeningen A<sub>v</sub> voldoet aan de volgende voorwaarden:

- > 500 mm<sup>2</sup> maar ≤ 1500 mm<sup>2</sup> per m lengte (verticale luchtlagen);
- > 500 mm<sup>2</sup> maar ≤ 1500 mm<sup>2</sup> per m<sup>2</sup> luchtlaag (horizontale luchtlagen).

Het effect van de ventilatie hangt af van de grootte en de verdeling van de ventilatieopeningen. Bij conventie mag de totale warmteweerstand van een bouwelement met een matig geventileerde luchtlaag berekend worden met:

$$\text{Eq. 2} \quad R_T = \frac{1500 - A_v}{1000} R_{T,u} + \frac{A_v - 500}{1000} R_{T,v} \quad \text{m}^2 \cdot \text{K/W}$$

waarin:



- $A_v$  de totale oppervlakte van de ventilatieopeningen per m lengte in  $\text{mm}^2/\text{m}$  (voor verticale luchtlagen) of per  $\text{m}^2$  luchtlaag en in  $\text{mm}^2/\text{m}^2$  (voor horizontale luchtlagen);
- $R_{T,u}$  de totale warmteweerstand van hetzelfde bouwelement maar met een ongeventileerde luchtlaag, berekend volgens § 5.4.2.2, in  $\text{m}^2 \cdot \text{K}/\text{W}$ ;
- $R_{T,v}$  de totale warmteweerstand van hetzelfde bouwelement maar met een sterk geventileerde luchtlaag, berekend volgens § 5.4.2.4, in  $\text{m}^2 \cdot \text{K}/\text{W}$ .

Alternatief mag ook nog de oude methode gehanteerd worden. Hierbij zijn de ontwerpwaarden van de warmteweerstand van matig geventileerde luchtlagen gelijk aan de helft van de corresponderende waarden in Tabel [2] (enkel geldig voor oppervlakken met hoge emissiviteit). Indien bovendien de totale warmteweerstand van de bouwlagen (van oppervlak tot oppervlak) tussen de luchtlaag en de buitenomgeving groter is dan  $0,15 \text{ m}^2 \cdot \text{K}/\text{W}$ , dan zal deze warmteweerstand begrensd blijven tot deze waarde ( $0,15 \text{ m}^2 \cdot \text{K}/\text{W}$ ).

#### 5.4.2.4 Sterk geventileerde luchtlagen

Een sterk geventileerde luchtlaag is een luchtlaag voor dewelke de totale oppervlakte van de ventilatieopeningen tussen de luchtlaag en de buitenomgeving voldoen aan de volgende voorwaarden:

- $> 1500 \text{ mm}^2$  per m lengte (verticale luchtlagen);
- $> 1500 \text{ mm}^2$  per  $\text{m}^2$  luchtlaag (horizontale luchtlagen).

De totale warmteweerstand van een bouwelement dat voorzien is van een sterk geventileerde luchtlaag wordt berekend door de totale warmteweerstand van de luchtlaag en van alle bouwlagen tussen de luchtlaag en de buitenomgeving te verwaarlozen en de  $R_{se}$  waarde te vervangen door  $R_{si}$ .

### 5.4.3 Overige luchtlagen

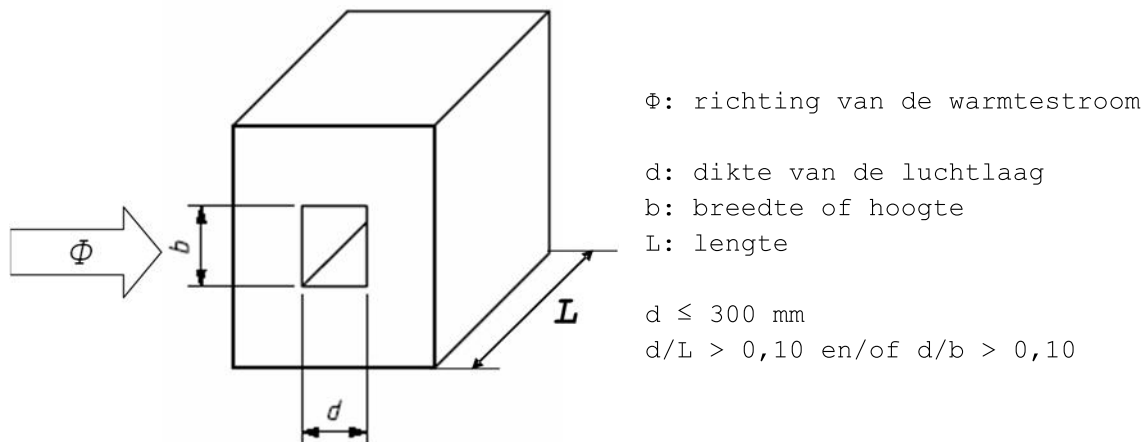
Luchtlagen of -holten kunnen deel uitmaken van een product, bv. dubbele beglazing of geperforeerde metselstenen. De invloed van de luchtlag of -holte wordt opgenomen in de productkarakteristiek (U-waarde of equivalente lambdawaarde). Dit wordt daarom hier niet behandeld.

Luchtlagen zoals die voorkomen bij voorzet- en dubbelramen worden behandeld in § 8.4.4. Luchtlagen tussen vensters en luiken worden behandeld in § 8.4.5.2.

#### 5.4.3.1 Holten of leemten

Dergelijke holten kunnen bv. optreden tussen dakspanten.

Figuur [2]: Buisvormige holten



In bijlage B.4 van NBN EN ISO 6946 wordt de berekening van de warmteweerstand van kleine buisvormige niet-geventileerde luchtlagen gegeven (holten, leemten). Bij deze luchtlagen is de verhouding van dikte tot lengte (of breedte) groter dan 0,1. Figuur [2] illustreert een dergelijke luchtlag.

### 5.5 Warmteweerstand van luchtlagen (luchtruimten) met dikte groter dan 300 mm

Luchtlagen met een dikte groter dan 300 mm worden beschouwd als een aangrenzende onverwarmde ruimte. Aangrenzende onverwarmde ruimten worden in het kader van de energieprestatieregelgeving behandeld zoals beschreven in bijlage A van bijlage V bij het Energiebesluit.

## 6 Bepaling van de totale warmteweerstand ( $R_T$ ) van bouwelementen

### 6.1 Bouwelementen opgebouwd uit homogene lagen

De totale warmteweerstand  $R_T$  (van omgeving tot omgeving) van een vlak bouwelement, opgebouwd uit thermisch homogene bouwlagen die loodrecht staan op de warmtestroom, wordt berekend volgens:

$$\text{Eq. 3} \quad R_T = R_{si} + R_1 + R_2 + \dots + R_n + R_{se} \quad \text{m}^2 \cdot \text{K/W}$$

waarin:

$R_{si}$	de warmteovergangswaarde aan het binnenoppervlak, bepaald volgens § 5.3, in $\text{m}^2 \cdot \text{K/W}$ ;
$R_1, R_2, \dots, R_n$	de warmteweerstanden van elke bouwlaag, in $\text{m}^2 \cdot \text{K/W}$ ;
$R_{se}$	de warmteovergangswaarde aan het buitenoppervlak, bepaald volgens § 5.3, in $\text{m}^2 \cdot \text{K/W}$ .

NOTA 1 Indien  $R_T$  als eindresultaat gepresenteerd wordt, dan dient het afgerond te worden op 2 decimalen.

NOTA 2 Eq. 3 geldt voor buitenwanden. In het geval van binnenwanden wordt  $R_{se}$  in Eq. 3 vervangen door  $R_{si}$ . Indien de totale warmteweerstand (van oppervlak tot oppervlak) moet berekend worden dan vallen de beide  $R_s$ -waarden in Eq. 3 weg.

NOTA 3 De oppervlakte van een gebogen bouwelement is deze van een tot een plat bouwelement getransformeerd vlak met dezelfde geprojecteerde oppervlakte. Hierbij wordt gerekend met de buitenafmetingen van het gebogen bouwelement.

### 6.2 Bouwelementen opgebouwd uit homogene en niet-homogene lagen

#### 6.2.1 Toepasbaarheid

In de volgende paragrafen wordt een vereenvoudigde rekenmethode gegeven om de warmteweerstand van bouwelementen te berekenen die opgebouwd zijn uit thermisch homogene en niet-homogene bouwlagen.

Een nauwkeuriger resultaat kan bekomen worden door gebruik te maken van een numerieke methode in overeenstemming met NBN EN ISO 10211 (zie extra toelichting in bijlage G.2).

Lijn- en puntvormige onderbrekingen of aansluitingen die eigen zijn aan een scheidingsconstructie van het verliesoppervlak en over het oppervlak ervan verdeeld zijn, moeten verplicht ingerekend worden in de totale warmteweerstand  $R_T$  van de scheidingsconstructie van het verliesoppervlak, hetzij via de vereenvoudigde rekenmethode, hetzij via de numerieke methode in overeenstemming met NBN EN ISO 10211

De vereenvoudigde methode mag niet worden toegepast in de volgende gevallen:

- wanneer de verhouding van de boven- tot de onderwaarde van de warmteweerstand (zie hieronder) groter is dan 1.5.
- wanneer de isolatielaag overbrugd wordt door metaal.

Voor metalen bevestigingen kan de methode in 1<sup>e</sup> instantie toegepast worden alsof er geen metalen bevestigingen zouden zijn, en het bekomen resultaat dient vervolgens gecorrigeerd te worden in overeenstemming met § 7.2.

### 6.2.2 Totale warmteweerstand van een bouwelement (combinatiemethode)

De totale warmteweerstand  $R_T$  van een bouwelement, opgebouwd uit thermisch homogene en thermisch niet-homogene bouwlagen die loodrecht staan op de warmtestroom, wordt bepaald als het rekenkundig gemiddelde van de boven- en onderwaarde van de warmteweerstand:

$$\text{Eq. 4} \quad R_T = \frac{R'_T + R''_T}{2} \quad \text{m}^2 \cdot \text{K/W}$$

met:

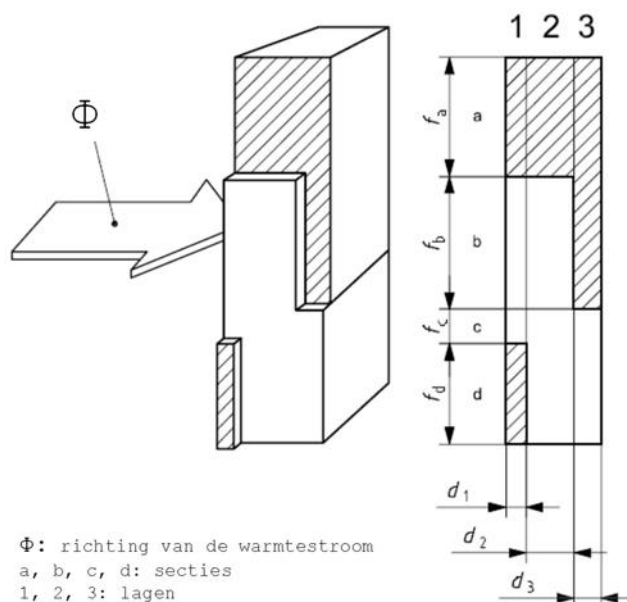
$R'_T$ : de bovenwaarde van de warmteweerstand, berekend volgens Eq. 5, in  $\text{m}^2 \cdot \text{K/W}$ ;

$R''_T$ : de onderwaarde van de warmteweerstand, berekend volgens Eq. 7, in  $\text{m}^2 \cdot \text{K/W}$ .

De berekening van de boven- en onderwaarde wordt uitgevoerd door het bouwelement op te splitsen in secties en lagen, zodanig dat het bouwelement enkel nog bestaat uit delen die op zichzelf thermisch homogeen zijn (zie voorbeeld van Figuur [3]):

- het bouwelement wordt opgedeeld in secties (a, b, c, en d) met respectievelijke oppervlaktes ( $A_a$ ,  $A_b$ ,  $A_c$  en  $A_d$ ) en in lagen (1, 2 en 3), met respectievelijke diktes ( $d_1$ ,  $d_2$  en  $d_3$ );
- de secties (a, b, c, d), die loodrecht staan op de oppervlakken van het bouwelement, vertegenwoordigen elk afzonderlijk een deeloppervlakte ( $f_a$ ,  $f_b$ ,  $f_c$ ,  $f_d$ ) t.o.v. de totale oppervlakte;
- de lagen (1, 2, 3), die parallel zijn met de oppervlakken van het bouwelement, hebben een dikte  $d_1$ ,  $d_2$  en  $d_3$ ;
- alle thermisch homogene delen ( $a_1 \dots d_3$ ) hebben een welbepaalde warmtegeleidbaarheid ( $\lambda_{a1}, \dots, \lambda_{d3}$ ), een bepaalde dikte ( $d_1, \dots, d_3$ ), een deeloppervlakte ( $f_a, \dots, f_d$ ) en een warmteweerstand ( $R_{a1}, \dots, R_{d3}$ );
- de deeloppervlakte van een sectie is een proportioneel deel van de totale oppervlakte, zodat  $f_a + f_b + \dots + f_d = 1$ .

Figuur [3]: Secties en lagen van een thermisch niet homogeen bouwelement



### 6.2.3 Limietwaarden

De **bovenwaarde** van de warmteweerstand wordt bepaald door aan te nemen dat de éédimensionale warmtestroom loodrecht staat op de oppervlakken van het bouwelement. De bovenwaarde wordt gegeven door:

$$\text{Eq. 5} \quad \frac{1}{R'_T} = \frac{f_a}{R_{Ta}} + \frac{f_b}{R_{Tb}} + \frac{f_c}{R_{Tc}} + \frac{f_d}{R_{Td}} \quad \text{W/(m}^2 \cdot \text{K)}$$

met:

$R_{Ta}, R_{Tb}, \dots, R_{Td}$  totale warmteweerstanden (van omgeving tot omgeving) van elke sectie, in  $\text{m}^2 \cdot \text{K/W}$ , berekend volgens Eq. 3;  
 $f_a, f_b, \dots, f_d$  de deelopervlaktes (fracties) van elke sectie (-).

De **onderwaarde** van de warmteweerstand wordt bepaald door aan te nemen dat alle vlakken die parallel zijn met de oppervlakken van het bouwelement isothermische vlakken zijn.

Voor elke thermisch niet-homogene bouwlaag (1, 2, 3, ...) wordt een equivalente warmteweerstand  $R_j$  als volgt bepaald:

$$\text{Eq. 6} \quad \frac{1}{R_j} = \frac{f_a}{R_{aj}} + \frac{f_b}{R_{bj}} + \frac{f_c}{R_{cj}} + \frac{f_d}{R_{dj}} \quad \text{W/(m}^2 \cdot \text{K)}$$

De onderwaarde van de warmteweerstand wordt dan bepaald volgens:

$$\text{Eq. 7} \quad R''_T = R_{si} + R_1 + R_2 + \dots + R_n + R_{se} \quad \text{m}^2 \cdot \text{K/W}$$

NOTA In het kader van de energieprestatieregelgeving is het ook toegelaten om enkel met de onderwaarde van de warmteweerstand te rekenen.

## 7 Warmtedoorgangscoefficiënt (U) van ondoorschijnende bouwelementen

### 7.1 Algemene uitdrukking

De warmtedoorgangscoefficiënt (U-waarde) van een ondoorschijnend bouwelement wordt gegeven door:

$$\text{Eq. 8} \quad U = \frac{1}{R_T} \quad \text{W/(m}^2 \cdot \text{K)}$$

met:

$R_T$  de totale thermische weerstand van een bouwelement, berekend volgens Eq. 3 of Eq. 4, in  $\text{m}^2 \cdot \text{K/W}$ .

Bij de berekening van de U-waarde, moeten de aangenomen invoergegevens ter informatie opgegeven worden of beschikbaar zijn.

NOTA Indien U als eindresultaat gepresenteerd wordt, dan dient het afgerond te worden op 2 decimalen.

### 7.2 Correcties op de U-waarde

#### 7.2.1 Algemeen

Correcties dienen in principe toegepast te worden op de volgens Eq. 8 berekende U-waarde, om rekening te houden met de effecten van de volgende gevallen of situaties:

- luchtspleten of holten in isolatielagen;
- mechanische bevestigingen die isolatielagen doorboren;
- neerslag op omgekeerde daken.

De gecorrigeerde U-waarde ( $U_c$ ), wordt als volgt gedefinieerd:

$$\text{Eq. 9} \quad U_c = U + \Delta U \quad \text{W/(m}^2 \cdot \text{K)}$$

waarbij de correctieterm  $\Delta U$  bepaald is volgens:

$$\text{Eq. 10} \quad \Delta U = \Delta U_g + \Delta U_f + \Delta U_r \quad \text{W/(m}^2 \cdot \text{K)}$$

hierin zijn:

$\Delta U_g$  correctieterm voor luchtspleten en holten, in  $\text{W/(m}^2 \cdot \text{K)}$ ;

$\Delta U_f$  correctieterm voor mechanische bevestigingen, in  $\text{W/(m}^2 \cdot \text{K)}$ ;

$\Delta U_r$  correctieterm voor omgekeerde daken, in  $\text{W/(m}^2 \cdot \text{K)}$ .

#### 7.2.2 Correctie voor luchtspleten of -holten in of tussen isolatielagen

De aanwezigheid van luchtlagen, -spleten of -holten in de richting van of loodrecht op de warmtestroom, kan in sommige gevallen een sterk negatieve invloed uitoefenen op de werkelijke warmteweerstand van de isolatielaag. In NBN EN ISO 6946 (Bijlage D.2) worden een aantal categorieën van onvolkomenheden gedefinieerd, en worden bijhorende conventionele toeslagen vastgelegd.

Omdat het moeilijk is eenduidig te beoordelen welke categorie op een gebouw, een constructiedeel, ... precies van toepassing is, is besloten dit effect in het kader van de energieprestatieregelgeving buiten beschouwing te laten. Bij conventie mag daarom gesteld worden:

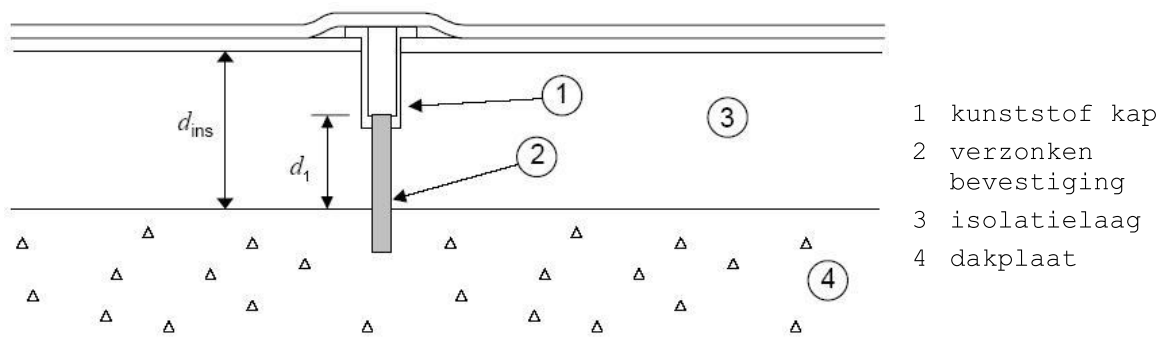
$$\text{Eq. 11} \quad \Delta U_g = 0 \quad \text{W/(m}^2 \cdot \text{K)}$$

### 7.2.3 Correctie voor mechanische bevestigingen die een isolatielaag doorboren

#### 7.2.3.1 Numerieke berekening

Wanneer een isolatielaag doorboord wordt door mechanische bevestigingen (bv. spouwhaken, dakbevestigingen,...), dan kan het effect van deze bevestigingen altijd nauwkeurig berekend worden door numerieke berekeningen volgens NBN EN ISO 10211. Deze nauwkeurige rekenmethode moet steeds toegepast worden indien de beide uiteinden van de mechanische bevestiging in thermisch contact zijn met metalen platen.

Figuur [4]: Verzonken mechanische bevestiging



#### 7.2.3.2 Vereenvoudigde berekening

Zolang beide uiteinden van de mechanische bevestiging niet in thermisch contact zijn met metalen platen, kan de numerieke berekening in 2 specifieke gevallen vervangen worden door een vereenvoudigde berekening:

- Mechanische bevestigingen die de isolatielaag doorboren
- Mechanische bevestigingen van buitenisolatiesystemen van gevels

Beide soorten mechanische bevestigingen kunnen ook samen voorkomen. In dat geval is de globale  $\Delta U_f$  gelijk aan de som van beide correctietermen.

##### 7.2.3.2.1 Mechanische bevestigingen die de isolatielaag doorboren

Wanneer mechanische bevestigingen de isolatielaag doorboren kan de hierna volgende benaderende rekenmethode toegepast worden, waarbij het effect van de mechanische bevestigingen bepaald wordt door de correctieterm  $\Delta U_f$  die als volgt berekend wordt:

$$\text{Eq. 12} \quad \Delta U_f = \alpha \cdot \frac{\lambda_f \cdot A_f \cdot n_f}{d_1} \cdot \left[ \frac{R_1}{R_{T,h}} \right]^2 \quad \text{W/(m}^2 \cdot \text{K)}$$

waarin:

$d_1$	de lengte van de bevestiging, in (m), als volgt bepaald: - bij bevestigingen die de isolatielaag volledig doorboren (onder rechte of schuine hoek) is de lengte gelijk aan de dikte van de isolatielaag ( $d_{ins}$ ): $d_1 = d_{ins}$ ; - bij verzonken bevestigingen is de lengte gelijk aan het gedeelte van de bevestiging dat de isolatielaag doorboort (zie Figuur [4])
$\lambda_f$	de warmtegeleidbaarheid van de mechanische bevestiging, in W/(m.K) (zie NOTA);
$n_f$	aantal mechanische bevestigingen per m <sup>2</sup> , (m <sup>-2</sup> );
$A_f$	doorsnede van 1 mechanische bevestiging, (m <sup>2</sup> );
$\lambda_{ins}$	de warmtegeleidbaarheid van de isolatielaag, W/(m.K);
$\alpha$ (-)	is een correctiecoëfficiënt als volgt bepaald: - $\alpha = 0,8$ indien de mechanische bevestiging de isolatielaag volledig doorboort - $\alpha = 0,8 \times d_1/d_{ins}$ indien de bevestiging verzonken is in de isolatielaag (zie Figuur [4]);
$R_1$	warmteweerstand (van het deel) van de isolatielaag die door de mechanische bevestiging doorboord wordt ( $R_1 = d_1/\lambda_{ins}$ , in m <sup>2</sup> .K/W;
$R_{T,h}$	totale warmteweerstand van het bouwelement, zonder rekening te houden met enige koudebrugwerking, in m <sup>2</sup> .K/W, berekend volgens § 6.1.
NOTA	De correctieterm $\Delta U_f$ dient in het geval van spouwhaken niet toegepast te worden voor de volgende gevallen: - spouwhaken in ongeïsoleerde spouwen; - spouwhaken waarvan de warmtegeleidbaarheid ( $\lambda_f$ ) kleiner is dan 1 W/(m.K) (bv. kunststof)

#### **Waarden bij ontstentenis voor spouwhaken:**

Voor spouwhaken is het altijd toegelaten volgende waarden bij ontstentenis te gebruiken:

- aantal spouwhaken per m<sup>2</sup>:  $n_f = 5 \text{ m}^{-2}$ ;
- sectie van een spouwhaak:  $A_f = 1,3 \cdot 10^{-5} \text{ m}^2$  ( $\varnothing 4 \text{ mm}$ );
- warmtegeleidbaarheid van het spouwhaakmateriaal:  $\lambda_f = 50 \text{ W/(m.K)}$  (staal);
- lengte van de spouwhaak gelijk aan de dikte van de isolatielaag:  $d_1 = d_{ins}$ .

#### *7.2.3.2.2 Mechanische bevestigingen van buitenisolatiesystemen van gevels*

In het geval van mechanische bevestigingen van buitenisolatiesystemen van gevels, op voorwaarde dat voldaan is aan de hieronder beschreven randvoorwaarden, kan het effect van deze mechanische bevestigingen vereenvoudigd bepaald worden door de correctieterm  $\Delta U_f$  die als volgt berekend wordt:

$$\text{Eq. 121} \quad \Delta U_f = \frac{\Psi}{E} + n_f X \quad \text{W/(m}^2 \cdot \text{K)}$$

waarin:

- $\Psi$  de lineaire warmtedoorgangscoefficiënt van het draagprofiel, zoals bepaald in tabel [10], W/(m.K);
- $E$  de hart op hart afstand tussen de draagprofielen, m;
- $n_f$  het aantal mechanische bevestigingen per m<sup>2</sup>, (m<sup>-2</sup>);



$\chi$  de puntwarmte-doorgangscoefficiënt, zoals bepaald in tabel [11], W/K.

Indien de hart op hart afstand E niet gekend is, is het altijd toegelaten de waarde bij ontstentenis van 0,3m te gebruiken. Indien het aantal mechanische bevestigingen per m<sup>2</sup> niet gekend is, is het altijd toegelaten de waarde bij ontstentenis van 11 te gebruiken.

Deze waarden bij ontstentenis mogen enkel gebruikt worden bij buitengevelsystemen die vallen onder één van onderstaande type-oplossingen.

Tabel [10] Waarden bij ontstentenis voor  $\psi$  (W/(m.K))

	Typeoplossing 1: winkelhaak met T-profiel				Typeoplossing 2: winkelhaak met houten draaglatten			
	Alu winkelhaak		RVS winkelhaak		Alu winkelhaak		RVS winkelhaak	
isolatiedikte	$\lambda$ draagmuur (W/m.K)							
	$\leq 0,3$	$> 0,3$	$\leq 0,3$	$> 0,3$	$\leq 0,3$	$> 0,3$	$\leq 0,3$	$> 0,3$
50 mm	0,002	0,005	0,001	0,003	0,016	0,024	0,015	0,022
100 mm	0,001	0,004	0,001	0,002	0,013	0,019	0,012	0,017
150 mm	0,001	0,003	0,001	0,002	0,010	0,015	0,010	0,014
200 mm	0,001	0,002	0,001	0,001	0,008	0,011	0,007	0,010
250 mm	0	0,001	0	0,001	0,005	0,008	0,005	0,007
300 mm	0	0	0	0	0,002	0,003	0,002	0,003

Tabel [11]: waarden bij ontstentenis voor  $\chi$  (W/K)

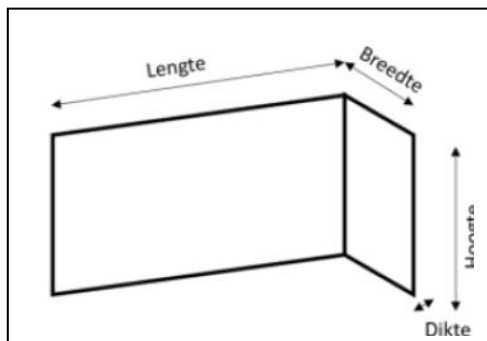
	Typeoplossing 1: winkelhaak met T-profiel				Typeoplossing 2: winkelhaak met houten draaglatten			
	Alu winkelhaak		RVS winkelhaak		Alu winkelhaak		RVS winkelhaak	
isolatiedikte	$\lambda$ draagmuur (W/m.K)							
	$\leq 0,3$	$> 0,3$	$\leq 0,3$	$> 0,3$	$\leq 0,3$	$> 0,3$	$\leq 0,3$	$> 0,3$

50 mm	0,101	0,281	0,059	0,158	0,058	0,085	0,054	0,076
100 mm	0,093	0,259	0,054	0,145	0,055	0,08	0,051	0,072
150 mm	0,085	0,235	0,049	0,132	0,052	0,076	0,048	0,068
200 mm	0,077	0,212	0,044	0,119	0,049	0,072	0,046	0,065
250 mm	0,069	0,192	0,040	0,108	0,045	0,066	0,042	0,059
300 mm	0,062	0,171	0,036	0,096	0,041	0,061	0,039	0,055

In bovenstaande tabellen mag de isolatiedikte geïnterpoleerd worden.

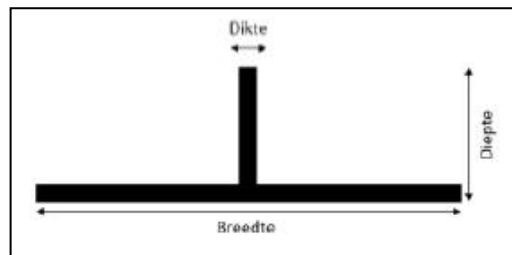
**Randvoorwaarden voor het gebruik van de waarden bij ontstentenis voor psi en chi**

- Algemeen
  - Draagmuur
    - Dikte van 140 tot 300 mm
    - $\lambda$ -waarde tussen 0,12 en 2,5 W/(m.K)
    - Homogeen (geen skeletopbouw)
  - Isolatie
    - Dikte van 50 tot 300 mm
    - $\lambda$ -waarde tussen 0,01 en 0,05 W/(m.K)
  - Schroef
    - Diepte maximaal 100 mm
    - Diameter maximaal 12 mm
    - $\lambda$ -waarde maximaal 50 W/(m.K)



**Figuur [52]: Afmetingen van de winkelhaak**

- Winkelhaak
  - Dikte maximaal 3 mm
  - Hoogte maximaal 150 mm
  - $\lambda$ -waarde maximaal 160 W/m.K voor aluminium of 17 W/m.K voor austenitisch RVS
  - Volledig bedekt door isolatie
- Typeoplossing 1
  - Winkelhaak
    - Breedte maximaal 40 mm
  - Draagprofiel
    - $\lambda$ -waarde maximaal 160 W/m.K
    - Dikte maximaal 3mm
    - Breedte maximaal 150mm
    - Diepte maximaal 52 mm



Figuur [53]: Afmetingen van een draagprofiel

- Typeoplossing 2
  - Winkelhaak
    - Breedte maximaal 50 mm
    - Overlap met draagprofiel maximaal 40mm
  - Draaglat
    - $\lambda$ -waarde maximaal 0,2 W/(m.K)
    - Dikte maximaal 60 mm
    - Breedte maximaal 100mm
  - Houtschroeven
    - $\lambda$ -waarde maximaal 50 W/m.K
    - Diameter maximaal 12 mm

#### 7.2.4 Correctieprocedure voor omgekeerde daken

##### 7.2.4.1 Algemeen

In het geval van omkeerdaken waarbij het waterkerend membraan zich onder de isolatielaag bevindt, dient een correctieterm  $\Delta U_r$  berekend te worden om rekening te houden met het effect van regenwater dat tussen de isolatielaag en membraan kan wegvloeien. Deze correctieprocedure dient in principe enkel toegepast te

worden voor warmteoverdrachtsberekeningen en niet voor de berekening van koelbehoeften. In het kader van de energieprestatieregelgeving mag evenwel steeds (ook voor oververhittings- en koelberekeningen) met de gecorrigeerde waarde gerekend worden. De hierna volgende procedure is enkel van toepassing voor isolatielagen bestaande uit geëxtrudeerd polystyreen (XPS).

#### 7.2.4.2 Correctie ten gevolge van waterstroming tussen isolatie en dichtingsmembraan

De toe te passen correctieterm  $\Delta U_x$  die rekening houdt met de extra warmteoverdracht ten gevolge van de onderstroming door regenwater van de isolatielaag in omkeerdaken, wordt berekend volgens:

$$\text{Eq. 13} \quad \Delta U_x = p \cdot f \cdot x \cdot \left[ \frac{R_1}{R_T} \right]^2 \quad \text{W/(m}^2 \cdot \text{K)}$$

waarin:

- p gemiddelde regenval gedurende het stookseizoen in mm/dag;
- f drainering factor, die een fractie van de gemiddelde regenval weergeeft die het membraan bereikt, (-);
- x factor die de verhoogde warmteoverdracht karakteriseert ten gevolge van de onderstroming van de isolatielaag door regenwater, in W.dag/m<sup>2</sup>.K.mm;
- R<sub>1</sub> gecorrigeerde warmteweerstand van de XPS-isolatielaag (R<sub>XPS</sub>) die rekening houdt met een toename van het vochtgehalte door diffusie, in m<sup>2</sup>.K/W;
- R<sub>T</sub> totale warmteweerstand van het dak, zonder rekening te houden met enige correctie, in m<sup>2</sup>.K/W.

De correctieterm  $\Delta U_x$  wordt berekend tot twee decimalen. Waarden kleiner dan 0,01 W/(m<sup>2</sup>.K) worden verwaarloosd.

#### Vaste waarden voor omgekeerde daken:

Voor omkeerdaken met XPS worden de volgende parameters vastgelegd:

- Neerslaghoeveelheid: p = 2,0 mm/dag
- Correctiefactor voor warmteoverdracht door onderstroming
  - f.x = 0,04 W.dag/m<sup>2</sup>.K.mm voor platen met rechte boorden en open ballast zoals grind, tegels of in fabriek aangebrachte afwerklaag
  - f.x = 0,03 W.dag/m<sup>2</sup>.K.mm voor platen met sponning en open ballast zoals grind, tegels of in fabriek aangebrachte afwerklaag
  - f.x = 0,02 W.dag/m<sup>2</sup>.K.mm voor groen- of tuindaken (in afwachting van precieze cijfers)
- Gecorrigeerde warmteweerstand van XPS plaat
  - R<sub>1</sub> = R<sub>XPS</sub>/1,023 (voor open ballast zoals grind, tegels of in fabriek aangebrachte afwerklaag)
  - R<sub>1</sub> = R<sub>XPS</sub>/1,069 (voor groen- of tuindaken)
 waarin R<sub>XPS</sub> berekend wordt volgens 5.2.

### 7.3 Correctie op R-waarde voor in situ gespoten PUR-isolatie

Omwille van de moeilijkheden om een exacte dikte te bepalen, dient de warmteweerstand  $R_{PUR}$  van een in situ gespoten PUR-isolatielaag als volgt berekend te worden:

$$\text{Eq. 14} \quad R_{PUR} = a \cdot \left( \frac{d_{PUR}}{\lambda_{Ui,PUR}} \right) \quad \text{m}^2 \cdot \text{K/W}$$

met:

$R_{PUR}$  gecorrigeerde warmteweerstand van in situ gespoten PUR-isolatie, in  $\text{m}^2 \cdot \text{K/W}$ ;

$d_{PUR}$  dikte van de gespoten PUR-isolatielaag, in m;

$\lambda_{Ui,PUR}$  rekenwaarde van de warmtegeleidbaarheid van de in situ gespoten PUR, in  $\text{W}/(\text{m} \cdot \text{K})$  bepaald volgens bijlage A;

$a$  correctiefactor, (-), gelijk aan:

-  $a = 0,925$  voor vloertoepassingen;

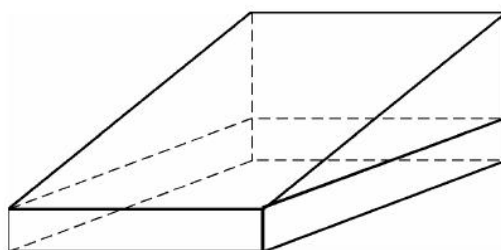
-  $a = 0,85$  voor alle andere toepassingen

### 7.4 U-waarde van bouwdelen met variabele dikte

#### 7.4.1 Algemene werkwijze

Bij gebouwelementen die bestaan uit deelelementen met ongelijke vorm en/of bouwlagen met variabele dikte (Figuur [5]), varieert de totale warmteweerstand van het bouwelement over zijn gehele oppervlakte en dient daarom een gemiddelde U-waarde voor het gehele bouwelement bepaald te worden. Vereenvoudigend kan de weerstand van de laag met variabele dikte verwaarloosd worden, zie § 7.4.4.

Figuur [5]: Bouwelement met hellende bouwlaag

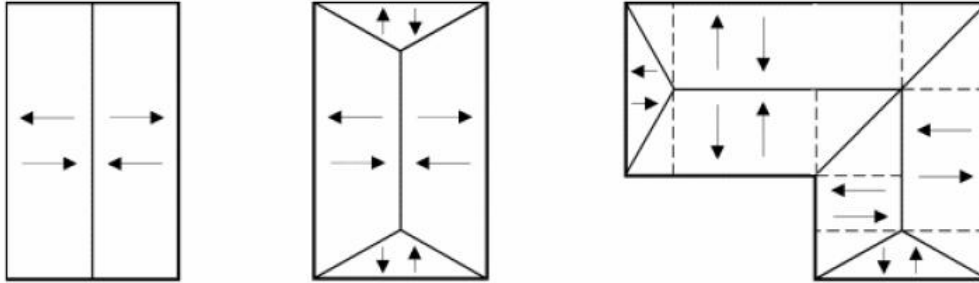


De bepaling van de gemiddelde U-waarde van dergelijke gebouwelementen verloopt als volgt:

- het gehele gebouwelement wordt eerst opgesplitst in deelelementen die overeenstemmen met de vorm en de helling van de drie basisvormen uit § 7.4.2; een voorbeeld van een dergelijke opsplitsing is getoond in Figuur [6] voor een aantal daken;
- vervolgens wordt voor elk deelelement (overeenstemmend met een bepaalde basisvorm en met een eigen oppervlakte) een U-waarde berekend op basis van de formules uit § 7.4.3;
- tenslotte wordt voor het gehele gebouwelement de U-waarde berekend als de oppervlaktegewogen gemiddelde U-waarde van alle beschouwde deelelementen.

NOTA Deze werkwijze is geldig voor bouwlagen waarvan de helling niet groter is dan 5%, zoniet moet een numerieke berekening worden toegepast.

**Figuur [6]: Voorbeelden van opsplitsing van daken in individuele dakelementen**



→ ↑ ← ↓: duiden de richting van de helling aan (alle richtingen mogelijk)

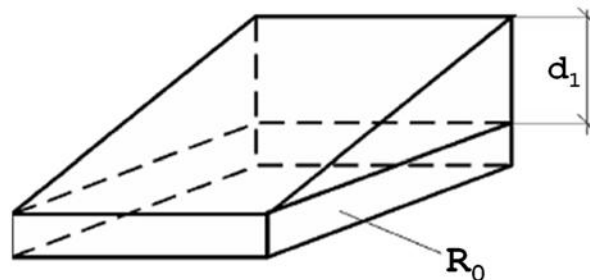
-----: opsplitsing van het dak in deelelementen met rechthoekig of driehoekig grondvlak

#### 7.4.2 Opdeling in basisvormen

Gebouwelementen met hellende delen of lagen kunnen opgedeeld worden in drie basisvormen naargelang de vorm van het grondvlak en de richting van de helling:

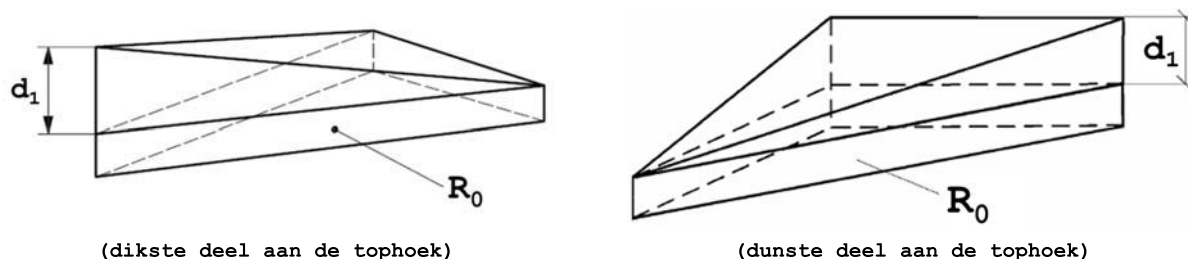
- een gebouwelement met rechthoekig grondvlak, opgebouwd uit een deel dat één of meerdere vlakke bouwlagen bevat (met een totale warmteweerstand  $R_0$ ) en een deel dat een hellende bouwlaag bevat (dikte varieert tussen 0 en maximaal  $d_1$ ) (Figuur [7]);

**Figuur [7]: Bouwelement met rechthoekig grondvlak, bestaand uit een hellend deel en een (overblijvend) vlak deel**



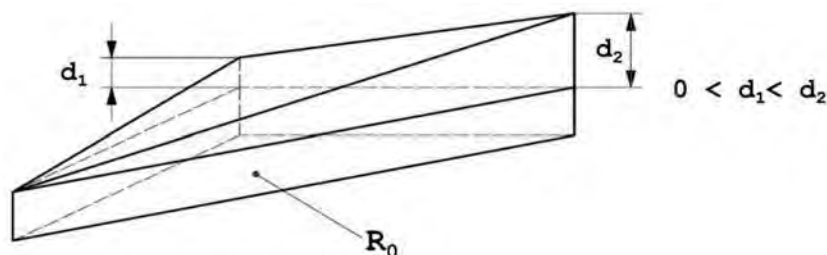
- een gebouwelement met driehoekig grondvlak, opgebouwd uit een deel dat één of meerdere vlakke bouwlagen bevat (met een totale warmteweerstand  $R_0$ ) en een deel dat een hellende bouwlaag bevat, waarbij ofwel het dikste deel (met dikte  $d_1$ ) aan de tophoek ligt (Figuur [8] - links) ofwel het dunste deel (met dikte 0) (Figuur [8] - rechts).

**Figuur [8]:** Bouwelement met driehoekig grondvlak, bestaand uit een hellend deel en een (overblijvend) vlak deel



- een gebouwelement met driehoekig grondvlak, opgebouwd uit een deel dat één of meerdere vlakke bouwlagen bevat (met een totale warmteweerstand  $R_0$ ) en een deel dat een hellende bouwlaag bevat met in elk van de hoekpunten een verschillende dikte (respectievelijk dikte 0, tussenliggende dikte  $d_1$  en maximale dikte  $d_2$ ) (Figuur [9])

**Figuur [9]:** Gebouwelement met driehoekig grondvlak, bestaand uit een hellend deel (met ongelijke diktes aan de hoeken) en een overblijvend vlak deel



**7.4.3 Bepaling van de U-waarde voor elk van de basisvormen**

De bepaling van de U-waarde, voor elk van de drie voormelde basisvormen, kan gebeuren volgens de volgende formules:

- voor gebouwelementen met rechthoekig grondvlak:

**Eq. 15** 
$$U = \frac{1}{R_1} \cdot \ln \left[ 1 + \frac{R_1}{R_0} \right] \quad \text{W/ (m}^2 \cdot \text{K)}$$

- voor gebouwelementen met driehoekig grondvak:
  - dikste deel aan tophoek:

**Eq. 16** 
$$U = \frac{2}{R_1} \cdot \left[ \left( 1 + \frac{R_0}{R_1} \right) \cdot \ln \left( 1 + \frac{R_1}{R_0} \right) - 1 \right] \quad \text{W/ (m}^2 \cdot \text{K)}$$

- dunste deel aan tophoek:

**Eq. 17** 
$$U = \frac{2}{R_1} \cdot \left[ 1 - \frac{R_0}{R_1} \cdot \ln \left( 1 + \frac{R_1}{R_0} \right) \right] \quad \text{W/ (m}^2 \cdot \text{K)}$$

met:

$R_1$  maximale warmteweerstand van het hellend deel van de bouwlaag, in  $m^2.K/W$ , (met dikte = 0 aan één van de zijden of aan de tophoek), gelijk aan  $d_1/\lambda_1$ , waarin  $d_1$  (m) = maximale dikte van het hellend deel van de bouwlaag (zie Figuur [7] en Figuur [8]) en  $\lambda_1$   $W/(m.K)$  = warmtegeleidbaarheid van deze bouwlaag;

$R_0$  totale warmteweerstand van het gehele deelelement, in ( $m^2.K/W$ ), berekend van omgeving tot omgeving (dus met inbegrip van  $R_{si}$  en  $R_{se}$ ), maar exclusief de warmteweerstand van het hellend deel van de bouwlaag ( $R_1$ ).

- voor gebouwelementen met driehoekig grondvlak en ongelijke hoogtes aan de hoeken (Figuur [9])

$$\text{Eq. 18} \quad U = 2 \cdot \left[ \frac{R_0 \cdot R_1 \cdot \ln\left(1 + \frac{R_2}{R_0}\right) - R_0 \cdot R_2 \cdot \ln\left(1 + \frac{R_1}{R_0}\right) + R_1 \cdot R_2 \cdot \ln\left(\frac{R_0 + R_2}{R_0 + R_1}\right)}{R_1 \cdot R_2 \cdot (R_2 - R_1)} \right] \quad W/(m^2.K)$$

met:

$R_1$  warmteweerstand van het hellend deel van de bouwlaag ter hoogte van het hoekpunt met tussenliggende dikte  $d_1$ , in  $m^2.K/W$ , bepaald als  $R_1 = d_1/\lambda_t$ , waarin  $\lambda_t$   $W/(m.K)$  de warmtegeleidbaarheid is van deze bouwlaag;

$R_2$  maximale warmteweerstand van het hellend deel van de bouwlaag met maximale dikte  $d_2$ , in  $m^2.K/W$ , bepaald als  $R_2 = d_2/\lambda_t$ , waarin  $\lambda_t$   $W/(m.K)$  de warmtegeleidbaarheid is van deze bouwlaag;

$R_0$  totale warmteweerstand van het gehele deelelement, in  $m^2.K/W$ , berekend van omgeving tot omgeving (dus met inbegrip van  $R_{si}$  en  $R_{se}$ ), maar exclusief de warmteweerstand(en) ( $R_1$  en/of  $R_2$ ) van het hellend deel van de bouwlaag.

#### 7.4.4 Vereenvoudigde bepaling

Bij een vereenvoudigde bepaling van de U-waarde van gebouwelementen met variabele dikte, wordt de warmteweerstand  $R_1$  van het hellende deel van de bouwlaag met variabele dikte verwaarloosd en wordt enkel de term  $R_0$  in rekening gebracht.



## 8 Bepaling van de warmtedoorgangscoefficiënt van vensters, deuren en poorten

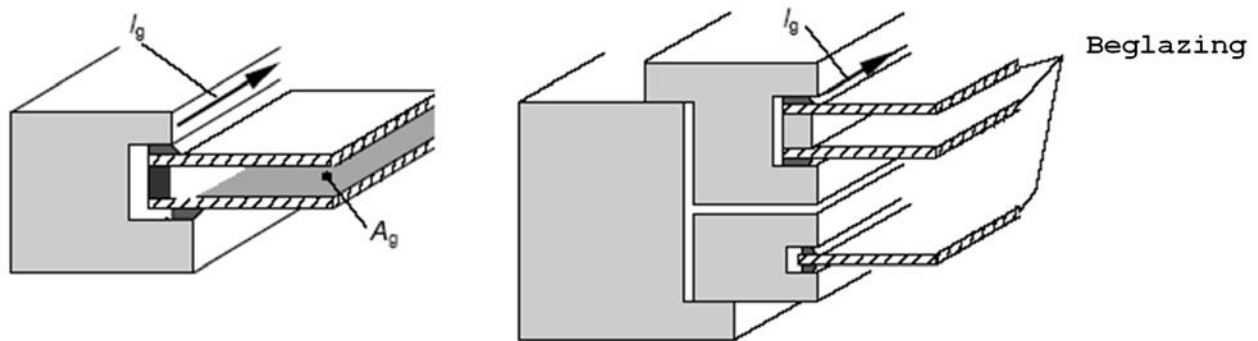
### 8.1 Geometrische karakteristieken van vensters en deuren

#### 8.1.1 Oppervlakte van venster en deurcomponenten (raamprofielen, beglazingen, ondoorschijnende vulpanelen en ventilatieroosters)

De beglaasde oppervlakte  $A_g$  of de oppervlakte van het ondoorschijnend vulpaneel  $A_p$  van een venster of een deur, is de kleinste van de zichtbare oppervlaktes gezien van de beide zijden, zoals te zien in Figuur [10].

De oppervlakte  $A_g$  van beglazingen, de oppervlakte  $A_p$  van ondoorschijnende vulpanelen, de oppervlakte  $A_r$  van raamprofielen en de oppervlakte  $A_r$  van ventilatieroosters wordt gedefinieerd als de geprojecteerde zichtbare oppervlakte op het vlak<sup>1</sup> van de beglazing of van het ondoorschijnende vulpaneel.

Figuur [10]: Illustratie van glasoppervlakte en perimeter



Indien de geprojecteerde zichtbare oppervlakten langs de binnen- en buitenzijde verschillen, worden de grenslijnen tussen de verschillende componenten bepaald volgens volgende conventionele regels:

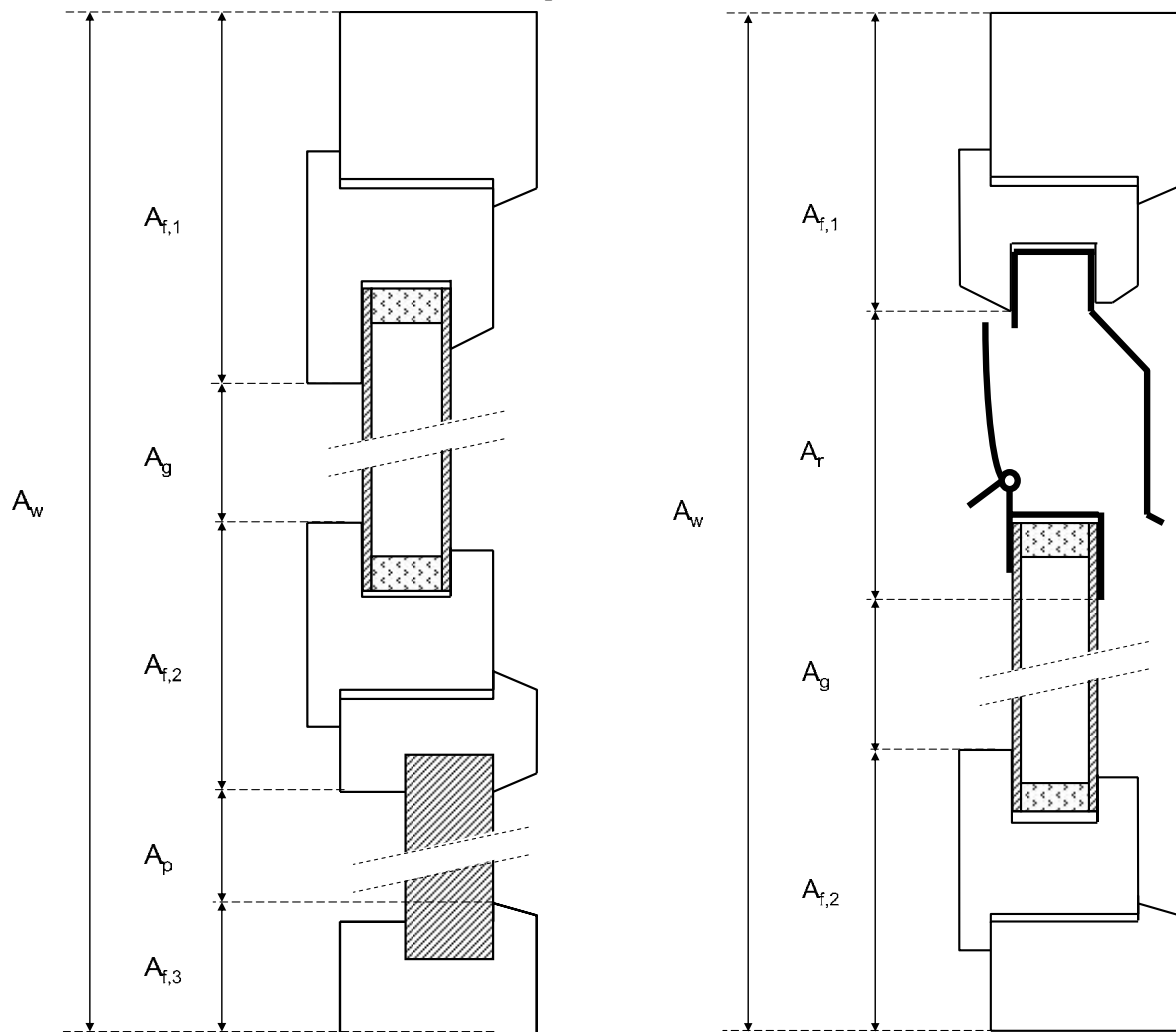
- de grenslijn tussen een raamprofiel en eender welke andere component wordt zo gekozen dat de geprojecteerde oppervlakte van het raamprofiel zo groot mogelijk is
- de grenslijn tussen een ventilatierooster en een opaak vulpaneel of een beglazing wordt zo gekozen dat de geprojecteerde oppervlakte van het ventilatierooster zo groot mogelijk is
- de grenslijn tussen een opaak vulpaneel en een beglazing wordt zo gekozen dat de geprojecteerde oppervlakte van het opaak vulpaneel zo groot mogelijk is

De alzo vastgestelde grenslijnen bakenen de conventionele oppervlakte van elke component af, zoals geïllustreerd in Figuur [11].

Nota: deze regels hebben tot gevolg dat de som van de individuele oppervlakten van alle componenten gelijk is aan de totale oppervlakte van het naakte venster.

<sup>1</sup> In het (zeldzame) geval van een gebogen beglazing of gebogen ondoorschijnend vulpaneel wordt geprojecteerd op het gebogen (buiten)oppervlak van de beglazing of het vulpaneel. Het projectievlak wordt aan de randen zo nodig tangentieel uitgebreid.

Figuur [11]: Illustraties van de oppervlaktebepaling van de verschillende componenten.



### 8.1.2 Zichtbare omtrek van de beglazing

De totale perimeter van de beglazing ( $l_g$ ) of van het vulpaneel ( $l_p$ ) is de som van de zichtbare perimeter van de glasbladen (of vulpanelen) in het venster of in de deur. Indien de perimeters verschillend zijn aan de binnenzijde en de buitenzijde van de beglazing of het vulpaneel, dan dient de grootste van beide waarden gebruikt te worden (zie Figuur [10]).

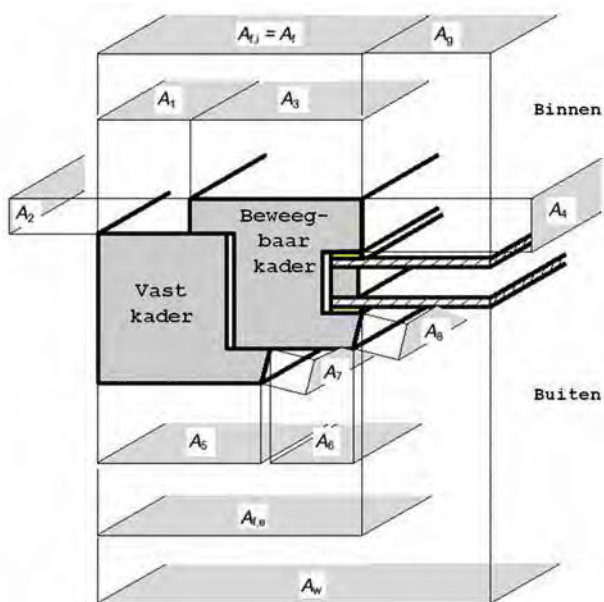
### 8.1.3 Oppervlakte van de raamprofielen

De definities van de oppervlakten van raamprofielen zijn hierna gegeven (zie Figuur [12]):

- $A_{f,i}$  geprojecteerde raamprofieloppervlakte aan de binnenzijde, in  $m^2$ , (is de oppervlakte van de projectie van het binnenraamprofiel, vleugel inbegrepen indien aanwezig, op een vlak dat parallel is met de beglazing);
- $A_{f,e}$  geprojecteerde raamprofieloppervlakte aan de buitenzijde, in  $m^2$ , (is de oppervlakte van de projectie van het buitenraamprofiel, vleugel inbegrepen indien aanwezig, op een vlak dat parallel is met de beglazing);

- $A_f$  de oppervlakte van het raamprofiel, in  $m^2$ , bepaald in overeenstemming met de conventies in 8.1.1;
- $A_{d,i}$  ontwikkelde raamprofieloppervlakte aan de binnenzijde, in  $m^2$ , (d.i. de oppervlakte van het raamprofiel, vleugel inbegrepen indien aanwezig, in contact met de binnenlucht - zie Figuur [13]);
- $A_{d,e}$  ontwikkelde raamprofieloppervlakte aan de buitenzijde, in  $m^2$ , (d.i. de oppervlakte van het raamprofiel, vleugel inbegrepen indien aanwezig, in contact met de buitenlucht - zie Figuur [13])

**Figuur [12]: Illustratie van de verschillende oppervlakten**



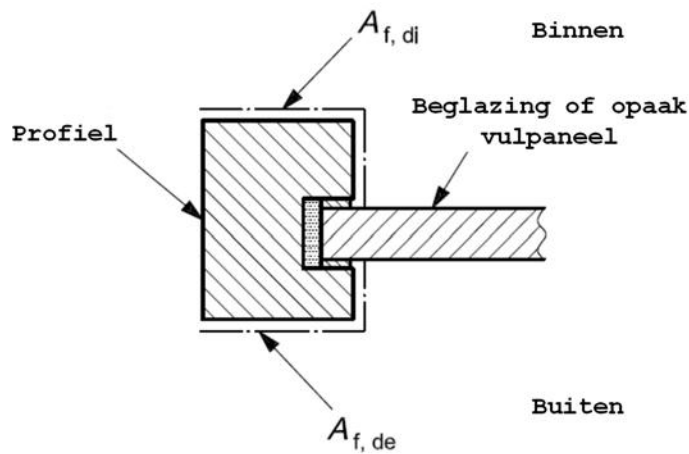
$$A_f = \max(A_{f,i}; A_{f,e})$$

$$A_w = A_f + A_g$$

$$A_{d,i} = A_1 + A_2 + A_3 + A_4$$

$$A_{d,e} = A_5 + A_6 + A_7 + A_8$$

**Figuur [13]: Ontwikkelde oppervlakte van raamprofielen**



#### 8.1.4 Oppervlakte van het venster of deur

De oppervlakte van het venster (of deur)  $A_w$  ( $A_D$ ) is de som van de raamprofieloppervlakte  $A_f$  en van de beglaasde oppervlakte  $A_g$  (en/of van de paneeloppervlakte  $A_p$  en/of van de ventilatierooster oppervlakte  $A_r$ ) (zie Figuur [12]). De raamprofieloppervlakte  $A_f$  omvat de oppervlakte van zowel het vast kader als van de beweegbare vleugel.

NOTA Bij de bepaling van de warmteoverdrachtscoëfficiënt door transmissie  $H_T$  worden de transmissieverliezen doorheen vensters of deuren berekend op basis van de oppervlaktes van de dagopeningen (zie § 12.2.2.1).

### 8.2 Algemene procedure voor de bepaling van de U-waarde van vensters, deuren en poorten

De warmtedoorgangscoefficiënt van een venster ( $U_w$ ) of een deur of poort ( $U_D$ ) wordt bepaald voor de situatie vóór inbouw ('naakt' venster of 'naakte' deur of poort) op één van de volgende wijzen.

- ofwel (voor vensters of deuren) door proeven volgens NBN EN ISO 12567-1 (of NBN EN ISO 12567-2 voor dakvensters). De proeven dienen te worden uitgevoerd op exact hetzelfde venster (of exact dezelfde deur) met dezelfde afmetingen en dezelfde samenstellende componenten;
- ofwel (voor garagepoorten) door berekening volgens NBN EN 12428. De berekening moet worden uitgevoerd op exact dezelfde poort met dezelfde afmetingen en dezelfde samenstellende componenten;
- ofwel aan de hand van een (vereenvoudigde) berekening of waarden bij ontstentenis zoals hieronder beschreven.

De warmtedoorgangscoefficiënt van een glazen lichtkoepel/lichtstraat kan bepaald worden op dezelfde manier als de warmtedoorgangscoefficiënt van een dakvenster of van een kunststof lichtkoepel/lichtstraat. (zie § 11.2). Dezelfde waarde moet toegepast worden voor de berekening van het E-peil als voor het aftoetsen van de  $U_{max}$ -eis volgens de bijlage VII bij het Energiebesluit.

Indien de functies van raamprofiel en ventilatierooster geïntegreerd zijn in één enkele component, dan wordt die component bij conventie als een ventilatierooster beschouwd.

NOTA Indien  $U_w$  of  $U_D$  als eindresultaat gepresenteerd worden, dan moeten ze afgerond worden tot minstens 2 beduidende cijfers (een afronding tot meer beduidende cijfers is dus toegestaan). Hetzelfde geldt voor het presenteren van de U-waarden van profielen  $U_f$ , vulpanelen  $U_p$  en ventilatieroosters  $U_r$  en voor de waarden voor  $\Psi_g$  en  $\Psi_D$ . De U-waarden van beglazingen  $U_g$  moet afgerond worden tot minstens 1 cijfer na de komma.

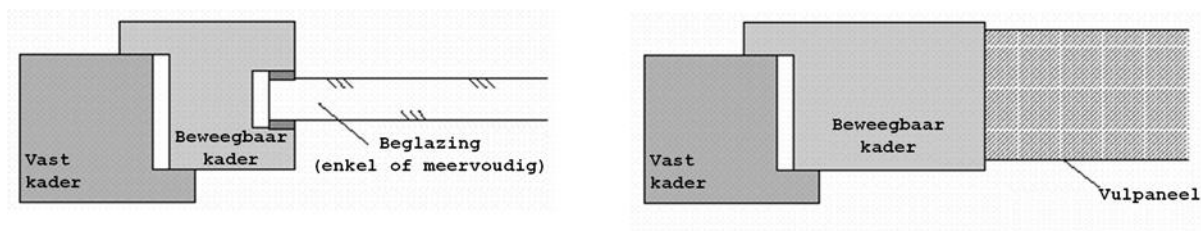
### 8.3 Basisgeval: U-waarde van gewone enkelvoudige vensters of gewone deuren

Enkelvoudige<sup>2</sup> vensters of gewone deuren zijn opgebouwd uit een vast kader met beglazing en/of (een) vast(e) kader(s) en (een) beweegbare vleugel(s) waarin de beglazing zich bevindt (zie Figuur [14]).

<sup>2</sup> De betekenis van "enkelvoudig" moet gezien worden in tegenstelling tot "dubbelramen" en "voorzetramen": zie volgende paragrafen.

Meerdere beglazingen kunnen eveneens deel uit maken van eenzelfde venster (deur) of zich binnen eenzelfde vast kader bevinden. Eventueel kunnen ook ondoorschijnende vulpanelen en toevoervoorzieningen voor ventilatielucht deel uit maken van een venster of deur.

**Figuur [14]: Illustratie van een enkelvoudig venster of deur**



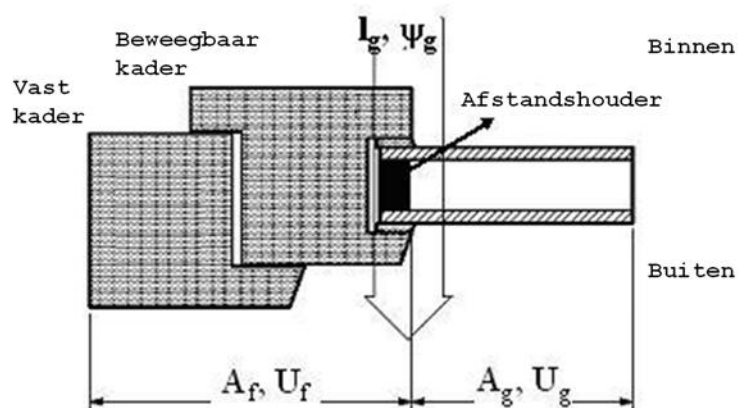
De warmtedoorgangscoefficiënt van een venster ( $U_w$ ) of een deur ( $U_D$ ) met bepaalde afmetingen en voorzien van beglaasde delen en/of van ondoorschijnende vulpanelen en/of van ventilatieroosters, wordt algemeen berekend door middel van de volgende formule:

$$\text{Eq. 19} \quad U_{w(\text{of } U_D)} = \frac{A_g \cdot U_g + A_f \cdot U_f + A_p \cdot U_p + A_r \cdot U_r + l_g \cdot \Psi_g + l_p \cdot \Psi_p}{A_g + A_f + A_p + A_r} \quad \text{W/(m}^2 \cdot \text{K)}$$

waarin:

- $U_g$  de U-waarde van de beglazing, in  $\text{W/(m}^2 \cdot \text{K)}$ , bepaald volgens § 9.1;
- $U_f$  de U-waarde van het raamprofiel, in  $\text{W/(m}^2 \cdot \text{K)}$ , bepaald volgens § 9.2;
- $U_p$  de U-waarde van het ondoorschijnend vulpaneel, in  $\text{W/(m}^2 \cdot \text{K)}$ , bepaald volgens § 9.3;
- $U_r$  de U-waarde van het ventilatierooster, in  $\text{W/(m}^2 \cdot \text{K)}$ , bepaald volgens § 9.4;
- $\Psi_g$  de lineaire warmtedoorgangscoefficiënt ten gevolge van de gecombineerde effecten van beglazing, afstandshouder en raamprofiel (zie Figuur [15]), in  $\text{W/(m} \cdot \text{K)}$ , bepaald volgens § 9.5;
- $\Psi_p$  de lineaire warmtedoorgangscoefficiënt ten gevolge van de gecombineerde effecten van vulpaneel, randverbinding en raamprofiel, in  $\text{W/(m} \cdot \text{K)}$ , bepaald volgens § 9.5.

**Figuur [15]: Effect van beglazing, afstandshouder en raamprofiel**



NOTA 1 In het geval van een enkelvoudige beglazing valt de term ( $l_g \cdot \Psi_g$ ) in Eq. 19 weg aangezien er geen effect van een afstandshouder optreedt.

NOTA 2 Eq. 19 kan eveneens gebruikt worden voor vensters die opgebouwd zijn uit meerdere types van beglazingen, raamprofielen, vulpanelen of ventilatieroosters (met eigen U-waarde en eigen oppervlakte). Voor de betrokken componenten zijn in dat geval de corresponderende termen in de teller en in de noemer te lezen als sommaties (bv.  $\sum A_f \cdot U_f$ ,  $\sum A_f$ ).

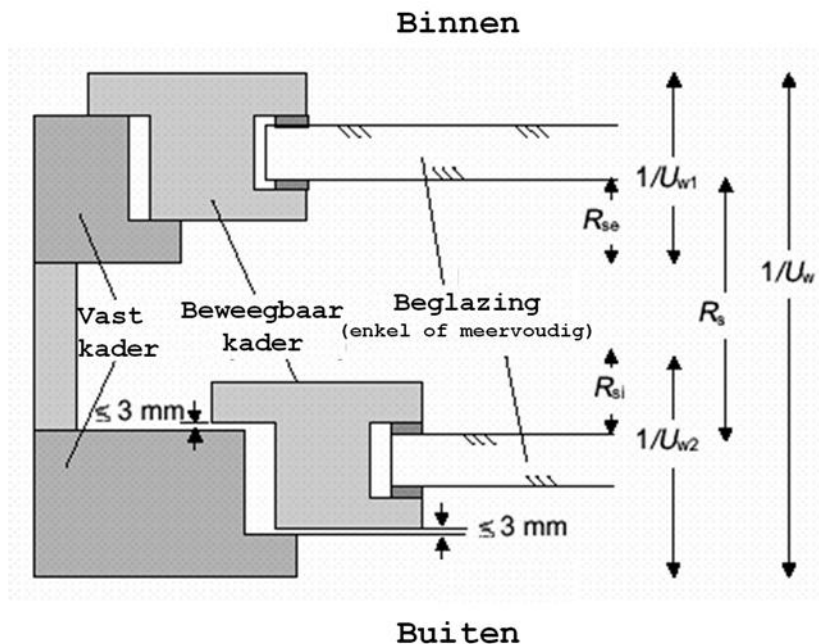
Indien, vereenvoudigd, bij de bepaling van  $U_w$  (of  $U_D$ ) voor de betrokken componenten slechts één U-waarde gebruikt wordt, dan moet de meest ongunstige waarde (de grootste) aangenomen worden. De corresponderende  $\Psi$ -waarde moet dan wel bepaald zijn op basis van deze U-waarde.

NOTA 3 Een vereenvoudigde bepaling van de U-waarde van vensters en deuren kan gebeuren binnen de voorwaarden die uitgelegd zijn in § 8.5.

## 8.4 Specifieke gevallen

### 8.4.1 Dubbelramen

Figuur [16]: Illustratie van een dubbelraam



De  $U_w$ -waarde van een dubbelraam, d.w.z. een systeem waarbij twee aparte vensters parallel opgesteld zijn in eenzelfde dagopening (zie Figuur [16]), wordt berekend volgens:

$$\text{Eq. 20} \quad U_w = \frac{1}{\frac{1}{U_{w1}} - R_{se} + R_s + \frac{1}{U_{w2}} - R_{si}} \quad \text{W}/(\text{m}^2 \cdot \text{K})$$

waarin:

$U_{w1}$  en  $U_{w2}$  de respectievelijke U-waarden van het venster aan de binnenzijde en van het venster aan de buitenzijde, in  $\text{W}/(\text{m}^2 \cdot \text{K})$ , berekend volgens Eq. 19;

$R_{si}$  warmteovergangsweerstand aan het binnenoppervlak van het venster aan de buitenzijde, in  $\text{m}^2 \cdot \text{K}/\text{W}$ , bepaald volgens § 8.4.3;

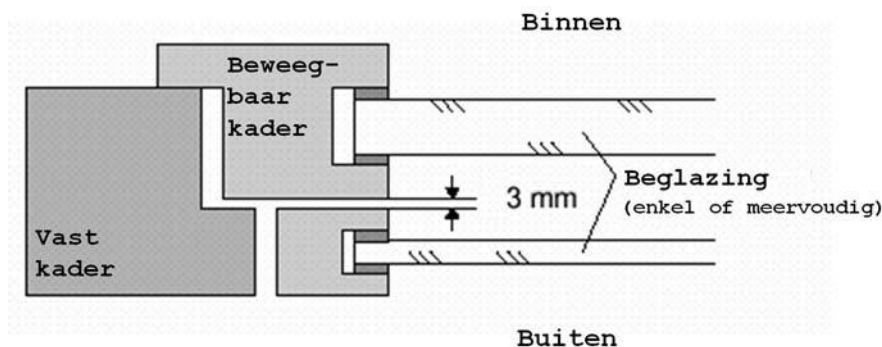
$R_{se}$  warmteovergangsweerstand aan het buitenoppervlak van het venster aan de binnenzijde, in  $\text{m}^2 \cdot \text{K}/\text{W}$ , bepaald volgens § 8.4.3;

$R_s$  de warmteweerstand van de luchtlaag tussen de beide vensters, in  $m^2.K/W$ , bepaald volgens § 8.4.4.

NOTA De methode is niet geldig indien de ruimte tussen de beide vensters overdreven geventileerd wordt met buitenlucht ten gevolge van te grote luchtspleten (ondichtheden) aan de aansluitingen van het buitenvenster. De luchtspleten mogen daartoe niet groter zijn dan 3 mm (zie Figuur [16]), zoniet wordt de rekenmethode van een sterk geventileerde luchtlaag toegepast (zie § 5.4.2.4).

#### 8.4.2 Voorzetramen

**Figuur [17]: Illustratie van een voorzetraam**



De  $U_w$ -waarde van het systeem van voorzetramen, waarbij een vast kader en twee aparte beweegbare vleugels (met beglazingen) parallel opgesteld zijn (zie Figuur [17]), kan berekend worden volgens Eq. 19, maar waarbij de gecombineerde  $U_g$ -waarde van de beide beglazingen berekend wordt volgens:

$$\text{Eq. 21} \quad U_g = \frac{1}{\frac{1}{U_{g1}} - R_{se} + R_s + \frac{1}{U_{g2}} - R_{si}} \quad W/(m^2.K)$$

waarin:

$U_{g1}$  en  $U_{g2}$  de respectievelijke  $U$ -waarden van de beglazing aan de binnenzijde en van de beglazing aan de buitenzijde, in  $W/(m^2.K)$ , bepaald volgens § 9.1;

$R_{si}$  warmteovergangsweerstand aan het binnenoppervlak van de beglazing aan de buitenzijde, in  $m^2.K/W$ , bepaald volgens § 8.4.3;

$R_{se}$  warmteovergangsweerstand aan het buitenoppervlak van de beglazing aan de binnenzijde, in  $m^2.K/W$ , bepaald volgens § 8.4.3;

$R_s$  de warmteweerstand van de luchtlaag tussen de beide beglazingen, in  $m^2.K/W$ , bepaald volgens § 8.4.4.

NOTA Als de luchtspleet tussen de beide vleugelprofielen groter is dan 3 mm en er geen maatregelen genomen zijn om een overdreven ventilatie met buitenlucht te vermijden tussen de beide beglazingen, dan is de methode niet meer geldig. In dat geval wordt de rekenmethode van een sterk geventileerde luchtlaag toegepast (zie § 5.4.2.4).

#### 8.4.3 Warmteovergangsweerstanden

Voor gewone emissiefactoren ( $\epsilon_n \geq 0,8$ ) aan de binnen- en buitenzijde van vensters, deuren of beglazingen, dienen de waarden van de warmteovergangsweerstanden aan

het binnenoppervlak ( $R_{si}$ ) en aan het buitenoppervlak ( $R_{se}$ ) genomen te worden uit Tabel [1]. Voor beglazingen met lage emissiviteit op het binnenoppervlak kan als alternatief  $R_{si}$  ook bepaald te worden volgens de rekenprocedures uit NBN EN 673.

#### 8.4.4 Warmteweerstand van ongeventileerde luchtlagen in dubbelramen en voorzetramen

De warmteweerstand  $R_s$  van ongeventileerde luchtlagen die voorkomen in dubbelramen (zie § 8.4.1) en voorzetramen (zie § 8.4.2) wordt berekend volgens NBN EN ISO 10077-1 (Bijlage C).

#### 8.4.5 U-waarde van vensters met gesloten luiken

##### 8.4.5.1 Algemeen

Gesloten luiken aan de buitenzijde van een venster creëren een bijkomende warmteweerstand ( $\Delta R$ ) die de som is van de warmteweerstand van het luik zelf ( $R_{sh}$ ) en van de luchtlaag tussen luik en venster ( $R_s$ ) (zie Figuur [18]).

De warmtedoorgangscoefficiënt van de combinatie van venster en gesloten luik,  $U_{ws}$ , wordt gegeven door:

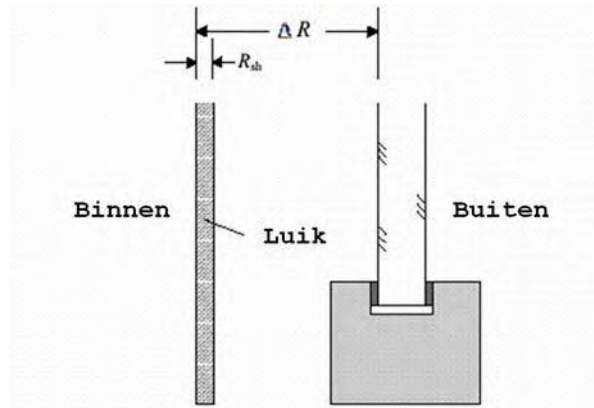
$$\text{Eq. 22} \quad U_{ws} = \frac{1}{\frac{1}{U_w} + \Delta R} \quad \text{W/(m}^2 \cdot \text{K)}$$

waarin:

$U_w$  de U-waarde van het venster, in  $\text{W/(m}^2 \cdot \text{K)}$ , berekend volgens Eq. 19;

$\Delta R$  de bijkomende warmteweerstand, in  $\text{m}^2 \cdot \text{K/W}$ , bepaald volgens § 8.4.5.2.

**Figuur [18]: Venster met gesloten luik**



De extra warmteweerstand wordt in rekening gebracht bij de berekening van het K-peil en het E-peil in overeenstemming met de regel beschreven in § 7.7.2 van bijlage V bij het Energiebesluit. Voor de evaluatie van de  $U_{max}$ -eis volgens bijlage VII bij het Energiebesluit wordt de bijkomende warmteweerstand niet beschouwd.



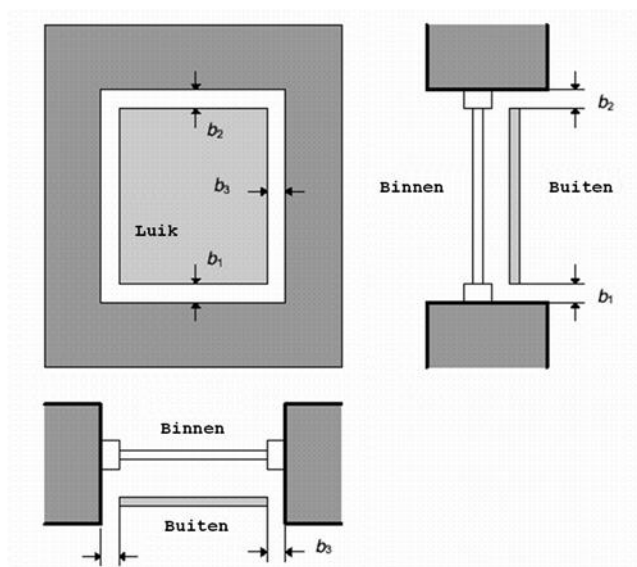
#### 8.4.5.2 Bijkomende warmteweerstand bij gesloten luiken

De bijkomende warmteweerstand  $\Delta R$  die in rekening gebracht moet worden om het effect van gesloten luiken te begroten, wordt bepaald in functie van de luchtdoorlaatbaarheid van de gebruikte luiken.

Hiertoe worden 5 klassen van luchtdoorlaatbaarheid vastgelegd volgens de criteria uit Tabel [3] en de definities in Figuur [19].

NOTA Voor zonneblinden, jaloezieën, persiënnes, venetianen,... die bestaan uit textielstoffen of die opgebouwd zijn uit lamellen of andere soepele of plooibare materialen en die geplaatst kunnen worden aan de buiten- of de binnenzijde van vensters of die geïntegreerd zijn in een meervoudige beglazing, worden de voorwaarden van de klassen van luchtdoorlaatbaarheid, evenals de hiermee overeenstemmende  $\Delta R$ -waarden opgegeven in NBN EN 13125. Deze norm geeft eveneens rekenmethodes voor blinden die bedekt zijn met een laag met lage emissiviteit.

Figuur [19]: Karakteristieken van luchtspleten rond gesloten luiken



De criteria inzake luchtdoorlaatbaarheid worden uitgedrukt door  $b_{sh}$ , die gedefinieerd is als de totale effectieve spleetopening tussen de randen van het luik en de dagopening van het venster:

$$b_{sh} = b_1 + b_2 + b_3 \text{ (mm)}$$

Hierin zijn  $b_1$ ,  $b_2$  en  $b_3$  de gemiddelde spleetopeningen aan de onderzijde, de bovenzijde en de zijkant van het luik.

De spleetopening aan de zijkant van het luik ( $b_3$ ) wordt slechts 1 maal meegeteld omdat de spleetopeningen bovenaan en onderaan een grotere invloed hebben.

Tabel [3]: Bijkomende warmteweerstand van de luchtlaag en het gesloten luik

Klasse	Luchtdoorlaatbaarheid van het luik in gesloten toestand	$b_{sh}$ [mm]	$\Delta R$ m <sup>2</sup> .K/W (1)
1	Zeer grote luchtdoorlaatbaarheid	$35 < b_{sh}$	0,08
2	Grote luchtdoorlaatbaarheid (luik zelf luchtdicht)	$15 < b_{sh} \leq 35$	$0,25 \cdot R_{sh} + 0,09$
3	Gemiddelde luchtdoorlaatbaarheid (luik zelf luchtdicht)	$8 < b_{sh} \leq 15$	$0,55 \cdot R_{sh} + 0,11$
4	Kleine luchtdoorlaatbaarheid (luik zelf luchtdicht)	$b_{sh} \leq 8$	$0,80 \cdot R_{sh} + 0,14$
5	Zeer kleine luchtdoorlaatbaarheid (luik zelf luchtdicht)	$b_{sh} \leq 3$ en $b_1+b_3 = 0$ of $b_2+b_3 = 0$ (2) (3)	$0,95 \cdot R_{sh} + 0,17$

(1) Waarden van  $\Delta R$  zijn geldig voor  $R_{sh} < 0,3$  m<sup>2</sup>.K/W ( $R_{sh}$  is de warmteweerstand van het luik zelf, bepaald volgens hoofdstuk 6 indien van toepassing, volgens NBN EN ISO 10211 in het geval van een luik met heterogene samenstelling of volgens NBN EN ISO 10077-2 in het geval van een geprofileerd element). Voor niet gekende luiken: neem  $R_{sh} = 0$  m<sup>2</sup>.K/W.

(2) Bedoeld wordt dat dichtingstrippen aanwezig zijn rond minstens 3 zijden van het luik (of rolluik) en dat de overblijvende zijde een spleetopening heeft van maximaal 3 mm

(3) Klasse 5 (zeer kleine luchtdoorlaatbaarheid) kan ook aangenomen worden indien een meting van de luchtstroom doorheen het gesloten luik een resultaat heeft dat niet groter is dan 10 m<sup>3</sup>/h.m<sup>2</sup> (bij 10 Pa drukverschil - test volgens NBN EN 12835). Bijkomende voorwaarden voor klasse 5 kunnen per type van luik gevonden worden in NBN EN 13125.

### 8.5 Vereenvoudigde bepaling van de U-waarde en de oppervlakte van de beglazing van vensters

Voor een geheel van vensters met eenzelfde type van beglazing, raamprofiel, vulpaneel en ventilatierooster en die in hetzelfde gebouw geplaatst zijn, kan eenzelfde gemiddelde  $U_{w,T}$ -waarde ( $U_{w,T}$ ) aangenomen worden, die rekening houdt met een vaste oppervlakteverhouding tussen beglazing en raamprofiel evenals met een vaste omtrek van de glasrand of afstandshouder.

Deze  $U_{w,T}$ -waarde en een bijhorende conventionele waarde voor de totale oppervlakte van de beglazing (telkens voor alle vensters van het geheel samen) worden, naargelang de verhouding van de U-waarde van de beglazing tot deze van het raamprofiel. In deze vergelijkingen Eq. 92 en Eq. 94 komt de eerste term overeen met het gedeelte "beglazing en raamprofiel", de tweede met het gedeelte "ventilatieroosters" en de derde met het gedeelte "vulpaneel":

- als  $U_g \leq U_f$ :

$$\text{Eq. 92} \quad U_{w,T} = (0,7 \cdot U_g + 0,3 \cdot U_f + 3 \cdot \Psi_g) + \left( \frac{\sum A_r \cdot (U_r - U_g)}{\sum A_{wd}} \right) + \left( \frac{\sum A_p \cdot (U_p - U_g)}{\sum A_{wd}} \right) \quad \text{W}/(\text{m}^2 \cdot \text{K})$$

$$\text{Eq. 93} \quad A_{g,T} = 0,7 \cdot \sum A_{wd} - \sum A_r - \sum A_p \quad \text{m}^2$$

- als  $U_g > U_f$ :

$$\text{Eq. 94} \quad U_{w,T} = (0,8 \cdot U_g + 0,2 \cdot U_f + 3 \cdot \Psi_g) + \left( \frac{\sum A_r \cdot (U_r - U_f)}{\sum A_{wd}} \right) + \left( \frac{\sum A_p \cdot (U_p - U_f)}{\sum A_{wd}} \right) \quad \text{W}/(\text{m}^2 \cdot \text{K})$$

$$\text{Eq. 95} \quad A_{g,T} = 0,8 \cdot \sum A_{wd} \quad \text{m}^2$$

waarin:

$U_g$	warmtedoorgangscoefficiënt van de beglazing, in $\text{W}/(\text{m}^2 \cdot \text{K})$ , (zie § 9.1);
$U_f$	warmtedoorgangscoefficiënt van het raamprofiel, in $\text{W}/(\text{m}^2 \cdot \text{K})$ , (zie § 9.2);
$\Psi_g$	lineaire warmtedoorgangscoefficiënt, in $\text{W}/(\text{m} \cdot \text{K})$ , (zie § 9.5);
$U_r$	warmtedoorgangscoefficiënt van het ventilatierooster, in $\text{W}/(\text{m}^2 \cdot \text{K})$ , (zie § 9.4);
$\Sigma A_r$	totale oppervlakte van de aanwezige ventilatieroosters, in $\text{m}^2$ ;
$U_p$	warmtedoorgangscoefficiënt van het vulpaneel, in $\text{W}/(\text{m}^2 \cdot \text{K})$ , (zie § 9.3);
$\Sigma A_p$	totale oppervlakte van de aanwezige vulpanelen, in $\text{m}^2$ ;
$\Sigma A_{wd}$	totale oppervlakte van de vensters (bepaald op basis van de oppervlaktes van de dagopeningen), in m.

NOTA 1 In eenzelfde gebouw kunnen meerdere gehelen van vensters gedefinieerd worden. Indien voor één van deze gehelen gekozen wordt om de hiervoor uitgelegde vereenvoudigde bepaling ( $U_{w,T}$ ) toe te passen, dan dient deze methode consequent toegepast te worden voor alle andere gehelen van vensters.

NOTA 2 Indien bij de bepaling van  $U_{w,T}$ , sommige componenten lichte dimensionale afwijkingen vertonen (bijvoorbeeld een afwijkende breedte van een raamprofiel), dan mag, vereenvoudigd, voor deze componenten eenzelfde U-waarde gebruikt worden op voorwaarde dat de meest ongunstige waarde (de grootste) aangenomen wordt. De corresponderende  $\Psi_g$ -waarde moet dan bepaald worden op basis van deze U-waarde

### 8.6 Bijkomende specificaties en waarden bij ontstentenis voor opake deuren en poorten

Voor deuren en poorten met eenvoudige geometrische karakteristieken en die uitgevoerd zijn met materialen waarvan de verhouding van hun warmtegeleidbaarheden ( $\lambda$ -waarden) niet groter is dan 1:5 (nagels en schroeven uitgezonderd), kan de  $U_p$ -waarde (van het deurblad) berekend worden volgens Eq. 8, waarbij de corresponderende  $R_T$ -waarde naargelang de opbouw berekend is volgens Eq. 3 of Eq. 4.

Het is steeds toegelaten voor opake deuren en poorten te rekenen met de waarde bij ontstentenis van Tabel [4].

**Tabel [4]: Waarde bij ontstentenis voor  $U_D$ , in  $W/(m^2 \cdot K)$ , voor opake deuren en poorten**

	In metaal	In andere materialen
Niet-geïsoleerde deuren of poorten	6,0	4,0
Geïsoleerde deuren of poorten (1)	5,0	3,0
(1) minstens 70% van de totale deuropervlakte voorzien van een isolatie met $R \geq 0,4 \text{ m}^2 \cdot K/W$		

## 9 Warmtedoorgangscoefficiënt van componenten van vensters en deuren

### 9.1 Warmtedoorgangscoefficiënt van beglazingen

De warmtedoorgangscoefficiënt van het centrale gedeelte van een beglazing ( $U_g$ -waarde) wordt bepaald via een berekening in overeenstemming met de norm NBN EN 673; als een berekening niet mogelijk is, moet hij worden bepaald door middel van tests in overeenstemming met de norm NBN EN 674 of de norm NBN EN 675.

Als waarde bij ontstentenis kunnen volgende waarden worden gebruikt in functie van het type beglazing:

- enkele beglazing: 5,8 W/(m<sup>2</sup>.K);
- dubbele beglazing: 3,3 W/(m<sup>2</sup>.K);
- drievoudige beglazing: 2,3 W/(m<sup>2</sup>.K).

### 9.2 Warmtedoorgangscoefficiënt van raamprofielen

Indien de specifieke  $U_f$ -waarde van een bepaald raamprofiel niet beschikbaar is, maar wel de maximale  $U_f$ -waarde van de familie waartoe het raamprofiel behoort, dan mag voor dat profiel met die maximale waarde gerekend worden.

#### 9.2.1 Algemene bepaling

De warmtedoorgangscoefficiënt van een raamprofiel ( $U_f$ ) kan bepaald worden uitgaande van:

- proefondervindelijke bepaling in overeenstemming met NBN EN 12412-2;
- de numerieke berekeningswijze vermeld in NBN EN ISO 10077-2;
- de vereenvoudigde tabelwaarden van bijlage D.

#### 9.2.2 Bepaling van de $U_f$ -waarde van raamprofielen in dakvensters

In het geval van dakvensters dient de  $U$ -waarde van het raamprofiel ( $U_f$ ) als volgt bepaald te worden:

- proefondervindelijke bepaling in overeenstemming met NBN EN 12412-2;
- numerieke berekening volgens NBN EN ISO 10077-2;
- de vereenvoudigde tabelwaarden van bijlage D, mits onderstaande omrekening gebeurt.

Voor dakvensters kunnen de  $U_f$ -rekenwaarden uit de tabellen van bijlage D niet rechtstreeks gebruikt worden, omdat deze tabellen enkel geldig zijn voor raamprofielen die verticaal geplaatst zijn (met  $R_{si} = 0,13$  m<sup>2</sup>.K/W). Voor de horizontale of hellend geplaatste dakvensters (onder een hoek begrepen tussen 0° en 60°), is  $R_{si} = 0,10$  m<sup>2</sup>.K/W (volgens Tabel [1]) en kan benaderend de volgende correctie toegepast worden:

$$\text{Eq. 25} \quad U_{f,r} = \frac{1}{\frac{1}{U_f} - 0,03} \quad \text{W/(m}^2\text{.K)}$$

met:

- $U_{f,r}$  de gecorrigeerde  $U_f$ -waarde van het raamprofiel in het dakvenster, in  $W/(m^2.K)$ ;
- $U_f$  de vereenvoudigde  $U_f$ -waarde van het raamprofiel, in  $W/(m^2.K)$ , bepaald volgens de tabelwaarden uit bijlage D.
- NOTA De volgens Eq. 25 bepaalde  $U_{f,r}$ -waarden liggen 5 à 18% hoger dan de  $U_f$ -waarden van verticaal geplaatste raamprofielen.

### 9.3 Warmtedoorgangscoefficiënt van ondoorschijnende vulpanelen ( $U_p$ )

Wanneer ondoorschijnende vulpanelen bestaan uit parallelle lagen (bv. twee panelen uit glas, kunststof of metaal, waartussen zich een isolatiemateriaal bevindt), dan kan de warmtedoorgangscoefficiënt ( $U_p$ ) van het centraal gedeelte van het vulelement berekend worden volgens hoofdstukken § 6 en § 7.

Voor meer ingewikkelde geometrieën kan de warmtedoorgangscoefficiënt berekend worden volgens NBN EN ISO 10211.

### 9.4 Warmtedoorgangscoefficiënt van ventilatieroosters ( $U_r$ )

Ventilatieroosters die ingewerkt zijn in een venster of die rond (d.w.z. op, onder of naast) een raamprofiel geplaatst zijn, worden bij de bepaling van de  $U_w$ -waarde van het venster volgens § 8.3 en § 8.5 beschouwd als constructief en thermisch behorend tot het venster.

De warmtedoorgangscoefficiënt ( $U_r$ ) van een (afsluitbaar) ventilatierooster wordt als volgt bepaald:

- proefondervindelijk volgens NBN EN 12412-2;
- of berekend volgens NBN EN ISO 10077-2.

Bij de bepaling van de  $U$ -waarde wordt bij conventie het ventilatierooster in gesloten stand beschouwd.

Als waarde bij ontstentenis geldt  $U_r = 6,0 W/(m^2.K)$  (alle roosters).

### 9.5 Lineaire warmtedoorgangscoefficiënten ( $\Psi$ -waarden)

De lineaire warmtedoorgangscoefficiënten ( $\Psi$ -waarden) van de onderlinge aansluitingen tussen raamprofielen, raamstijlen, beglazingen, vulpanelen en ventilatieroosters, kunnen nauwkeurig bepaald worden uitgaande van een numerieke berekening volgens NBN EN ISO 10077-2.

Voor de aansluiting tussen beglazing en raamprofiel mogen de  $\Psi$ -waarden ook de waarden bij ontstentenis gebruikt worden die vermeld zijn in de tabellen van bijlage E.

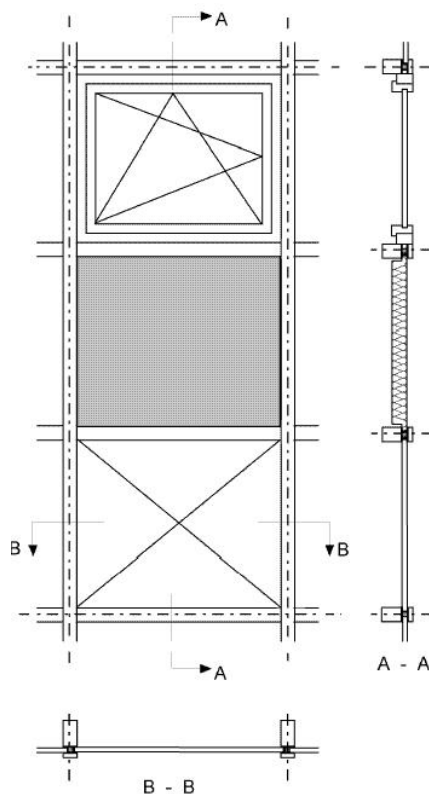
In het geval van ondoorschijnende vulpanelen die thermisch overbrugd worden aan de randen van het paneel door een minder isolerende afstandshouder, dient de  $\Psi$ -waarde op dezelfde wijze berekend te worden als voor een beglazing. In het tegengestelde geval mag  $\Psi_p$  gelijkgesteld worden aan 0.

## 10 Warmtedoorgangscoefficiënt van lichte gevels

### 10.1 Algemeen

Lichte gevels, ook gordijngevels genoemd, bestaan uit een combinatie van beglazingen, profielen en ondoorschijnende vulpanelen en die als één module geassembleerd zijn in een afzonderlijk kader. Een voorbeeld van een dergelijke constructie is gegeven in Figuur [20].

Figuur [20]: Module van een lichte gevel (gordijngevel)



Door het gebruik van de vele mogelijke materialen die op diverse wijzen met elkaar verbonden kunnen zijn, is het risico op aanwezigheid van koudebrugwerking in deze lichte gevels zeer groot. De bepaling van de warmtedoorgangscoefficiënt van deze gevels dient dan ook rekening te houden met de invloed van de koudebrugwerking die niet alleen optreedt ter hoogte van de onderlinge aansluitingen tussen beglazing, vulpanelen en raamprofielen, maar eveneens ter hoogte van de onderlinge aansluitingen tussen de modules zelf.

De bepaling van de warmtedoorgangscoefficiënt of  $U_{cw}$ -waarde gebeurt per module:

- ofwel door proeven volgens NBN EN ISO 12567-1;
- ofwel door nauwkeurige numerieke berekeningen (§ 10.3);
- ofwel door de componentenmethode toe te passen (§ 10.4).

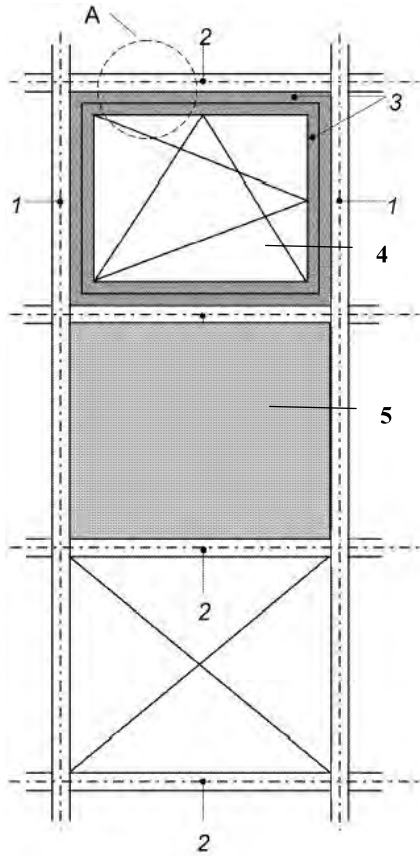
NOTA De eerste twee bepalingsmethodes kunnen zonder beperking gebruikt worden voor alle types van lichte gevels.

## 10.2 Constructieve eigenschappen van lichte gevels

### 10.2.1 Samenstellende delen en randvoorwaarden

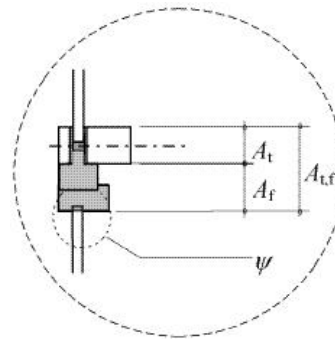
De samenstellende delen van een module van een lichte gevel zijn schematisch voorgesteld in Figuur [21].

**Figuur [21]: Samenstellende delen van een gordijngevel**



- 1: verticale raamstijl
- 2: horizontale raamstijl
- 3: vast kader en opengaande vleugel
- 4: beglazing
- 5: isolerend ondoorschijnend vulpaneel

**Doorsnede A**

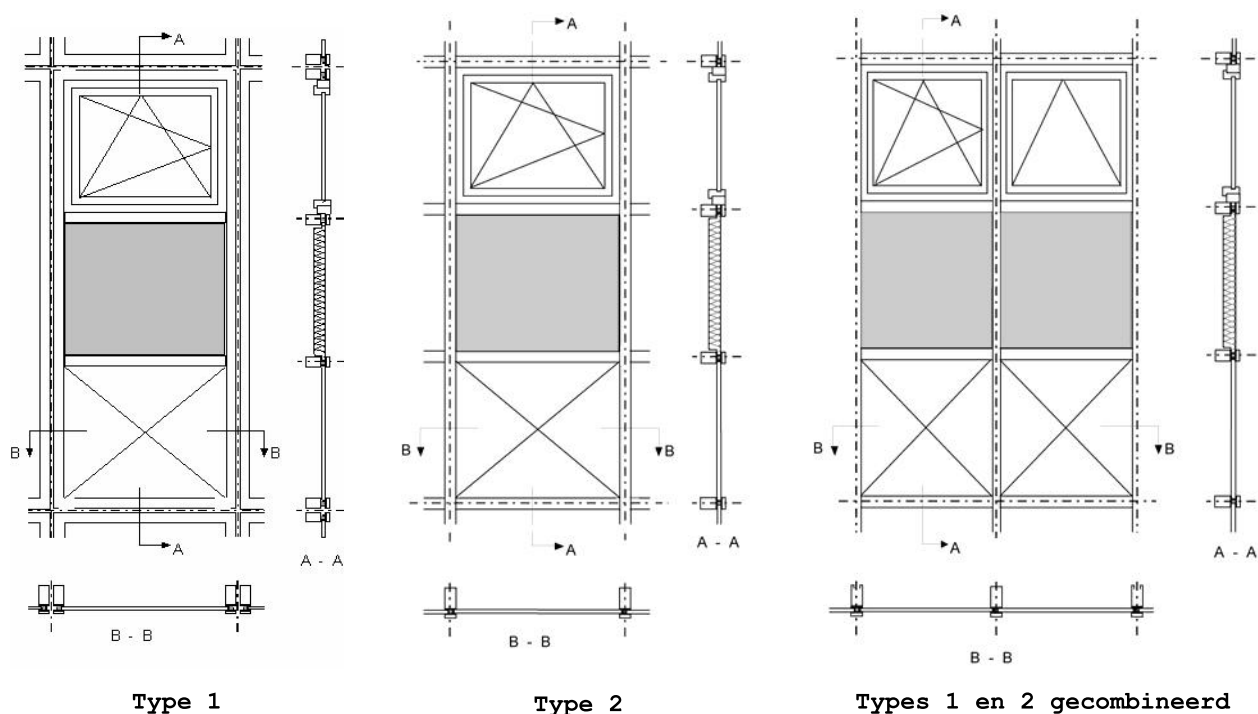


- $A_t$  ( $m^2$ ): geprojecteerde oppervlakte van de horizontale raamstijl
- $A_f$  ( $m^2$ ): geprojecteerde oppervlakte van het profiel

De afbakening van de scheidingslijnen tussen verschillende modules van een lichte gevel hangt af van het soort of type van lichte gevel, zoals voorgesteld in Figuur [22].



Figuur [22]: Afbakening van de oppervlaktes van modules in een lichte gevel

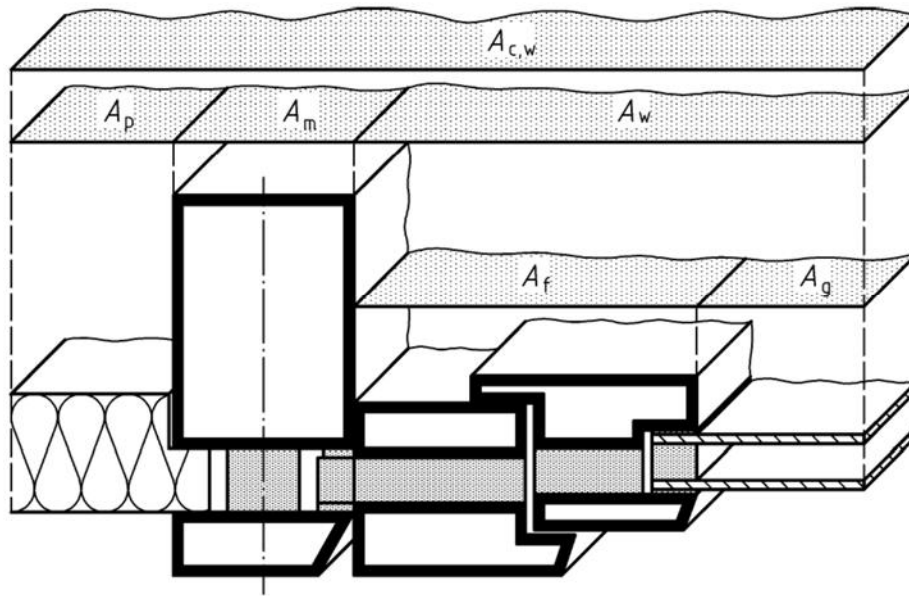


### 10.2.2 Definitie van oppervlaktes en perimeter

Voor elke module van een lichte gevel worden de in rekening te brengen oppervlaktes van alle samenstellende delen (beglazing, vleugel, vast kader, paneel, horizontale en verticale raamstijlen) bepaald als de geprojecteerde oppervlaktes, zoals schematisch weergegeven in Figuur [23]. Deze oppervlaktes kunnen verschillen naargelang zij bepaald worden gezien van de buitenzijde of de binnenzijde. Daarom gelden de volgende conventies:

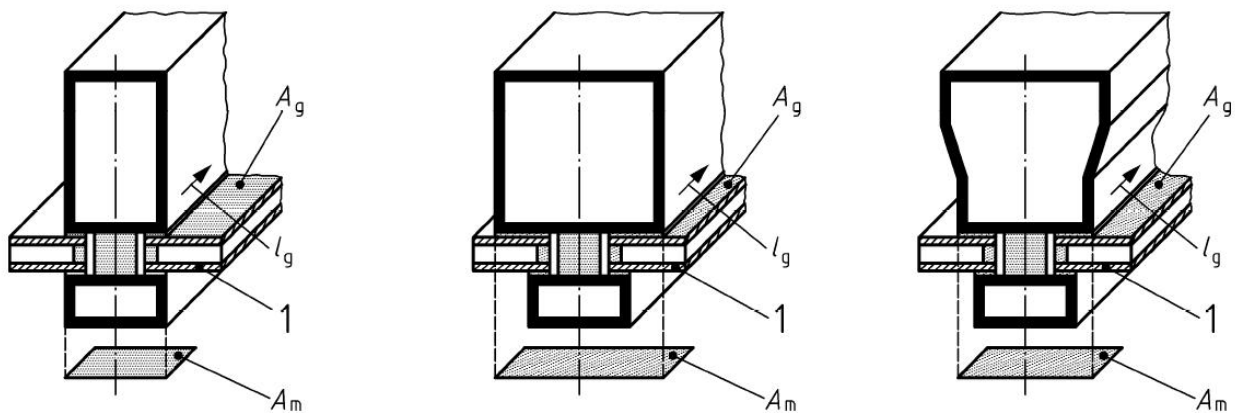
- voor beglazing en vulpaneel wordt de kleinste oppervlakte, gezien van beide zijden, weerhouden;
- voor alle andere delen (kader, raamstijlen) wordt de grootste oppervlakte, gezien van beide zijden, in rekening gebracht.

**Figuur [23]: Illustratie van geprojecteerde en ontwikkelde oppervlakken bij lichte gevels**



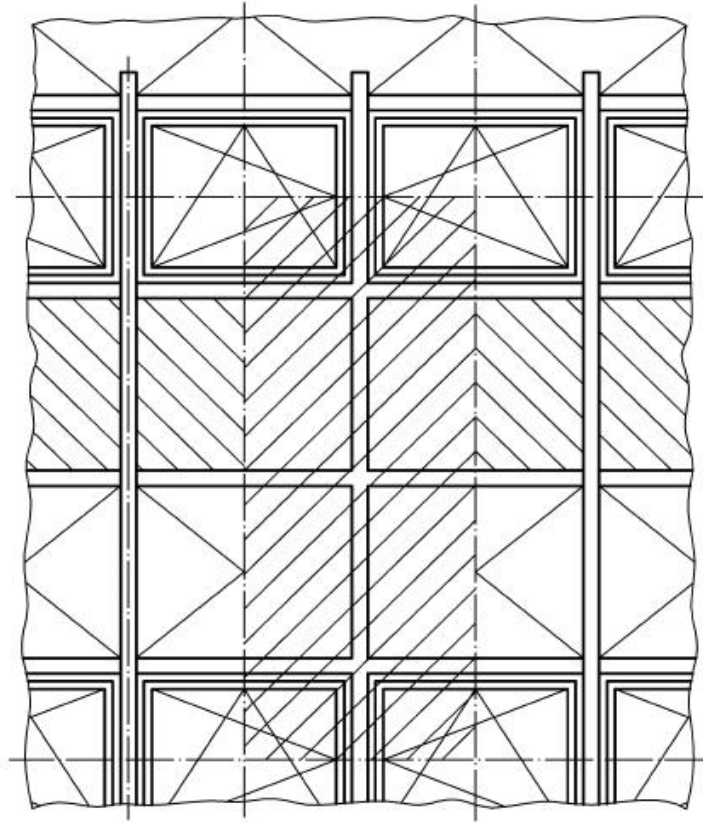
Indien de perimeter van een beglazing,  $l_g$ , of van een vulpaneel,  $l_p$ , verschillend is aan de binnenzijde en de buitenzijde, wordt de perimeter gedefinieerd als de grenslijn tussen de oppervlakten (zie hierboven) van het glas en van het profiel (zie Figuur [24]).

**Figuur [24]: Illustratie van glasoppervlakte en perimeter**



### 10.2.3 Regels voor modellering

Meestal kunnen bij de modellering of de onderverdeling van een lichte gevel de snijvlakken zodanig aangebracht worden dat geveldelen ontstaan waarvoor een aparte U-waarde kan bepaald worden. In dat geval kan de globale  $U_{c,w}$ -waarde van de gehele lichte gevel bepaald worden als de oppervlakte-gewogen gemiddelde U-waarde van alle aparte geveldelen. De thermische kenmerken van elk geveldeel kunnen ofwel nauwkeurig bepaald zijn via metingen of numerieke berekeningen, ofwel vereenvoudigd gekozen worden uit tabelwaarden of grafieken.

**Figuur [25]: Modellerings van een volledige module van een lichte gevel**

Algemeen kan gesteld worden dat de modules van lichte gevels meestal een vrij complexe samenstelling hebben, waarbij de centrale delen dikwijls onderling verbonden zijn door verbindingselementen die een hoge warmtegeleidbaarheid hebben. Hierdoor kan koudebrugwerking optreden waardoor de totale warmteoverdracht in belangrijke mate kan toenemen. Bij de modellerings van de modules dienen daarom de snijvlakken en de randvoorwaarden zorgvuldig gekozen te worden. In Figuur [25] wordt bijvoorbeeld getoond hoe de snijvlakken van het model gelegen zijn op de symmetrievlakken (midden van beglazing,...) of de plaatsen waar zo weinig mogelijk of geen randeffecten optreden die de warmtestroom kunnen beïnvloeden.

### 10.3 Bepaling van de $U_{cw}$ -waarde van een module van de lichte gevel: nauwkeurige numerieke berekeningen

#### 10.3.1 Principe van de nauwkeurige numerieke rekenmethode

De bepaling van de  $U_{cw}$ -waarde gebeurt door nauwkeurige numerieke berekeningen volgens NBN EN ISO 10211 en NBN EN ISO 10077-2, waarbij  $U_{cw}$  bepaald is als een gewogen gemiddelde  $U$ -waarde van alle deelcomponenten in de module, met inbegrip van alle randeffecten die optreden in de verbindingselementen tussen deze componenten:

- de  $U$ -waarde van het centrale deel van de beglazing ( $U_g$ ) zoals gedeclareerd door de fabrikant en bepaald volgens § 9.1;
- de  $U$ -waarde van het centrale deel van de ondoorschijnende panelen ( $U_p$ ) wordt berekend volgens hoofdstukken § 6 en § 7;
- de warmtestroom die optreedt in de verbindingselementen tussen de componenten, met inbegrip van alle randeffecten t.g.v. koudebrugwerking, wordt bepaald volgens de rekenregels uit § 10.3.2.

#### 10.3.2 Bepaling van de warmteoverdrachtsstroom door de verbindingselementen

##### 10.3.2.1 Algemeen

De onderlinge aansluitingen tussen de deelcomponenten (beglazing, vulpaneel) veroorzaken bijkomende verliezen ten gevolge van randeffecten. Deze extra verliezen worden bepaald uitgaande van de totale warmteoverdrachtsstroom ( $\Phi_{tot}$ ) doorheen de beschouwde module. De totale warmteoverdrachtsstroom  $\Phi_{tot}$  wordt bepaald:

- ofwel op basis van proeven volgens NBN EN ISO 12567-1;
- ofwel op basis van 2D- en/of 3D-numerieke berekeningen volgens NBN EN ISO 10077-2 en/of NBN EN ISO 10211.

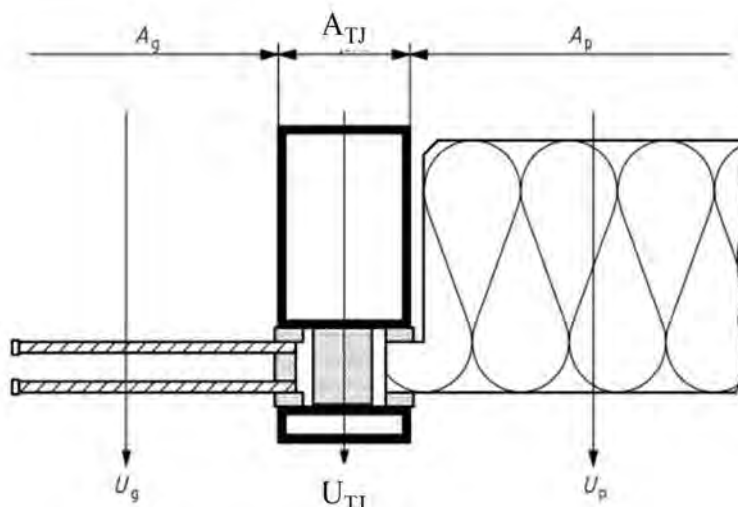
Bij het uitvoeren van de numerieke rekenmethode kan de totale warmteoverdrachtsstroom doorheen de verbindingselementen ( $\Phi_{TJ}$ ), met inbegrip van alle randeffecten, volgens twee verschillende manieren berekend worden:

- ofwel wordt het verbindingselement tussen beglazing en vulpaneel als een apart gevelelement beschouwd (met eigen oppervlakte en eigen  $U$ -waarde); in dat geval wordt een  $U_{TJ}$  berekend volgens de rekenwijze uit § 10.3.2.2;
- ofwel wordt het verbindingselement tussen beglazing en vulpaneel als een lineaire aansluiting beschouwd (met eigen lengte en eigen  $\Psi$ -waarde); in dat geval wordt een  $\Psi_{TJ}$  bepaald volgens de rekenwijze uit § 10.3.2.3.

De bepaling van  $U_{cw}$  van de module geschiedt tenslotte volgens de formules die gegeven zijn in § 10.3.3.

### 10.3.2.2 Bepaling van $U_{TJ}$ (verbinding beschouwd als gevelelement)

Figuur [26]: Verbinding beschouwd als gevelelement met eigen oppervlakte



In dit geval geldt het rekenmodel van Figuur [26]. Voor beglazing en vulpaneel zijn zowel de oppervlakten ( $A_g$  en  $A_p$ ) als de centrale  $U$ -waarden ( $U_g$  en  $U_p$ ) gekend. De verbinding tussen beglazing en paneel wordt als gevelelement beschouwd met een gekende eigen geprojecteerde oppervlakte ( $A_{TJ}$ ) en een onbekende (te zoeken) eigen  $U$ -waarde ( $U_{TJ}$ ). Op basis van de totale warmteoverdrachtsstroom ( $\Phi_{tot}$ ) doorheen het volledige model volgt  $U_{TJ}$  uit:

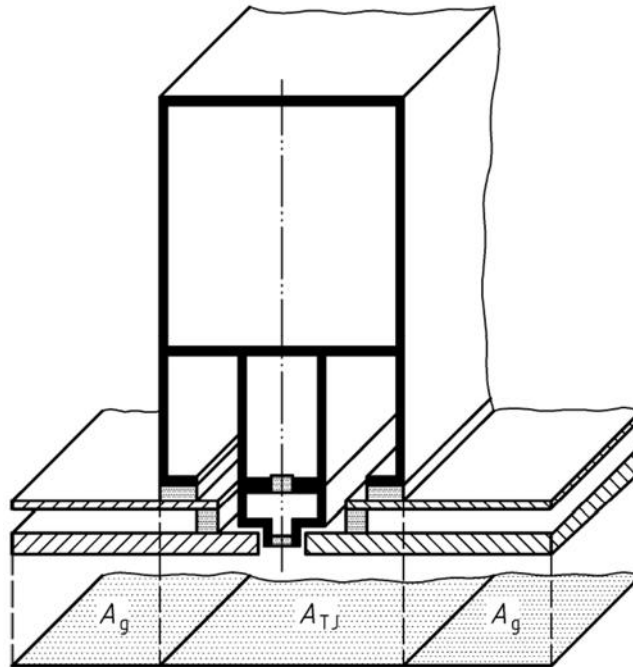
$$\text{Eq. 26} \quad U_{TJ} = \frac{\Phi_{tot} - (U_g \cdot A_g + U_p \cdot A_p) \cdot \Delta T}{A_{TJ} \cdot \Delta T} \quad \text{W/(m}^2 \cdot \text{K)}$$

waarin:

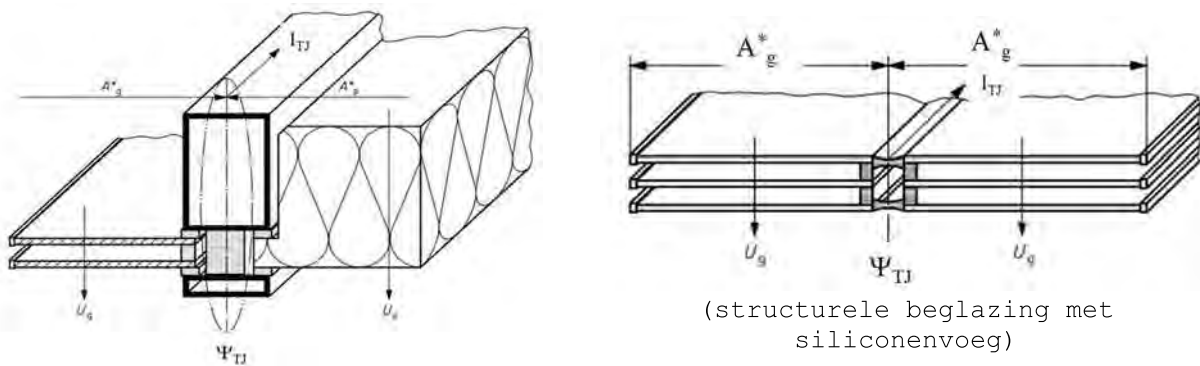
$\Delta T$  temperatuurverschil tussen de binnen- en de buitenomgeving, in K.

NOTA 1  $U_{TJ}$  bepaalt de warmtestroom door de verbinding met inbegrip van alle randeffecten (interactie tussen profiel en beglazing of vulpaneel) van het beschouwde model. Deze  $U_{TJ}$ -waarde is dus niet vergelijkbaar met  $U_f$  (profiel), die enkel de warmtestroom door het verbindingsprofiel bepaalt zonder rekening te houden met deze randeffecten.

NOTA 2 Bij de numerieke berekening wordt de oppervlakte  $A_{TJ}$  bepaald als de grootste van de geprojecteerde oppervlakten van het geheel van de verbindingselementen gelegen tussen de beglazing en het vulpaneel, zoals getoond in Figuur [27].

Figuur [27]: Bepaling van  $A_{TJ}$  bij structurele beglazing10.3.2.3 Bepaling van  $\Psi_{TJ}$  (verbinding beschouwd als lineaire aansluiting)

Figuur [28]: Verbindingen beschouwd als lineaire aansluiting



In dit geval geldt het rekenmodel van Figuur [28]. Voor de beglazingen en/of vulpanelen zijn zowel de equivalente oppervlakten ( $A_g^*$  en/of  $A_p^*$ ) als de centrale U-waarden ( $U_g$  en/of  $U_p$ ) gekend. De verbinding tussen beglazingen en/of panelen wordt als een lineaire aansluiting beschouwd met een gekende eigen lengte ( $l_{TJ}$  bepaald als de lengte van de thermische verbinding tussen de vulpanelen en/of de beglazingen) en een onbekende (te zoeken) eigen  $\Psi$ -waarde ( $\Psi_{TJ}$ ). Op basis van de totale warmteoverdrachtsstroom ( $\Phi_{tot}$ ) wordt  $\Psi_{TJ}$  als volgt berekend:

$$\text{Eq. 27} \quad \Psi_{TJ} = \frac{\Phi_{tot} - (U_g \cdot A_g^* + U_p \cdot A_p^*) \cdot \Delta T}{l_{TJ} \cdot \Delta T} \quad \text{W / (m.K)}$$

**10.3.3 Bepaling van  $U_{cw}$  van een module**

$U_{cw}$  wordt tenslotte berekend als een oppervlaktegewogen gemiddelde U-waarde.

Indien de verbinding tussen de componenten als een apart geveldeel beschouwd is, dan volgt  $U_{cw}$  uit:

$$\text{Eq. 28} \quad U_{cw} = \frac{\sum A_g \cdot U_g + \sum A_p \cdot U_p + \sum A_{TJ} \cdot U_{TJ}}{\sum A_g + \sum A_p + \sum A_{TJ}} \quad \text{W}/(\text{m}^2 \cdot \text{K})$$

Indien de verbinding tussen de componenten als een koudebrug is behandeld, dan volgt  $U_{cw}$  uit:

$$\text{Eq. 29} \quad U_{cw} = \frac{\sum A_g^* \cdot U_g + \sum A_p^* \cdot U_p + \sum l_{TJ} \cdot \Psi_{TJ}}{A_{cw}} \quad \text{W}/(\text{m}^2 \cdot \text{K})$$

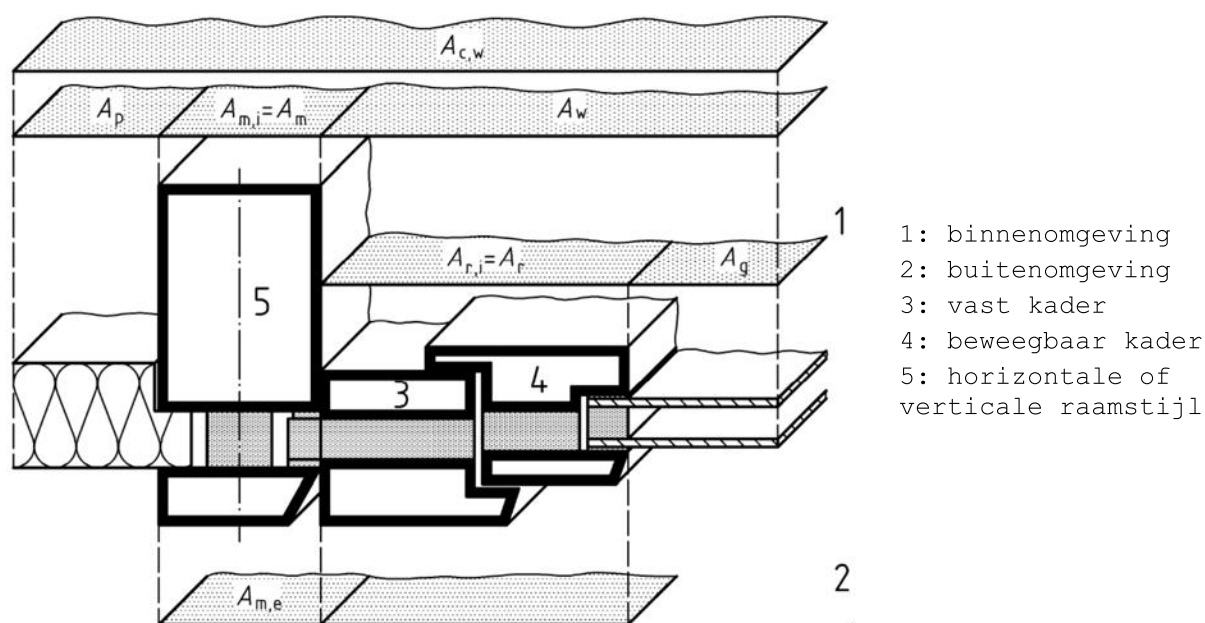
**10.4 Bepaling van de  $U_{cw}$ -waarde van een module: componentenmethode**

**10.4.1 Principe van de bepalingsmethode**

Bij de bepaling van de totale  $U_{cw}$ -waarde van een module van een lichte gevel volgens deze componentenmethode, wordt een oppervlakte-gewogen gemiddelde U-waarde berekend van alle deelcomponenten van de module (beglazing, vulpanelen, profielen en raamstijlen), waarbij de randeffecten van de onderlinge aansluitingen tussen deze delen begroot worden door het product van een lengte en een lineaire warmtedoorgangscoefficiënt ( $\Psi$ -waarde).

**10.4.2 Algemene bepaling van  $U_{cw}$**

**Figuur [29]: Opsplitsing van de module in deelcomponenten met eigen oppervlakte en U-waarde**



De warmtedoorgangscoefficiënt van een module van een lichte gevel ( $U_{cw}$ ) wordt berekend volgens:

$$\text{Eq. 30} \quad U_{cw} = \frac{\left( \sum A_g U_g + \sum A_p U_p + \sum A_f U_f + \sum A_{m(t)} U_{m(t)} \right) + \sum l_g \cdot \Psi_{f,g} + \sum l_p \cdot \Psi_p + \sum l_{m(t),f} \cdot \Psi_{m(t),f} + \sum l_{m(t),f} \cdot \Psi_{m(t),f}}{A_{cw}} \quad \text{W/(m}^2 \cdot \text{K)}$$

waarin:

$U_g, U_p$	warmtedoorgangscoefficiënten van resp. beglazing en ondoorschijnende vulpanelen, in $\text{W/(m}^2 \cdot \text{K)}$ , bepaald volgens § 10.4.3;
$U_f, U_m, U_t$	warmtedoorgangscoefficiënten van resp. de profielen en de verticale en horizontale raamstijlen, in $\text{W/(m}^2 \cdot \text{K)}$ , bepaald volgens § 10.4.4;
$A_g, A_p, A_f, A_m, A_t$	de geprojecteerde oppervlaktes van resp. beglazingen, ondoorschijnende panelen, profielen en de verticale en horizontale raamstijlen, in $\text{m}^2$ , bepaald volgens § 10.2.2;
$A_{cw}$	de totale oppervlakte van de module van de lichte gevel, in $\text{m}^2$ , bepaald als de som van de samenstellende delen van de module $A_{cw} = A_g + A_p + A_f + A_m + A_t$ ;
$\Psi_{f,g}$	de lineaire warmtedoorgangscoefficiënten ten gevolge van de onderlinge randeffecten tussen beglazingen en profielen en tussen panelen en profielen, in $\text{W/(m} \cdot \text{K)}$ , bepaald volgens § 10.4.5;
$\Psi_p$	de lineaire warmtedoorgangscoefficiënt ten gevolge van de onderlinge randeffecten tussen panelen en profielen of raamstijlen, in $\text{W/(m} \cdot \text{K)}$ , bepaald volgens 10.4.5;
$\Psi_{m,f}, \Psi_{t,f}$	de lineaire warmtedoorgangscoefficiënten ten gevolge van de randeffecten tussen de profielen (vast kader) en de horizontale en/of verticale raamstijlen, in $\text{W/(m} \cdot \text{K)}$ bepaald volgens § 10.4.5;
$\Psi_{m,g}, \Psi_{t,g}$	de lineaire warmtedoorgangscoefficiënten ten gevolge van de randeffecten) tussen de beglazingen en de horizontale en/of verticale raamstijlen, in $\text{W/(m} \cdot \text{K)}$ , bepaald volgens § 10.4.5;
$l_g, l_p, l_{m,f}, l_{t,f}, l_{m,g}, l_{t,g}$	de omtrekken van de corresponderende aansluitingen van beglazingen, vulpanelen, profielen en horizontale en verticale raamstijlen, in m.

### 10.4.3 U-waarde van beglazing en vulpaneel

#### 10.4.3.1 Beglazing

Zie § 9.1.

#### 10.4.3.2 Vulpanelen

Zie § 9.3.



#### 10.4.4 U-waarde van profielen en raamstijlen

De warmtedoorgangscoefficiënt van de profielen ( $U_f$ ) wordt bepaald volgens de principes van § 9.2.

De warmtedoorgangscoefficiënten van de horizontale of verticale raamstijlen ( $U_t$  of  $U_m$ ) worden als volgt bepaald:

- proefondervindelijke bepaling in overeenstemming met NBN EN 12412-2;
- de numerieke berekeningswijze vermeld in NBN EN ISO 10077-2.

NOTA De numerieke berekening van NBN EN ISO 10077-2 houdt geen rekening met de randeffecten van metalen verbindingen (schroeven) in de raamstijlen. Het extra warmteverlies dat veroorzaakt wordt door deze verbindingen ( $\chi$  waarden), kan berekend worden door een numerieke 3D-koudebrugberekening volgens NBN EN ISO 10211 of kan volgen uit een vergelijkende proef (een proef met schroeven in metaal en een tweede proef met schroeven in kunststof) volgens NBN EN 12412-2.

In bijlage D van NBN EN ISO 12631 wordt voor profielsystemen een speciale rekenmethode gegeven om het effect van schroefverbindingen te kunnen evalueren op basis van een 2D-numerieke berekening met aangepaste modellering en randvoorwaarden. Vereenvoudigd kan het effect van deze verbindingen bepaald worden door de gewone U-waarde van het profiel ( $U_{m0}$  of  $U_{t0}$ , numeriek berekend volgens NBN EN ISO 10077-2, zonder inrekening van het effect van schroeven) te vermeerderen met een correctieterm  $\Delta U$ :

$$\text{Eq. 31} \quad U_{m(t)} = U_{m(t)0} + \Delta U \quad \text{W/(m}^2 \cdot \text{K)}$$

In het geval van roestvrij stalen schroeven is een waarde bij ontstentenis voor deze correctieterm  $\Delta U$  gegeven in Tabel [5], mits voldaan is aan de vermelde voorwaarden.

Tabel [5]:  $\Delta U$ -waarden voor horizontale en verticale raamstijlen

Diameter roestvrij stalen verbinding (schroef)	Onderlinge afstand tussen de verbindingen	$\Delta U$ (W/(m <sup>2</sup> ·K))
≤ 6 mm	200 – 300 mm	0,3

#### 10.4.5 Lineaire warmtedoorgangscoefficiënten (beglazingen, profielen en raamstijlen)

De lineaire warmtedoorgangscoefficiënten van de onderlinge aansluitingen tussen beglazingen of vulpanelen, afstandshouders en profielen ( $\Psi_{f,g}$  en  $\Psi_{f,p}$ ), kunnen bepaald worden uitgaande van:

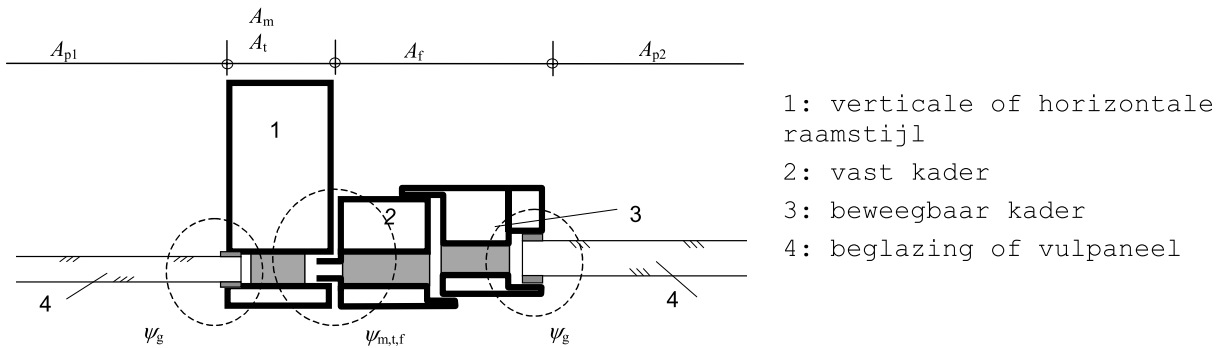
- een numerieke berekening volgens NBN EN ISO 10077-2 (nauwkeurige berekening)
- de waarden bij ontstentenis vermeld in § Tabel E 2 en § Tabel E 4 van bijlage E.

De interactie of de extra warmteoverdracht die veroorzaakt wordt door de aansluitingen van een beglazing of een vulpaneel op de horizontale en verticale raamstijlen, zoals getoond in § Figuur [30]: Aansluiting van een module van lichte gevel op een verticale of horizontale raamstijl, kan geëvalueerd worden door specifieke lineaire warmtedoorgangscoefficiënten ( $\Psi_{m,f}$  en  $\Psi_{t,f}$  of  $\Psi_{m,g}$  en  $\Psi_{t,g}$ ). Deze waarde kunnen bepaald worden, uitgaande van:

- een numerieke berekening volgens NBN EN ISO 10077-2 (nauwkeurige berekening);

- de waarden bij ontstentenis vermeld in § Tabel E 3, § Tabel E 5 en § Tabel E 6 van bijlage E.

**Figuur [30]: Aansluiting van een module van lichte gevel op een verticale of horizontale raamstijl**



### 10.5 Bepaling van de $U_{cw}$ -waarde voor een lichte gevel opgebouwd uit verschillende modules

De berekening van de totale warmtedoorgangscoefficiënt ( $U_{cw,tot}$ ) van een lichte gevel, opgebouwd uit verschillende modules met verschillende vormen en afmetingen, kan berekend worden volgens:

$$\text{Eq. 32} \quad U_{cw,tot} = \frac{\sum (U_{cw,i} \cdot A_{cw,i})}{\sum A_{cw,i}} \quad \text{W}/(\text{m}^2 \cdot \text{K})$$

Met:

$U_{cw,i}$  U-waarden van de verschillende modules ( $\text{W}/(\text{m}^2 \cdot \text{K})$ )

$A_{cw,i}$  oppervlakten van de verschillende modules ( $\text{m}^2$ )

## 11 Warmtedoorgangscoefficiënt van andere doorschijnende wanden

### 11.1 Glasbouwsteenwanden

Bij de berekening van de warmtedoorgangscoefficiënt van een glasbouwsteenwand moet het ganse bouwelement beschouwd worden. In voorkomend geval moet dus ook het effect van voegen (zoals bij metselwerk, zie § G.3.1), profielen (zoals bij vensters) of andere elementen ingerekend worden.

De warmtedoorgangscoefficiënt van een glasbouwsteen op zich wordt bepaald volgens de norm NBN EN 1051-2.

Er mag ook steeds gerekend worden met de waarde bij ontstentenis, die gelijk is aan  $5,7 \text{ W}/(\text{m}^2 \cdot \text{K})$ .

### 11.2 Kunststof lichtkoepels/lichtstraten

Deze paragraaf is zowel van toepassing voor lichtkoepels als voor lichtstraten.

Zowel voor de berekening van het E-peil als voor het aftoetsen van de  $U_{\max}$ -eis volgens de bijlage VII bij het Energiebesluit, wordt de te beschouwen warmtedoorgangscoefficiënt van een kunststof lichtkoepel,  $U_{r1}$ , bepaald als:

$$\text{Eq. 98} \quad \text{Voor een lichtkoepel met opstand: } U_{r1} = \frac{A_{rc}}{A_p} \cdot U_{rc} \quad \text{W}/(\text{m}^2 \cdot \text{K})$$

$$\text{Voor een lichtkoepel zonder opstand: } U_{r1} = \frac{A_r}{A_p} \cdot U_r \quad \text{W}/(\text{m}^2 \cdot \text{K})$$

met:

$A_{rc}$  de oppervlakte van de lichtkoepel met opstand, in  $\text{m}^2$ , bepaald in overeenstemming met NBN EN 1873;

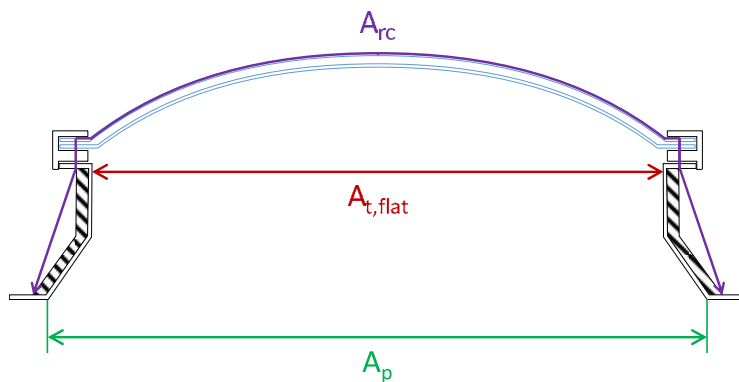
$A_r$  de oppervlakte van de lichtkoepel zonder opstand, in  $\text{m}^2$ , bepaald in overeenstemming met NBN EN 1873

$A_p$  de geprojecteerde oppervlakte van de lichtkoepel, in  $\text{m}^2$ ;

$U_{rc}$  de warmtedoorgangscoefficiënt van de lichtkoepel met opstand, in  $\text{W}/(\text{m}^2 \cdot \text{K})$ , bepaald in overeenstemming met de norm NBN EN 1873;

$U_r$  de warmtedoorgangscoefficiënt van de lichtkoepel zonder opstand, in  $\text{W}/(\text{m}^2 \cdot \text{K})$ , bepaald in overeenstemming met de norm NBN EN 1873.

Figuur [51]: Oppervlaktes van een lichtkoepel met opstand



In Figuur [51] wordt de definitie van de geprojecteerde oppervlakte van de lichtkoepel  $A_p$ , van de oppervlakte van de horizontale projectie van het doorschijnende buitenoppervlak  $A_{t,flat}$  en van de oppervlakte van een lichtkoepel met opstand  $A_{rc}$ , gegeven. Voor de oppervlaktes  $A_{t,flat}$  en  $A_{rc}$  gaat het in Figuur [51] enkel om een prinsescheets: de exacte definities worden opgegeven in de norm NBN EN 1873.

## 12 Warmteoverdrachtscoëfficiënt door transmissie in gebouwen<sup>3</sup>

### 12.1 Totale warmteoverdrachtscoëfficiënt door transmissie

De totale warmteoverdrachtscoëfficiënt door transmissie ( $H_T$ ) wordt berekend volgens:

$$\text{Eq. 33} \quad H_T = H_D + H_G + H_U \quad \text{W/K}$$

met:

$H_D$  de warmteoverdrachtscoëfficiënt door transmissie direct naar de buitenomgeving, in W/K, bepaald volgens § 13;

$H_G$  de warmteoverdrachtscoëfficiënt door transmissie via de grond en via onverwarmde kelders en kruipruimten in contact met de grond, in W/K, bepaald volgens § 15;

$H_U$  de warmteoverdrachtscoëfficiënt door transmissie naar de buitenomgeving via aangrenzende onverwarmde ruimten, in W/K, bepaald volgens § 14.

### 12.2 Algemene conventies

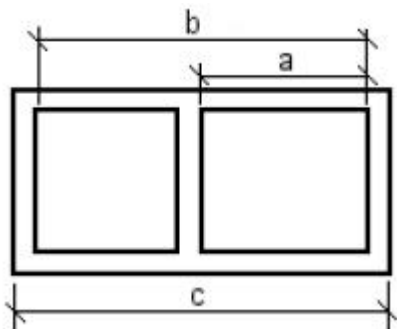
#### 12.2.1 Afbakening van gebouwdelen

Het deel van het gebouw (beschermd volume, aangrenzende onverwarmde ruimte, energiesector, ...) waarvoor de warmteoverdrachtscoëfficiënt moet berekend worden, moet eenduidig gedefinieerd zijn.

#### 12.2.2 Bepaling van de oppervlakten

##### 12.2.2.1 Oppervlakteberekening van buitenwanden

Figuur [31]: Systemen van oppervlakteberekening



Legende:

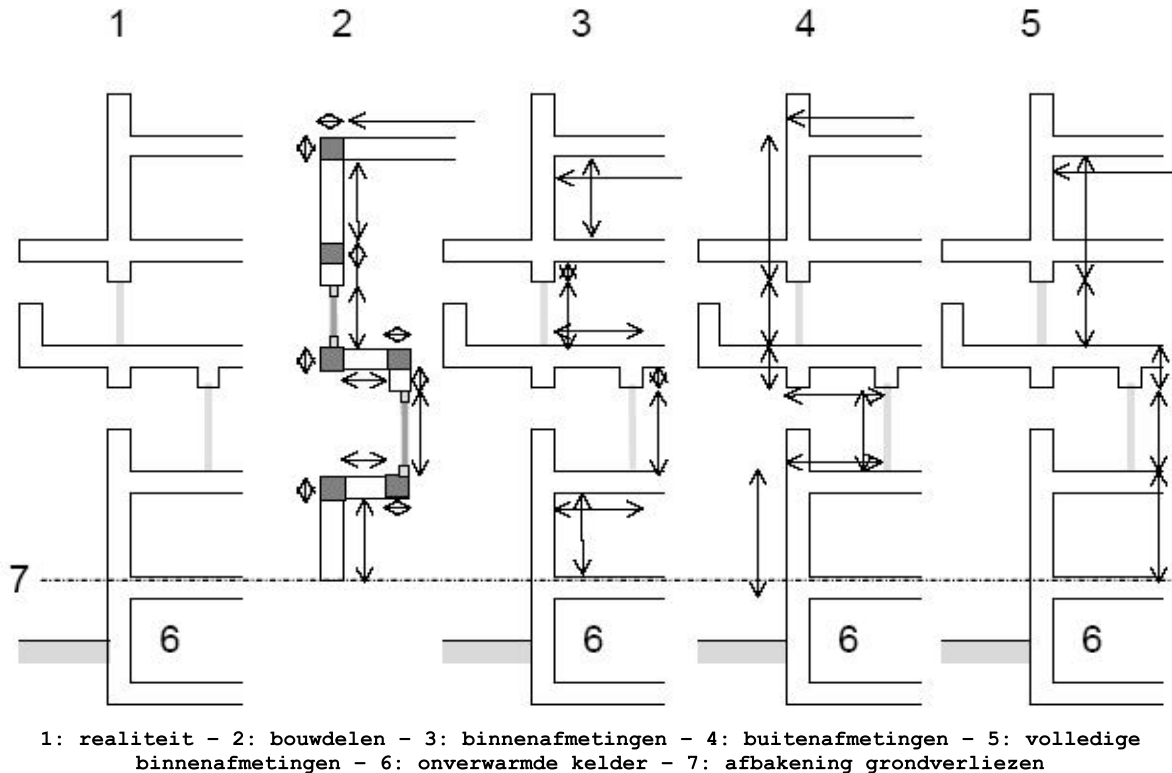
- a binnenafmeting
- b volledige binnenafmeting
- c buitenafmeting

Voor de berekening van de oppervlakten van de schilelementen van een gebouw (d.w.z. de scheidingsconstructies die het beschermd volume van een gebouw scheiden van de buitenomgeving, de grond en aangrenzende onverwarmde ruimten), dienen buitenafmetingen gebruikt te worden (afmeting c in Figuur [31] en geïllustreerd in Figuur [32]), zodat de volledige gebouwschil als een gesloten omhullende oppervlakte kan beschouwd worden. Voor vensters en deuren worden daarbij de afmetingen van de dagopening (gezien van buiten) als afmetingen aangenomen.

<sup>3</sup> Onder "gebouw" wordt eveneens verstaan "deel van een gebouw" indien de berekening hierop van toepassing is.

Deze methode dient consistent gebruikt te worden bij alle berekeningen die de thermische prestaties van gebouwen betreffen (warmteverliezen, energiebehoeften, ...).

**Figuur [32]: Systemen van afmetingen**



#### 12.2.2.2 Oppervlakteberekening van scheidingsconstructies binnen een beschermd volume of tussen 2 beschermde volumes

Bij de bepaling van de oppervlakten van scheidingsconstructies binnen een beschermd volume of tussen twee beschermde volumes worden de afmetingen bepaald door de hartlijn van de tussenliggende constructies als afbakening te beschouwen.

#### 12.2.2.3 Oppervlakteberekening van gebogen bouwelementen

Voor gebogen bouwelementen (tondaken, gebogen muren, ...) wordt de reële (= ontwikkelde) oppervlakte in rekening gebracht, tenzij andere specifieke voorwaarden gelden.

#### 12.2.3 Bepaling van volumes

Het beschermd volume is het volume van alle ruimten in een gebouw die thermisch afgeschermd zijn van de buitenomgeving (lucht of water), de grond en alle aangrenzende ruimten die niet tot een beschermd volume behoren.

Het beschermd volume wordt berekend op basis van buitenafmetingen, met inbegrip van het volume van de binnenwanden. De afbakening tussen twee aan elkaar grenzende beschermde volumes wordt gevormd door de hartlijn van de tussenliggende scheidingsconstructie. De aanwezigheid van thermisch isolerende lagen in de

constructieonderdelen geeft een aanduiding van welke ruimten tot het beschermd volume behoren en welke niet.

Het beschermd volume omvat minstens alle geklimatiseerde ruimten. Elke ruimte waarin een warmteafgifte- en/of koudeafgifte-element (radiator, vloerverwarming, warme of koude lucht inblaasmond, ventiloconvector, enzovoort) is geplaatst, wordt altijd beschouwd als geklimatiseerd. Elke ruimte waarin mensen wonen, werken, logeren, sporten, verzorgd worden, inkopen doen, hun vrije tijd doorbrengen, enzovoort, wordt altijd beschouwd als geklimatiseerd (bv. een slaapkamer of een kantoor dat niet geklimatiseerd wordt, behoort altijd tot het beschermd volume). Ruimtes die in open verbinding staan met elkaar worden beschouwd als één ruimte. Dit betekent dat een niet-geklimateerde ruimte in open verbinding met een geklimatiseerde ruimte samen als één geklimatiseerde ruimte wordt beschouwd.

Het ontwerpteam bepaalt welke niet-geklimateerde ruimtes tot het beschermd volume behoren. Hierbij wordt gekeken naar de functie van de ruimtes en de mate waarin de ruimtes afgescheiden zijn van enerzijds geklimatiseerde ruimtes en anderzijds de buitenomgeving (lucht of water), de grond en alle aangrenzende ruimten die niet tot het beschermd volume behoren. Deze keuze is vrij maar moet verdedigbaar zijn.

### 13 Warmteoverdrachtscoëfficiënt door transmissie direct naar de buitenomgeving ( $H_D$ )

De warmteoverdrachtscoëfficiënt door transmissie doorheen de scheidingsconstructies van het verliesoppervlak en de bouwknopen direct naar de buitenomgeving ( $H_D$ ), wordt berekend als volgt:

$$\text{Eq. 34} \quad H_D = H_D^{\text{constructions}} + H_D^{\text{junctions}} = \sum_i U_i \cdot A_i + H_D^{\text{junctions}} \quad \text{W/K}$$

met:

$H_D^{\text{constructions}}$	de warmteoverdrachtscoëfficiënt door transmissie doorheen de scheidingsconstructies van het verliesoppervlak in direct contact met de buitenomgeving, in W/K;
$A_i$	de oppervlakte van scheidingsconstructie $i$ , in $\text{m}^2$ , bepaald met buitenafmetingen;
$U_i$	de U-waarde van scheidingsconstructie $i$ , in $\text{W}/(\text{m}^2 \cdot \text{K})$ ;
$H_D^{\text{junctions}}$	de warmteoverdrachtscoëfficiënt door transmissie doorheen de bouwknopen in direct contact met de buitenomgeving, in W/K (zie § 16).

Bij de berekening van  $H_D^{\text{constructions}}$  dient gesommeerd te worden over alle scheidingsconstructies  $i$  van het verliesoppervlak in direct contact met de buitenomgeving.

Voor de behandeling van bouwknopen wordt verwezen naar § 9.1.5 en naar bijlage VIII van het Energiebesluit.



#### 14 Warmteoverdrachtscoëfficiënt door transmissie via aangrenzende onverwarmde ruimten ( $H_U$ )

De warmteoverdrachtscoëfficiënt door transmissie doorheen de scheidingsconstructies van het verliesoppervlak en de bouwknopen in contact met aangrenzende onverwarmde ruimten ( $H_U$ ) wordt berekend volgens:

$$\text{Eq. 35} \quad H_U = H_U^{\text{constructi ons}} + H_U^{\text{juncti ons}} \quad \text{W/K}$$

met:

$H_U^{\text{constructi ons}}$  warmteoverdrachtscoëfficiënt door transmissie doorheen de scheidingsconstructies van het verliesoppervlak in contact met aangrenzende onverwarmde ruimten, in W/K;

$H_U^{\text{juncti ons}}$  warmteoverdrachtscoëfficiënt door transmissie doorheen de bouwknopen in contact met aangrenzende onverwarmde ruimten, in W/K (zie § 16).

De rekenmethode voor  $H_U^{\text{constructi ons}}$  is van toepassing op bovengrondse ruimten. Voor kruipkelders en onverwarmde kelders wordt verwezen naar § 15.

De term  $H_U^{\text{constructi ons}}$  kan nauwkeurig berekend worden door een warmtebalans te maken tussen enerzijds de verliezen tussen de verwarmde ruimte en de aangrenzende onverwarmde ruimte en anderzijds tussen de aangrenzende onverwarmde ruimte en de buitenomgeving. (Als onverwarmde ruimten zijn hier de ruimten bedoeld waarvan de dikte van de luchtlaag groter is dan 0,3 m).

De verliezen doorheen de bouwknopen tussen de verwarmde en aangrenzende onverwarmde ruimte mogen in de warmtebalans verwaarloosd worden.

$H_U^{\text{constructi ons}}$  wordt bepaald volgens:

$$\text{Eq. 36} \quad H_U^{\text{constructi ons}} = H_{T, iu}^{\text{constructi ons}} \cdot b \quad \text{W/K}$$

met:

$$\text{Eq. 37} \quad b = \frac{H_{ue}}{H_{T, iu}^{\text{constructi ons}} + H_{ue}} \quad (-)$$

en:

$$\text{Eq. 38} \quad H_{ue} = H_{T, ue} + H_{V, ue} \quad \text{W/K}$$

en waarin:

$b$  de temperatuurreductiefactor van de aangrenzende onverwarmde ruimte;

$H_{T, iu}^{\text{constructi ons}}$  de directe warmteoverdrachtscoëfficiënt door transmissie doorheen de scheidingsconstructies tussen verwarmde en aangrenzende onverwarmde ruimte, zoals hieronder bepaald, in W/K;

$H_{ue}$  de warmteoverdrachtscoëfficiënt tussen de aangrenzende onverwarmde ruimte en buitenomgeving, in W/K;

$H_{T,ue}$  de warmteoverdrachtscoëfficiënt door transmissie doorheen de scheidingsconstructies tussen aangrenzende onverwarmde ruimte en de buitenomgeving, zoals hieronder bepaald, in W/K;

$H_{V,ue}$  de warmteoverdrachtscoëfficiënt door ventilatie van de aangrenzende onverwarmde ruimte, zoals hieronder bepaald, in W/K.

$H_{T,iu}^{constructions}$  en  $H_{T,ue}$  worden bepaald volgens:

$$\text{Eq. 96} \quad H_{T,iu}^{constructions} = \sum_i U_i \cdot A_i \quad \text{W/K}$$

$$\text{Eq. 97} \quad H_{T,ue} = \sum_j U_j \cdot A_j \quad \text{W/K}$$

met:

$A_i$  oppervlakte van scheidingsconstructie  $i$  tussen de verwarmde ruimte en de aangrenzende onverwarmde ruimte, in  $m^2$ , bepaald met buitenafmetingen;

$U_i$  U-waarde van scheidingsconstructie  $i$ , in  $W/(m^2.K)$ ;

$A_j$  oppervlakte van scheidingsconstructie  $j$  tussen de aangrenzende onverwarmde ruimte en de buitenomgeving, in  $m^2$ , bepaald met buitenafmetingen;

$U_j$  U-waarde van scheidingsconstructie  $j$ , in  $W/(m^2.K)$ .

Bij de berekening van  $H_{T,iu}^{constructions}$  moet gesommeerd worden over alle scheidingsconstructies  $i$  tussen de verwarmde ruimte en de aangrenzende onverwarmde ruimte. Bij de berekening van  $H_{T,ue}$  moet gesommeerd worden over alle scheidingsconstructies  $j$  tussen de aangrenzende onverwarmde ruimte en de buitenomgeving, met uitzondering van scheidingsconstructies in contact met de grond.

$H_{V,ue}$  wordt bepaald volgens:

$$\text{Eq. 39} \quad H_{V,ue} = \rho \cdot c \cdot V_{ue} \quad \text{W/K}$$

waarin:

$\rho$  de dichtheid van lucht, in  $kg/m^3$ ;

$c$  de soortelijke warmtecapaciteit van lucht, in  $Wh/(kg.K)$ ;

$V_{ue}$  het ventilatiedebiet tussen de aangrenzende onverwarmde ruimte en de buitenomgeving, zoals hieronder bepaald, in  $m^3/h$ .

Het product  $(\rho \cdot c)$  wordt conventioneel gelijk genomen aan  $0,34 Wh/m^3.K$ .

Het ventilatiedebiet tussen de aangrenzende onverwarmde ruimte en de buitenomgeving wordt berekend volgens:

$$\text{Eq. 40} \quad V_{ue} = n_{ue} \cdot V_u \quad m^3/h$$

met:

$V_u$  het volume van de aangrenzende onverwarmde ruimte, in  $m^3$ ;

$n_{ue}$  het conventionele ventilatievoud van de aangrenzende onverwarmde ruimte, in h-1, te bepalen voor het best overeenkomende geval uit Tabel [6].

**Tabel [6]: Conventioneel ventilatievoud tussen aangrenzende onverwarmde ruimte en buitenomgeving**

Type	Beschrijving luchtdichtheid van de aangrenzende onverwarmde ruimte	$n_{ue}$ $h^{-1}$
1	Geen deuren of vensters, alle aansluitingen tussen bouwdelen luchtdicht, geen ventilatieopeningen	0,1
2	Alle aansluitingen tussen bouwdelen luchtdicht, geen ventilatieopeningen	0,5
3	Alle aansluitingen tussen bouwdelen luchtdicht, kleine ventilatieopeningen voorzien	1
4	Niet luchtdicht omwille van plaatselijke ondichtheden of permanente ventilatieopeningen	3
5	Niet luchtdicht omwille van talrijke ondichtheden of grote of talrijke ventilatieopeningen	10

Voor de evaluatie van de  $U_{max}$ -eis volgens bijlage VII bij het Energiebesluit wordt de gecombineerde waarde  $b.U_i$  beschouwd, waarbij voor  $b$  de waarde bij winteromstandigheden wordt genomen.

## 15 Warmteoverdrachtscoëfficiënt door transmissie via de grond ( $H_g$ ) en via onverwarmde kelders en kruipruimten

### 15.1 Algemeen

De warmteoverdrachtscoëfficiënt door transmissie via de grond en via onverwarmde kelders en kruipruimten doorheen de scheidingsconstructies van het verliesoppervlak en de bouwknopen ( $H_g$ ) is bepaald door:

$$\text{Eq. 41} \quad H_g = H_g^{\text{constructies}} + H_g^{\text{juncties}} \quad \text{W/K}$$

met:

$H_g^{\text{constructies}}$  warmteoverdrachtscoëfficiënt door transmissie doorheen de scheidingsconstructies van het verliesoppervlak in contact met de grond en met onverwarmde kelders en kruipruimten, in W/K;

$H_g^{\text{juncties}}$  warmteoverdrachtscoëfficiënt door transmissie doorheen de bouwknopen in contact met de grond en met onverwarmde kelders en kruipruimten, in W/K (zie § 16).

De transmissieverliezen doorheen het grondmassief worden bepaald door verschillende factoren:

- de driedimensionale geometrie van het gebouw, de funderingsaansluitingen en de bodem;
- de warmtegeleidbaarheid van de grond (afhankelijk van grondsamenstelling en vochtgehalte);
- eventuele grondwaterbewegingen;
- enz.

In het kader van de energieprestatieregelgeving wordt steeds met stationaire verliezen gerekend. De Europese normen bieden een aantal rekenmethodes aan voor de berekening van  $H_g$ . Deze worden in bijlage F beschreven.

In aanvulling op bijlage F worden in § 15.2 een aantal vereenvoudigde methodes beschreven voor de bepaling van  $H_g^{\text{constructies}}$ . In § 15.3 wordt beschreven hoe randisolatie moet ingerekend worden bij een vloer op volle grond.

### 15.2 Vereenvoudigde rekenmethodes

#### 15.2.1 Vloeren in direct contact met de grond

De warmteoverdrachtscoëfficiënt door transmissie naar de buitenomgeving via de grond ( $H_g^{\text{constructies}}$ ), kunnen voor vloeren in direct contact met de grond (vloeren op volle grond, keldervloeren) vereenvoudigd bepaald worden door:

$$\text{Eq. 42} \quad H_g^{\text{constructies}} = \sum_{i=1}^n U_{\text{eq},f,i} \cdot A_i \cdot a_i \quad \text{W/K}$$

waarin:

$U_{\text{eq},f,i}$  de equivalente U-waarde van vloerdeel  $i$ , in  $\text{W}/(\text{m}^2 \cdot \text{K})$ , bepaald volgens:

$$\text{Eq. 43} \quad U_{\text{eq},f,i} = \frac{1}{R_{s,i} + \sum R_{f,i}} \quad \text{W}/(\text{m}^2 \cdot \text{K})$$

met:

- $R_{s,i}$  de warmteovergangswaarde aan het binnenoppervlak, in  $m^2.K/W$  (= 0,17)  
 $\Sigma R_{f,i}$  de totale warmteovergangswaarde van alle bouwlagen van vloerdeel  $i$ , in  $m^2.K/W$ , berekend volgens § 6 (van binnenoppervlak tot het contactoppervlak met de grond, dus zonder overgangswaarden)  
 $A_i$  de oppervlakte van vloerdeel  $i$ , in  $m^2$ , (bepaald met buitenafmetingen);  
 $a_i$  temperatuurreductiefactor voor vloerdeel  $i$  bepaald door:

$$\text{Eq. 44} \quad a_i = \frac{1}{U_{eq,f,i} + 1} \quad (-)$$

Bij de berekening van  $H_g^{constructies}$  dient gesommeerd te worden over alle vloerdelen  $i$  met verschillende samenstelling die in direct contact zijn met de volle grond.

Voor de evaluatie van de  $U_{max}$ -eis volgens bijlage VII bij het Energiebesluit wordt de gecombineerde waarde  $a_i \cdot U_{eq,f,i}$  beschouwd.

### 15.2.2 Bouwelementen (vloeren, muren, deuren) in contact met onverwarmde kelders en kruipruimten

De warmteoverdrachtscoëfficiënt door transmissie naar de buitenomgeving via de onverwarmde kelders en kruipruimten,  $H_g^{constructies}$ , kan voor bouwelementen die zich in contact met deze ruimten bevinden, vereenvoudigd bepaald worden m.b.v. een temperatuurreductiefactor ( $b_u$ ):

$$\text{Eq. 45} \quad H_g^{constructies} = \sum_{i=1}^n U_{eq,f,i} \cdot A_i \cdot b_{u,i} \quad W/K$$

waarin:

- $U_{eq,f,i}$  de equivalente U-waarde van bouwelement  $i$ , in  $W/(m^2.K)$ , bepaald volgens:

$$\text{Eq. 46} \quad U_{eq,f,i} = \frac{1}{R_{s,i} + \Sigma R_{f,i} + R_{s,i}} \quad W/(m^2.K)$$

met:

- $R_{s,i}$  de warmteovergangswaarde aan het binnenoppervlak, in  $m^2.K/W$ ;  
 $\Sigma R_{f,i}$  de totale warmteovergangswaarde van alle bouwlagen van bouwelement  $i$ , in  $m^2.K/W$ , berekend volgens § 6 (van het binnenoppervlak tot het contactoppervlak met de kruipruimte of de kelder, dus zonder overgangswaarden);  
 $A_i$  de oppervlakte van bouwelement  $i$ , in  $m^2$ , (bepaald met buitenafmetingen);  
 $b_{u,i}$  temperatuurreductiefactor van bouwelement  $i$  zoals bepaald in Tabel [7].

Tabel [7]: Waarden bij ontstentenis van de temperatuurreductiefactor  $b_u$ 

Onverwarmde kelder of kruipruimte	$b_u$ (-)
<b>Kelderruimte (minstens 70% van de buitenwanden in contact met de grond)</b>	
• zonder buitenvenster of buitendeur	0,5
• met buitenvenster of buitendeur	0,8
<b>Kruipruimten <sup>(1)</sup></b>	
• sterk geventileerd ( $n_{ue} \geq 1 \text{ h}^{-1}$ )	1,0
• niet of zwak geventileerd ( $n_{ue} < 1 \text{ h}^{-1}$ )	0,8
(1) conventionele waarden van het ventilatievoud ( $n_{ue}$ ) volgens Tabel [6].	

Voor de evaluatie van de  $U_{max}$ -eis volgens bijlage VII bij het Energiebesluit wordt de gecombineerde waarde  $b_{U,i} \cdot U_{eq,f,i}$  beschouwd.

### 15.2.3 Ingegraven muren

De vereenvoudigde methode volgt de procedure voor "Keldermuren" in § F.2.4, waarbij als vereenvoudiging bij conventie mag worden aangenomen dat  $R_f = 1 \text{ m}^2 \cdot \text{K}/\text{W}$ .

### 15.3 Randisolatie bij vloeren op volle grond

Bij vloeren op volle grond die zich bevinden op dezelfde hoogte als of dichtbij het niveau van het maaiveld, kan randisolatie toegepast worden om de warmteverliezen via deze vloeren te reduceren.

Het effect van deze randisolatie kan via een reductie van de U-waarde van de vloer op volle grond ingerekend worden in  $H_g^{\text{constructions}}$ . Inrekening in de U-waarde van de vloer op volle grond kan dan gebeuren volgens één van de volgende twee procedures:

- via de procedure zoals beschreven in § F.2.2, of
- via een gevalideerde numerieke berekening van de lineaire warmtedoorgangscoefficiënt van de randisolatie.

In het tweede geval moet de resulterende U-waarde van de vloer op volle grond als volgt berekend worden:

$$\text{Eq. 99} \quad U_f = U_{f,0} + 2 \Psi_{e,edge}/B' \quad (\text{W}/(\text{m}^2 \cdot \text{K}))$$

met:

$U_{f,0}$  de U-waarde van de vloer op volle grond, exclusief randisolatie, in  $\text{W}/(\text{m}^2 \cdot \text{K})$ .  $U_{f,0}$  mag bepaald worden volgens de vereenvoudigde methodes van § 15.2, volgens de analytische methodes in § F.2.2 of via een gevalideerde numerieke berekening, maar altijd zonder randisolatie in te rekenen;

$\Psi_{e,edge}$  de lineaire warmtedoorgangscoefficiënt van de randisolatie, volgend uit een gevalideerde numerieke berekening, in  $\text{W}/(\text{m} \cdot \text{K})$ ;

$B'$  de karakteristieke afmeting van de vloer, zoals vastgelegd in § F.1, in m.

De randisolatie moet ononderbroken aanwezig zijn over de volledige perimeter van de aaneengesloten vloer op volle grond. Indien dit niet het geval is, kan randisolatie niet ingerekend worden in de U-waarde van deze vloer.

Een uitzondering is toegestaan indien randisolatie over minstens 85% van de perimeter van de aaneengesloten vloer op volle grond aanwezig is en over deze perimeter maximaal 15 keer onderbroken wordt. Enkel in dit geval kan de U-waarde berekend worden als

$$\text{Eq. 100 } U_f = (1 - (p+N/100)) * U_{f,100\%} + (p+N/100) * U_{f,0} \quad (\text{W}/(\text{m}^2 \cdot \text{K}))$$

met:

$U_{f,0}$  de U-waarde van de vloer op volle grond, exclusief randisolatie, in  $\text{W}/(\text{m}^2 \cdot \text{K})$ ;

$U_{f,100\%}$  de U-waarde van de vloer op volle grond, inclusief randisolatie over de volledige perimeter, in  $\text{W}/(\text{m}^2 \cdot \text{K})$ ;

$N$  het aantal onderbrekingen van de randisolatie langsheen de perimeter;

$p$  de fractie van de perimeter waar geen randisolatie aanwezig is, (-);

De bouwknoop van de funderingsaanzet van een vloer op volle grond moet altijd ingerekend worden in  $H_g^{\text{junctions}}$ . Indien er ook randisolatie aanwezig is, gebeurt de beoordeling van de bouwknoop van de funderingsaanzet als volgt:

- In het geval van de basisregels uit bijlage VIII bij het Energiebesluit: de basisregels blijven onverminderd van toepassing.
- In het geval van een gevalideerde numerieke berekening van de  $\Psi_e$ -waarde van de funderingsaanzet:
  - indien randisolatie ingerekend wordt in de U-waarde van de vloer op volle grond via één van de twee hierboven beschreven procedures: de  $\Psi_e$ -waarde van de funderingsaanzet mag het effect van de randisolatie niet bevatten;
  - indien randisolatie niet ingerekend wordt in de U-waarde van de vloer op volle grond: de  $\Psi_e$ -waarde van de funderingsaanzet mag maar moet niet het effect van de randisolatie bevatten.

## 16 Warmteoverdrachtscoëfficiënt door transmissie doorheen de bouwknopen ( $H_T^{\text{junctions}}$ )

De warmteoverdrachtscoëfficiënten door transmissie doorheen de bouwknopen ( $H_D^{\text{junctions}}$ ,  $H_G^{\text{junctions}}$  en  $H_U^{\text{junctions}}$ ) worden gebundeld in  $H_T^{\text{junctions}}$ :

$$\text{Eq. 47} \quad H_T^{\text{junctions}} = H_D^{\text{junctions}} + H_G^{\text{junctions}} + H_U^{\text{junctions}} \quad \text{W/K}$$

Dit betekent dat de totale warmteoverdrachtscoëfficiënt door transmissie  $H_T$  ook kan geformuleerd worden als:

$$\begin{aligned} \text{Eq. 48} \quad H_T &= \left( H_D^{\text{constructiëns}} + H_G^{\text{constructiëns}} + H_U^{\text{constructiëns}} \right) + H_T^{\text{junctions}} \\ &= H_T^{\text{constructiëns}} + H_T^{\text{junctions}} \end{aligned} \quad \text{W/K}$$

De term  $H_T^{\text{junctions}}$  dient bepaald te worden volgens bijlage VIII bij het Energiebesluit.

### 16.1 Temperatuurreductiefactor van AOR's, kruipruimten en onverwarmde kelders

De temperatuurreductiefactoren die in bijlage VIII bij het Energiebesluit van toepassing zijn op warmtedoorgangscoefficienten van lineaire en puntbouwknopen, worden samengevat in Tabel [8]. De waarde van de temperatuurreductiefactor is afhankelijk van de gekozen rekenmethode. Voor eenzelfde omgeving kan slechts een rekenmethode gekozen worden, hetzij de eenvoudige, hetzij de gedetailleerde. De reductiefactor die op deze manier berekend wordt, dient consistent gebruikt te worden in verdere berekeningen.



Tabel [8]: Temperatuurreductiefactor voor aangrenzende onverwarmde ruimtes, onverwarmde kelders en kruipruimten (-)

	Eenvoudige rekenmethode	Gedetailleerde rekenmethode
<b>Aangrenzende onverwarmde ruimte</b>	$b = 1$	$b = \frac{H_{ue}}{H_{ue} + H_{iu}}$ zie § 14
<b>Kruipruimte</b>	$b = b_u$ Tabel [7] van § 15.2.2	$b = \frac{U_i}{U_{eq,f,i}}$ <p>met <math>U_{eq,f,i}</math> de equivalente U-waarde van bouwelement <math>i</math> tussen de binnenomgeving en de onverwarmde kruipruimte, bepaald volgens Eq. 46 uit § 15.2.2, en met <math>U_i = U</math> volgens § F.2.3 (stap 7)</p>
<b>Onverwarmde kelder</b>	$b = b_u$ Tabel [7] van § 15.2.2	$b = \frac{U_i}{U_{eq,f,i}}$ <p>met <math>U_{eq,f,i}</math> de equivalente U-waarde van bouwelement <math>i</math> tussen de binnenomgeving en de onverwarmde kelder, bepaald volgens Eq. 46 uit § 15.2.2, en met <math>U_i = U</math> volgens § F.2.4 (stap 6)</p>

## 17 Peil van globale warmte-isolatie (K-peil)

In deze paragraaf kan de term "gebouw" zowel betrekking hebben op "het gebouw in zijn geheel" als op "een deel van een gebouw". Een deel van een gebouw kan bij wijze van voorbeeld zijn: een uitbreiding, een gedeeltelijke herbouw, een industriële hall,... waarvoor een aparte K-peil eis geldt.

### 17.1 Volumecompactheid van een gebouw

De volumecompactheid van een gebouw wordt gegeven door de verhouding van het volume tot de verliesoppervlakte:

$$\text{Eq. 49} \quad C = \frac{V}{A_T} \quad \text{m}$$

waarin:

$V$  het volume van het gebouw op basis van de buitenafmetingen, in  $\text{m}^3$ , bepaald volgens § 12.2.3;

$A_T$  de totale verliesoppervlakte van het gebouw op basis van de buitenafmetingen, in  $\text{m}^2$ , bepaald volgens § 12.2.2.

### 17.2 Gemiddelde warmtedoorgangscoefficiënt van een gebouw

De gemiddelde warmtedoorgangscoefficiënt  $U_m$  van een gebouw is de verhouding van de totale warmteoverdrachtscoefficient tot de verliesoppervlakte:

$$\text{Eq. 50} \quad U_m = \frac{H_T}{A_T} \quad \text{W}/(\text{m}^2 \cdot \text{K})$$

waarin:

$H_T$  de warmteoverdrachtscoefficient van het gebouw, in  $\text{W}/\text{K}$ , berekend volgens § 12.1;

$A_T$  de totale verliesoppervlakte van het gebouw op basis van de buitenafmetingen, in  $\text{m}^2$ , bepaald volgens § 12.2.2.

Voor  $H_T$  wordt de waarde bij winteromstandigheden beschouwd.

### 17.3 Peil van globale warmte-isolatie (K-peil)

Het peil van de globale warmte-isolatie van een gebouw wordt gegeven door de verhouding van de gemiddelde warmtedoorgangscoefficiënt tot een referentiewaarde, vermenigvuldigd met 100:

$$\text{Eq. 51} \quad K = 100 \cdot \frac{U_m}{U_{m,\text{ref}}} \quad (-)$$

waarin:

$U_m$  de gemiddelde warmtedoorgangscoefficiënt van het gebouw, in  $\text{W}/(\text{m}^2 \cdot \text{K})$ , berekend volgens § 17.2;

$U_{m,ref}$  de referentiewaarde voor de gemiddelde warmtedoorgangscoefficiënt, in  $W/(m^2.K)$ , zoals hieronder vastgelegd.

De volgens Eq. 51 gevonden waarde dient afgerond te worden tot op een geheel getal, waarbij naar boven wordt afgerond wanneer het deel na de komma van de volgens Eq. 51 gevonden waarde exact gelijk is aan een half (...5000...). In de communicatie laat men het getal voorafgaan door de hoofdletter K.

De referentiewaarde voor de gemiddelde warmtedoorgangscoefficiënt  $U_{m,ref}$  wordt bepaald als volgt:

**Eq. 52** voor  $C \leq 1$ :  $U_{m,ref} = 1$   
voor  $1 < C < 4$ :  $U_{m,ref} = (C + 2)/3$   
voor  $4 \leq C$ :  $U_{m,ref} = 2$   $W/(m^2.K)$

waarin:

C de volumecompactheid, in m, zoals gedefinieerd in § 17.1.

## Bijlage A Bepaling van de warmtegeleidbaarheid ( $\lambda$ -waarde) en van de warmteweerstand (R-waarde) van bouwmaterialen

### A.1 Algemeen

De principes van huidige paragraaf zijn geldig zowel voor de bepaling van de warmtegeleidbaarheid als voor de bepaling van de warmteweerstand. Maar om de tekst leesbaar te houden wordt in de huidige paragraaf enkel over warmtegeleidbaarheid gesproken. Voor de bepaling van de warmteweerstand dient enkel overal "warmtegeleidbaarheid" door "warmteweerstand" vervangen te worden, en " $\lambda$ " door "R"

Als rekenwaarde van de warmtegeleidbaarheid wordt die waarde gebruikt waarbij rekening gehouden wordt met de te verwachten temperatuur en vochtgehalte in het materiaal. Zo worden afhankelijk van de binnen- en de buitenomstandigheden de volgende rekenwaarden gedefinieerd:

- De  $\lambda_{ui}$ -waarde stemt overeen met de binnenomstandigheden en moet gebruikt worden voor materialen in binnenwanden en in buitenwanden in zoverre deze noch door regenindringing, noch door blijvende inwendige of oppervlaktecondensatie, noch door opstijgend grondvocht nat kunnen worden. De  $\lambda_{ui}$ -waarde mag niet gebruikt worden voor materialen die dampdicht ingebouwd worden en die vocht kunnen bevatten (bv. bouwvocht of neerslagwater).
- De  $\lambda_{ue}$ -waarde stemt overeen met de buitenomstandigheden en moet worden gebruikt voor alle materialen in buitenwanden, die door regeninslag, blijvende inwendige of oppervlaktecondensatie of door opstijgend grondvocht nat kunnen worden. De  $\lambda_{ue}$ -waarde moet eveneens gebruikt worden voor dampdicht ingebouwde materialen die tijdens de uitvoering nat zijn.

Voor isolatieproducten en andere producten waarvoor de  $\lambda$ -waarde een belangrijke eigenschap is, wordt de  $\lambda_U$ -rekenwaarde als volgt bepaald. In een eerste stap wordt een  $\lambda_{STEP1}$ -waarde bepaald onder de hieronder beschreven omstandigheden. In een tweede stap wordt de variabiliteit van een in-situ-vorming van het product in rekening gebracht. Vervolgens wordt er op basis van die waarde in een derde stap de  $\lambda_U$ -rekenwaarde bepaald.

#### Eerste stap:

De waarde van de warmtegeleidbaarheid in dit gedeelte,  $\lambda_{STEP1}$  genoemd, wordt bepaald volgens de principes die aangegeven zijn in de norm NBN EN ISO 10456 en voldoet aan de volgende voorwaarden:

- gemeten bij een gegeven referentietemperatuur en -vochtigheid, volgens de meetmethodes van NBN EN 1934, NBN EN ISO 8990, NBN EN 12664, NBN EN 12667 of NBN EN 12939. De temperatuur wordt in dit gedeelte op 10°C vastgelegd;
- uitgedrukt door een fractiel met een betrouwbaarheidsgraad vastgelegd in dit gedeelte op 90/90 (m.a.w. met een waarschijnlijkheid van 90 % wordt gesteld dat 90 % van de productie een  $\lambda$ -waarde heeft die kleiner dan of gelijk aan de gedeclareerde waarde  $\lambda_{STEP1}$  is);
- overeenkomend met een redelijke levensduur in normale omstandigheden. De mogelijke veroudering van het materiaal moet dus in rekening gebracht worden, deze is gedefinieerd in de productnorm, in de ETAG (European Technical Approval Guideline volgens richtlijn 89/106/CEE) of in de EAD (European Assessment Document volgens verordening (EU) n°305/2011) van het betreffende product voor zover een van deze bestaat. In andere gevallen mogen de overheden de toe te passen verouderingsmethode bepalen.

NOTA Voor in situ gevormde materialen (dit zijn materialen gevormd - naar samenstelling en/of afmetingen - op de plaats van toepassing, bijvoorbeeld

op de bouwplaats) betreft de genoemde betrouwbaarheid met betrekking tot de productie ook de variabiliteit eigen aan een in-situ-vorming van het bouw materiaal. Deze betrouwbaarheidsgraad omvat dus alle mogelijke variaties die eigen zijn aan een in-situ-vorming bij een correcte uitvoering volgens de toepassingsvoorwaarden van het product of het materiaal (Wanneer hier niet aan wordt voldaan, wordt een correctiefactor  $f_{in\ situ}$  verschillend van 1 in de tweede stap toegepast).

De beïnvloedende factoren zijn bijvoorbeeld (afhankelijk van de aard van het materiaal): variabiliteit van de eigenschappen van de grondstoffen van het product, invloed van klimatologische omstandigheden, variabiliteit in de dosering van de grondstoffen, ijking en regeling van de productie-eenheid, lengte van de buizen voor inblazen, injectie of projectie van het product, impact van de bekwaamheid/ervaring van de uitvoerder, enz.

#### Tweede stap:

Voor in situ gevormde materialen (zie de NOTA hierboven) wordt  $\lambda_{STEP2}$  berekend volgens Eq. 116 op basis van de  $\lambda_{STEP1}$ -waarde, bepaald overeenkomstig de hierboven vermelde voorwaarden. Voor in de fabriek vervaardigde materialen geldt  $\lambda_{STEP2} = \lambda_{STEP1}$ .

$$\text{Eq. 116 } \lambda_{STEP2} = f_{in\ situ} \cdot \lambda_{STEP1} \quad W/(m.K)$$

met:

$f_{in\ situ}$  de correctiefactor met betrekking tot de variabiliteit eigen aan een in-situ-vorming, (-);

$\lambda_{STEP1}$  de waarde van de warmtegeleidbaarheid in de eerste stap, in W/(m.K).

Voor  $f_{in\ situ}$  worden de waardes van Tabel [9] toegepast. Enkel wanneer de variabiliteit eigen aan een in-situ-vorming volledig in rekening gebracht is in de eerste stap (zie de NOTA hierboven), is  $f_{in\ situ}$  gelijk aan 1.

NOTA Het is niet vaststaand dat de volledige variabiliteit in rekening werd gebracht in de in het kader van de CE-markering gedeclareerde  $\lambda_D$ -waarde van in situ gevormde materialen (voor zover deze markering bestaat).

**Tabel [9]: Tabelwaarden van de correctiefactor voor in situ gevormde materialen**

Type	Materiaal	Correctiefactor $f_{in\ situ}$
A. Materialen waarvoor de in-situ-vorming enkel de uitgevoerde afmetingen betreft (1)	Vlokken uit minerale wol (MW) of cellulose	1,05
	Korrels uit geëxpandeerd polystyreen (EPS), geëxpandeerde perliet (EPB), geëxfolieerde vermiculiet, geëxpandeerde klei, geëxpandeerde kurk of glasschuim	
	Riet, stro	
	Andere	
B. Materialen waarvoor de in-situ-vorming ook de samenstelling betreft (bijvoorbeeld de verhouding van de componenten of de chemische samenstelling)	Korrels uit geëxpandeerd polystyreen (EPS) gebonden met lijm	1,05
	Polyurethaanschuim (PUR-PIR)	1,10
	Fenolschuim (PF)	
	Ureumformaldehydeschuim (UF)	
	Licht beton en mortel met lichte isolerende granulaten (2) mits $\rho < 1600\text{ kg/m}^3$	
	Andere	
<p>(1) Bijvoorbeeld isolatiematerialen in bulk, bestaande uit één component en geplaatst door inblazen, gieten ... .</p> <p>(2) Bijvoorbeeld schuim- of cellenbeton; beton of mortel met geëxpandeerde klei, vermiculiet, perliet, polystyreen; met kurk, hennep of andere plantaardige granulaten enz.</p>		

**Derde stap:**

De **rekenwaarde van de warmtegeleidbaarheid ( $\lambda_U$ )** wordt bepaald via de in norm NBN EN ISO 10456 beschreven methodologie. Op basis van de  $\lambda_{STEP2}$ -waarde, bepaald overeenkomstig de hierboven vermelde voorwaarden, wordt ze als volgt berekend:

$$\text{Eq. 117 } \lambda_U = \lambda_{STEP2} \cdot e^{f_u (u_2 - u_1)} \text{ of } \lambda_U = \lambda_{STEP2} \cdot e^{f_\Psi (\Psi_2 - \Psi_1)} \quad \text{W/(m.K)}$$

met:

$f_u$  of  $f_\Psi$  conversiecoëfficiënten met betrekking tot het vochtgehalte  $u$  of  $\Psi$ , in kg/kg ( $f_u$ ) of in  $\text{m}^3/\text{m}^3$  ( $f_\Psi$ );

$u_1$  of  $\Psi_1$  het vochtgehalte van de eerste set omstandigheden (eerste stap), in kg/kg ( $u_1$ ) of in  $\text{m}^3/\text{m}^3$  ( $\Psi_1$ );

$u_2$  of  $\Psi_2$  het vochtgehalte van de tweede set omstandigheden (tweede stap), in kg/kg ( $u_2$ ) of in  $\text{m}^3/\text{m}^3$  ( $\Psi_2$ );

$\lambda_{STEP2}$  de waarde van de warmtegeleidbaarheid in de tweede stap, in W/(m.K).

Voor de omstandigheden van de derde stap wordt onderscheid gemaakt tussen:

- $\lambda_{Vi}$  = binnentoepping overeenstemmend met een vochtgehalte  $u_{23,50}$  (= evenwichtsvochtgehalte bij 23°C en relatieve vochtigheid van 50%);
- $\lambda_{Ve}$  = buitentoepping overeenstemmend met een vochtgehalte overeenkomend met 75% van het kritisch vochtgehalte (verzadiging) bij 20°C.

De waarden van het vochtgehalte ( $u$ , in kg/kg, of  $\psi$ , in  $m^3/m^3$ ) en van de conversiecoëfficiënten ( $f_u$  en  $f_\psi$ ) worden bepaald overeenstemmend met de in norm NBN EN ISO 10456 beschreven methodologie:

- Ofwel wordt er van reële productgegevens gebruik gemaakt, bepaald in overeenstemming met de norm;
- Ofwel wordt er van waarden bij ontstentenis gebruik gemaakt: ofwel uit de norm NBN EN ISO 10456, ofwel (voor een aantal steenachtige materialen) uit bijlage C van deze tekst.

De  $\lambda_V$ -rekenwaarde van metselwerkelementen moet bepaald worden volgens de specificaties van norm NBN EN 1745, rekening houdend met de hieronder beschreven voorwaarden.

Waarden bij ontstentenis van de warmtegeleidbaarheid van verschillende materialen worden in de tabellen van paragraaf A.2. vermeld.

NOTA 1 Voor de isolatieproducten van dezelfde materialen als diegene die vermeld zijn in tabel A.14a (in de fabriek vervaardigde isolatiematerialen leidt de toepassing van bovenstaande regels tot het resultaat dat de  $\lambda_{Vi}$ -waarde (voor binnentoepping) gelijk is aan de in het kader van de CE-markering gedeclareerde  $\lambda_D$ -waarde.

NOTA 2 Voor metselwerkelementen (baksteen, betonblokken,...) worden waarden bij ontstentenis van de warmtegeleidbaarheid  $\lambda_V$  in tabellen A.3 tot A.8 vermeld, en worden waarden bij ontstentenis van de warmteweerstand  $R_V$  in tabel B.1 (twee eerste categorieën) vermeld. Voor het volledige metselwerk (inclusief de voegen uit mortel) moet ook met de invloed van de voegen rekening gehouden worden, vermits deze vooral bij het gebruik van lichte blokken niet verwaarloosbaar is (zie bijlage G.3.1).

NOTA 3 Tabellen A.3 tot A.8 zijn zowel op volle als op geperforeerde metselwerkelementen van toepassing. In geval van geperforeerde metselwerkelement wordt de volumemassa op de hele blokken bepaald en bevat dus de perforaties, zie voorbeeld in bijlage G.3.2.

## A.2 Tabellen met waarden bij ontstentenis voor de warmtegeleidbaarheden van homogene of gelijkgestelde bouwmaterialen

De tabellen in deze paragraaf geven waarden bij ontstentenis die steeds gebruikt mogen worden voor de transmissieberekeningen in het kader van de energieprestatieregelgeving. Ze zijn echter niet zonder meer geldig voor het berekenen van de isolatie van technische installaties. De tabellen vermelden  $\lambda_U$  - waarden. Per definitie houden  $\lambda_U$  - waarden reeds rekening met veroudering, vochtigheid, in-situ-variabiliteit en dergelijke (zie § A.1).

Als de volumemassa in onderstaande tabellen aangegeven wordt in een kolom voor de kolom van de warmtegeleidbaarheid, dan betekent ze een voorwaarde die nagekomen moet worden opdat de waarde bij ontstentenis geldig is. Als de volumemassa in onderstaande tabellen aangegeven wordt in een kolom na de kolom van de warmtegeleidbaarheid, dan betekent ze een nuttige informatie voor de bepaling van de volumemassa van de constructie-elementen.

### A.2.1 Metalen

Tabel A.1: Metalen

Materiaal	$\lambda_{Ui}$ W/ (m.K)	$\lambda_{Ue}$ W/ (m.K)	Massawarmte <i>c</i> J/ (kg.K)	Volumemassa $\rho$ kg/m <sup>3</sup>
Lood	35	35	130	11300
Koper	380	380	380	8900
Geelkoper (messing)	120	120	380	8400
Staal	50	50	450	7800
Roestvast staal (1)	17	17	460	7900
Aluminium 99%	160	160	880	2800
Gietijzer	50	50	450	7500
Zink	110	110	380	7200
Brons	65	65	380	8700
<i>(1) austenitisch of austenitisch-ferritisch staal</i>				



## A.2.2 Natuursteen

Tabel A.2: Natuursteen

Materiaal	$\lambda_{\text{ui}}$ W/ (m.K)	$\lambda_{\text{ue}}$ W/ (m.K)	Volumemassa $\rho$ kg/m <sup>3</sup>
Zware steen (graniet, gneis, basalt, porfier)	3,50	3,50	$2700 \leq \rho \leq 3000$
"Petit granit" (blauwe steen), kalksteen	2,91	3,50	2700
Marmer	2,91	3,50	2800
Leien	2,20	2,20	$2000 \leq \rho \leq 2800$
Harde steen	2,21	2,68	2550
Vaste steen	1,74	2,09	2350
Kalkzandsteen	2,30	2,30	2600
Halfvaste steen (o.a. breuksteen)	1,40	1,69	2200
<i>De massawarmte c bedraagt 1000 J/(kg.K)</i>			

## A.2.3 Elementen van metselwerk

Tabel A.3 - Stenen van gebakken aarde

Volumemassa $\rho$ kg/m <sup>3</sup>	$\lambda_{\text{ui}}$ W/ (m.K)	$\lambda_{\text{ue}}$ W/ (m.K)
$\rho \leq 700$	0,22	0,43
$700 < \rho \leq 800$	0,25	0,49
$800 < \rho \leq 900$	0,28	0,56
$900 < \rho \leq 1000$	0,32	0,63
$1000 < \rho \leq 1100$	0,35	0,70
$1100 < \rho \leq 1200$	0,39	0,77
$1200 < \rho \leq 1300$	0,42	0,84
$1300 < \rho \leq 1400$	0,47	0,93
$1400 < \rho \leq 1500$	0,51	1,00
$1500 < \rho \leq 1600$	0,55	1,09
$1600 < \rho \leq 1700$	0,60	1,19
$1700 < \rho \leq 1800$	0,65	1,28
$1800 < \rho \leq 1900$	0,71	1,40
$1900 < \rho \leq 2000$	0,76	1,49
$2000 < \rho \leq 2100$	0,81	1,61
<i>De massawarmte c bedraagt 1000 J/(kg.K)</i>		

**Tabel A.4 - Stenen/blokken van kalkzandsteen**

Volumemassa $\rho$ kg/m <sup>3</sup>	$\lambda_{0i}$ W/(m.K)	$\lambda_{0e}$ W/(m.K)
$\rho \leq 900$	0,36	0,78
$900 < \rho \leq 1000$	0,37	0,81
$1000 < \rho \leq 1100$	0,40	0,87
$1100 < \rho \leq 1200$	0,45	0,97
$1200 < \rho \leq 1300$	0,51	1,11
$1300 < \rho \leq 1400$	0,57	1,24
$1400 < \rho \leq 1500$	0,66	1,43
$1500 < \rho \leq 1600$	0,76	1,65
$1600 < \rho \leq 1700$	0,87	1,89
$1700 < \rho \leq 1800$	1,00	2,19
$1800 < \rho \leq 1900$	1,14	2,49
$1900 < \rho \leq 2000$	1,30	2,84
$2000 < \rho \leq 2100$	1,49	3,25
$2100 < \rho \leq 2200$	1,70	3,71
<i>De massawarmte c bedraagt 1000 J/(kg.K)</i>		

**Tabel A.5: Betonmetselblokken met gewone aggregaten**

Volumemassa $\rho$ kg/m <sup>3</sup>	$\lambda_{0i}$ W/(m.K)	$\lambda_{0e}$ W/(m.K)
$\rho \leq 1600$	1,07	1,39
$1600 < \rho \leq 1700$	1,13	1,47
$1700 < \rho \leq 1800$	1,23	1,59
$1800 < \rho \leq 1900$	1,33	1,72
$1900 < \rho \leq 2000$	1,45	1,88
$2000 < \rho \leq 2100$	1,58	2,05
$2100 < \rho \leq 2200$	1,73	2,24
$2200 < \rho \leq 2300$	1,90	2,46
$2300 < \rho \leq 2400$	2,09	2,71
<i>De massawarmte c bedraagt 1000 J/(kg.K)</i>		

**Tabel A.6 - Betonstenen van geëxpandeerde klei**

Volumemassa $\rho$ kg/m <sup>3</sup>	$\lambda_{\text{ui}}$ W/(m.K)	$\lambda_{\text{ue}}$ W/(m.K)
$\rho \leq 400$	0,14	(1)
$400 < \rho \leq 500$	0,18	(1)
$500 < \rho \leq 600$	0,21	0,28
$600 < \rho \leq 700$	0,25	0,33
$700 < \rho \leq 800$	0,30	0,39
$800 < \rho \leq 900$	0,33	0,44
$900 < \rho \leq 1000$	0,38	0,50
$1000 < \rho \leq 1100$	0,43	0,57
$1100 < \rho \leq 1200$	0,49	0,65
$1200 < \rho \leq 1300$	0,55	0,73
$1300 < \rho \leq 1400$	0,61	0,80
$1400 < \rho \leq 1500$	0,67	0,88
$1500 < \rho \leq 1600$	0,75	0,99
$1600 < \rho \leq 1700$	0,83	1,10
<p><i>De massawarmte <math>c</math> bedraagt 1000 J/(kg.K)</i></p> <p><i>(1) De directe blootstelling van deze materialen aan de buiten-klimaatomstandigheden verdient over het algemeen geen aanbeveling.</i></p>		

**Tabel A.7 - Betonstenen met andere lichtgewicht toeslag**

Volumemassa $\rho$ kg/m <sup>3</sup>	$\lambda_{\text{ui}}$ W/(m.K)	$\lambda_{\text{ue}}$ W/(m.K)
$\rho \leq 500$	0,30	(1)
$600 < \rho \leq 700$	0,37	0,47
$700 < \rho \leq 800$	0,41	0,52
$800 < \rho \leq 900$	0,46	0,58
$900 < \rho \leq 1000$	0,51	0,65
$1000 < \rho \leq 1100$	0,57	0,73
$1100 < \rho \leq 1200$	0,64	0,82
$1200 < \rho \leq 1300$	0,72	0,91
$1300 < \rho \leq 1400$	0,82	1,04
$1400 < \rho \leq 1500$	0,92	1,17
$1500 < \rho \leq 1600$	1,03	1,31
$1600 < \rho \leq 1800$	1,34	1,70
<p><i>De massawarmte <math>c</math> bedraagt 1000 J/(kg.K)</i></p> <p><i>(1) De directe blootstelling van deze materialen aan de buiten-klimaatomstandigheden verdient over het algemeen geen aanbeveling.</i></p>		

**Tabel A.8 - Geautoclaveerde cellenbetonblokken**

Volumemassa $\rho$ kg/m <sup>3</sup>	$\lambda_{\text{ui}}$ W/(m.K)	$\lambda_{\text{ue}}$ W/(m.K)
$\rho \leq 300$	0,10	(1)
$300 < \rho \leq 400$	0,13	(1)
$400 < \rho \leq 500$	0,16	(1)
$500 < \rho \leq 600$	0,20	0,32
$600 < \rho \leq 700$	0,22	0,36
$700 < \rho \leq 800$	0,26	0,42
$800 < \rho \leq 900$	0,29	0,48
$900 < \rho \leq 1000$	0,32	0,52
De massawarmte $c$ bedraagt 1000 J/(kg.K)		
(1) De directe blootstelling van deze materialen aan de buiten-klimaatomstandigheden verdient over het algemeen geen aanbeveling.		

**A.2.4 Steenachtige bouwdelen zonder voegen (volle wanden, vloerplaten,...)****Tabel A.9 - Zwaar normaal beton**

Materiaal	$\lambda_{\text{ui}}$ W/(m.K)	$\lambda_{\text{ue}}$ W/(m.K)	Volumemassa $\rho$ kg/m <sup>3</sup>
Zwaar normaal beton, gewapend	1,70	2,20	2400
Zwaar normaal beton, ongewapend	1,30	1,70	2200
De massawarmte $c$ bedraagt 1000 J/(kg.K)			

**Tabel A.10 - Licht beton in volle platen (2) of in deklaag (beton van geëxpandeerde klei, cellenbeton, slakkenbeton, vermiculietbeton, kurkbeton, perlietbeton, polystyreenbeton, enz.)**

Indien voor deze producten  $\lambda$ -waarden vermeld worden in tabellen A.3 tot A.8, zullen deze laatste gebruikt worden. Zoniet zijn de onderstaande waarden van toepassing.

Volumemassa $\rho$ kg/m <sup>3</sup>	$\lambda_{U_i}$ W/(m.K)	$\lambda_{U_e}$ W/(m.K)
$\rho < 350$	0,12	(1)
$350 \leq \rho < 400$	0,14	(1)
$400 \leq \rho < 450$	0,15	(1)
$450 \leq \rho < 500$	0,16	(1)
$500 \leq \rho < 550$	0,17	(1)
$550 \leq \rho < 600$	0,18	(1)
$600 \leq \rho < 650$	0,20	0,31
$650 \leq \rho < 700$	0,21	0,34
$700 \leq \rho < 750$	0,22	0,36
$750 \leq \rho < 800$	0,23	0,38
$800 \leq \rho < 850$	0,24	0,40
$850 \leq \rho < 900$	0,25	0,43
$900 \leq \rho < 950$	0,27	0,45
$950 \leq \rho < 1\ 000$	0,29	0,47
$1\ 000 \leq \rho < 1\ 100$	0,32	0,52
$1\ 100 \leq \rho < 1\ 200$	0,37	0,58
$1\ 200 \leq \rho < 1\ 500$	0,60	0,90
$1\ 500 \leq \rho < 1\ 600$	0,85	1,20
$1\ 600 \leq \rho$	1,30	1,70
<p><i>De massawarmte <math>c</math> bedraagt 1000 J/(kg.K)</i></p> <p><i>(1) De directe blootstelling van deze materialen aan de buitenklimaatomstandigheden verdient over het algemeen geen aanbeveling.</i></p> <p><i>(2) In de gevallen waar de platen of panelen voorzien zijn van een wapening evenwijdig aan de richting van de warmtestroom (bv. beugels, traliewapening), zal de warmteoverdracht verrekend worden in de bepaling van de U-waarde, berekend volgens NBN EN 10211</i></p>		

## A.2.5 Gips, bepleisteringen

Tabel A.11 - Gips met of zonder lichte granulaten

Volumemassa $\rho$ kg/m <sup>3</sup>	$\lambda_{\text{ui}}$ W/(m.K)	$\lambda_{\text{ue}}$ W/(m.K)
$\rho \leq 800$	0,22	(1)
$800 < \rho \leq 1\ 100$	0,35	(1)
$1\ 100 < \rho$	0,52	(1)
<p><i>De massawarmte c bedraagt 1000 J/(kg.K)</i></p> <p>(1) <i>De directe blootstelling van deze materialen aan de buiten-klimaatomstandigheden verdient over het algemeen geen aanbeveling.</i></p>		

Tabel A.12: Beplesiteringen

Materiaal	$\lambda_{\text{ui}}$ W/(m.K)	$\lambda_{\text{ue}}$ W/(m.K)	Volumemassa $\rho$ kg/m <sup>3</sup>
Cementmortel	0,93	1,50	1900
Kalkmortel	0,70	1,20	1600
Gips	0,52	(1)	1300
<p><i>De massawarmte c bedraagt 1000 J/(kg.K)</i></p> <p>(1) <i>De directe blootstelling van deze materialen aan de buitenklimaatomstandigheden, met o.a. de kans op bevochtiging door de regen, verdient over het algemeen geen aanbeveling.</i></p>			

## A.2.6 Hout en houtderivaten

Tabel A.13 - Hout en houtderivaten

Materiaal	Volumemassa $\rho$ kg/m <sup>3</sup>	$\lambda_{0i}$ W/(m.K)	$\lambda_{0e}$ W/(m.K)	Massawarmte $c$ J/(kg.K)
Timmerhout van hard-, loof- en naaldhout	$\rho \leq 600$	0,13	0,15	1880
	$\rho > 600$	0,18	0,20	
Multiplexplaat	$\rho < 400$	0,09	0,11	1880
	$400 \leq \rho < 600$	0,13	0,15	
	$600 \leq \rho < 850$	0,17	0,20	
	$\rho \geq 850$	0,24	0,28	
Spaanplaat	$\rho < 450$	0,10	(1)	1880
	$450 \leq \rho < 750$	0,14	(1)	
	$\rho \geq 750$	0,18	(1)	
Cementgebonden vezelplaat	$\rho \leq 1200$	0,23	(1)	1470
OSB-plaat (oriented strand board)	$\rho \leq 650$	0,13	(1)	1880
Vezelplaat (inclusief MDF)	$< 375$	0,07	(1)	1880
	$375 \leq \rho < 500$	0,10	(1)	
	$500 \leq \rho < 700$	0,14	(1)	
	$\rho \geq 700$	0,18	(1)	
<i>(1) De directe blootstelling van deze materialen aan de buitenklimaatomstandigheden verdient over het algemeen geen aanbeveling.</i>				

## A.2.7 Isolatiematerialen

Tabel A.14a - In de fabriek vervaardigde isolatiematerialen

Materiaal	$\lambda_{0i}$ W/(m.K)	$\lambda_{0e}$ W/(m.K)	Massawarmte c J/(kg.K)
Kurk (ICB) - platen	0,050	(1)	1560
Minerale wol (MW)- platen of dekens	0,050	(1)	1030
Geëxpandeerd polystyreen (EPS)- platen	0,050	(1)	1450
Geëxtrudeerd polyethyleen (PEF) - platen	0,050	(1)	1450
Fenolschuim - bekleed (PF) - platen	0,045 (2)	(1)	1400
Polyurethaan - bekleed (PUR/PIR)	0,035	(1)	1400
Geëxtrudeerd polystyreen (XPS)	0,045	(1)	1450
Cellulair glas (CG)	0,055	(1)	1000
Perliet (EPB) - platen	0,060	(1)	900
Geëxpandeerde vermiculietplaten	0,090	(1)	900
In de fabriek vervaardigde celluloseplaten, mits $50 \leq \rho < 150$ kg/m <sup>3</sup>	0,060	(1)	1100
In de fabriek vervaardigde isolatieplaten of isolatiedekens op basis van plantaardige en/of dierlijke vezels, andere dan cellulose, en mits $50 \leq \rho < 150$ kg/m <sup>3</sup> (3) (4)	0,060	(1)	1100

(1) De directe blootstelling van deze materialen aan de buitenklimaatomstandigheden verdient over het algemeen geen aanbeveling.

(2) Voor de beklede isolatieplaten van fenolschuim met gesloten cellen, wordt deze waarde teruggebracht naar 0,030 W/(m.K)

(3) Bijvoorbeeld hennep, vlas, stro, pluimen, schapenwol, dons,... Strobalen vallen niet in deze categorie, maar worden behandeld in Tabel A.14b.

(4) Voor hogere densiteiten, zie tabel A.15



**Tabel A.14b - Niet in de fabriek vervaardigde isolatiematerialen met name in situ gevormde isolatiematerialen (1)**

<b>Materiaal</b>	$\lambda_{Ui}$ W/ (m.K)	$\lambda_{Ue}$ W/ (m.K)	<b>Massawarmte c</b> J/ (kg.K)
Minerale wol (MW)	0,070	(2)	1030
Geëxpandeerd polystyreen (EPS)	0,070	(2)	1450
Fenolschuim - (PF)	0,065	(2)	1400
Polyurethaan (PUR-PIR) (3)	0,055	(2)	1400
Geëxpandeerde perlietkorrels (EPB)	0,080	(2)	-
Geëxfolieerde vermiculietkorrels	0,110	(2)	1080
Cellulose	0,080	(2)	1100
Niet in de fabriek vervaardigde isolatiematerialen op basis van plantaardige en/of dierlijke vezels, andere dan cellulose (4) (5)	0,080	(2)	1100
Ureumformaldehydeschuim (UF)	0,075	(2)	1400
Geëxpandeerde kleikorrels	0,150	(2)	1000

(1) Deze materialen kunnen op verschillende manieren aangebracht worden, bijvoorbeeld (naargelang het geval) ingeblazen, geblazen, ingespoten, gespoten, gestort,...

(2) De directe blootstelling van deze materialen aan de buitenklimaatomstandigheden verdient over het algemeen geen aanbeveling.

(3) Voor in situ gespoten PUR-isolatiematerialen dient de warmteweerstand van de PUR-isolatielaag gecorrigeerd te worden volgens de regels uit § 7.3.

(4) Bijvoorbeeld hennep, vlas, stro, riet, kurkkorrels, pluimen, schapenwol, dons,... Strobalen vallen altijd in deze categorie.

(5) Slechts een beperkte dikte van het geplaatste riet als dakbedekking kan als ten allen tijde 'droog' beschouwd worden. De  $\lambda_{Ui}$  waarde mag bij riet daarom maximaal over 1/3 van de laagdikte toegepast worden.

## A.2.8 Verscheidene materialen

Tabel A.15 - Verscheidene materialen

Materiaal	$\lambda_{\text{Ui}}$ W/ (m.K)	$\lambda_{\text{Ue}}$ W/ (m.K)	Massawarmte c J/ (kg.K)	Volumemassa $\rho$ kg/m <sup>3</sup>
Glas	1,00	1,00	750	2500
Tegels van gebakken klei	0,81	1,00	1000	1700
Grèstegels	1,20	1,30	1000	2000
Rubber	0,17	0,17	1400	1500
Linoleum, PVC-tegels	0,19	-	1400	1200
Tapijt (textiel)	0,06	-	1300	200
Platen van met natuurlijke minerale vezels versterkt cement	0,35	0,50	1000	$1400 \leq \rho$ $\leq 1900$
Gietasfalt	0,70	0,70	1000	2100
Houtwolcementplaten, houtwolmagnesietplaten mits $300 \leq \rho < 900$ kg/m <sup>3</sup>	0,20	-	1500	$300 \leq \rho \leq 900$
In de fabriek vervaardigde isolatieplaten of isolatiedekens op basis van plantaardige en/of dierlijke vezels, mits $150 \leq \rho <$ $500 \text{ kg/m}^3$ (1)	0,20	-	1500	$150 \leq \rho \leq 500$
Bitumenmembraan	0,23	0,23	1000	1 100

(1) Bijvoorbeeld hennep, vlas, stro, pluimen, schapenwol, dons,...

## Bijlage B Warmteweerstand (R-waarde) van niet-homogene bouwmaterialen

Sommige wanden worden opgebouwd met grote elementen met holle delen (bv. holle betonblokken, holle bakstenen, gemengde materialen,...). Deze materialen kunnen niet gekenmerkt worden door een bepaalde warmtegeleidbaarheid. Van dergelijk materialen wordt de warmteweerstand  $R$  aangegeven, waarbij rekening dient gehouden te worden met de binnen- of buitenomstandigheden zoals gedefinieerd in bijlage A. De in rekening te brengen waarde van  $R$  wordt afgeleid uit metingen van de  $U$ -waarde overeenkomstig de bepalingen van NBN EN 8990. Alternatief kunnen de  $R$ -waarden berekend worden volgens de numerieke rekenmethode uit NBN EN ISO 10211.

In Tabel B.1 worden ook een aantal waarden bij ontstentenis van de warmteweerstand voor binnenomstandigheden gegeven.

**Tabel B.1 - Warmteweerstand en massawarmte van de niet-homogene materialen**

Materialen		Dikte/hoogte van de delen	$R_{Vi}$ $m^2 \cdot K/W$
Metselwerk van holle blokken van beton	Holle blokken van zwaar beton met $\rho > 1\,200 \text{ kg/m}^3$	$d = 14 \text{ cm}$	0,11
		$d = 19 \text{ cm}$	0,14
		$d = 29 \text{ cm}$	0,20
	Holle blokken van licht beton met $\rho \leq 1\,200 \text{ kg/m}^3$	$d = 14 \text{ cm}$	0,30
		$d = 19 \text{ cm}$	0,35
		$d = 29 \text{ cm}$	0,45
Vooraf vervaardigde ruwe vloerplaten van holle delen van gebakken klei	1 holte in de stroomrichting	$d = 8 \text{ cm}$	0.08
		$d = 12 \text{ cm}$	0.11
	2 holten in de stroomrichting	$d = 12 \text{ cm}$	0.13
		$d = 16 \text{ cm}$	0.16
		$d = 20 \text{ cm}$	0.19
Vooraf vervaardigde ruwe vloerplaten van zwaar beton (met holle delen)	$d = 12 \text{ cm}$	0,11	
	$d = 16 \text{ cm}$	0,13	
	$d = 20 \text{ cm}$	0,15	
Gipsplaten tussen twee lagen karton	$d < 1,4 \text{ cm}$	0,05	
	$d \geq 1,4 \text{ cm}$	0,08	
<i>De massawarmte <math>c</math> bedraagt <math>1000 \text{ J/(kg.K)}</math></i>			

## Bijlage C Waarden bij ontstentenis voor vochtgehalte en conversiefactoren voor steenachtige materialen

Tabel C.1 - Vochtgehalten en conversiefactoren voor steenachtige materialen

Materiaal	Volume-massa $\rho$ (kg/m <sup>3</sup> )	Vochtgehalte bij 23°C en 50% RV (NBN EN ISO 10456)		Vochtgehalte bij 20°C en 75% van het kritisch verzadigingsgetal		Conversiefactor voor vocht (NBN EN ISO 10456:2008)	
		$u_{2i}$ kg/kg	$\Psi_{2i}$ m <sup>3</sup> /m <sup>3</sup>	$u_{2e}$ kg/kg	$\Psi_{2e}$ m <sup>3</sup> /m <sup>3</sup>	$f_u$ kg/kg	$f_\Psi$ m <sup>3</sup> /m <sup>3</sup>
Metselwerk in gebakken aarde	700-2100	-	0,007	-	0,075	-	10
Metselwerk van kalkzandsteen	900-2200	-	0,012	-	0,090	-	10
Betonmetselwerk met gewone aggregaten	1600-2400	-	0,025	-	0,090	-	4
Betonmetselwerk van geëxpandeerde klei	400-1700	0,020	-	0,090	-	4	-
Betonmetselwerk met andere lichtgewicht toeslag	500-1800	-	0,030	-	0,090	-	4
Cellenbetonmetselwerk	300-1000	0,026	-	0,150	-	4	-
Polystyreenbeton	500-800	-	0,015	-	0,090	-	5
Mortel	250-2000	-	0,040	-	0,150	-	4

## Bijlage D Warmtedoorgangscoefficienten van raamprofielen ( $U_f$ -waarden): waarden bij ontstentenis

Deze bijlage is van toepassing voor verticaal opgestelde raamprofielen die voldoen aan de opgegeven criteria of voorwaarden. Voor alle andere raamprofielen dienen de  $U_f$ -waarden bepaald te worden zoals uitgelegd in § 9.2.1.

### D.1 Houten raamprofielen

De waarde bij ontstentenis voor de warmtedoorgangscoefficient  $U_f$  van een houten raamprofiel wordt berekend met de volgende formules, in functie van het houttype:

- voor type 1 ( $\lambda_v = 0,18$  W/(m.K)):

$$\text{Eq. 118 } U_f = 0,0000402 \cdot (d_f)^2 - 0,0188 \cdot d_f + 3,23 \quad \text{W/(m}^2 \cdot \text{K)}$$

- voor type 2 ( $\lambda_v = 0,16$  W/(m.K)):

$$\text{Eq. 119 } U_f = 0,0000383 \cdot (d_f)^2 - 0,0178 \cdot d_f + 3,04 \quad \text{W/(m}^2 \cdot \text{K)}$$

- voor type 3 ( $\lambda_v = 0,13$  W/(m.K)):

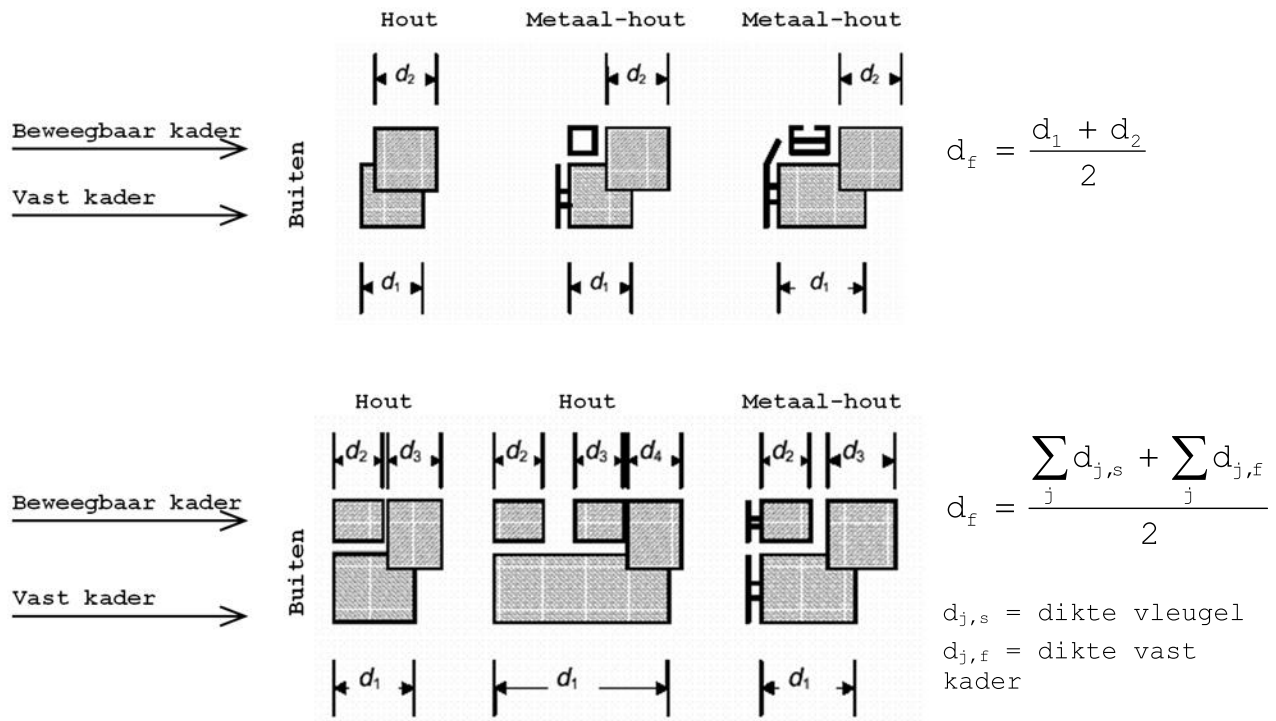
$$\text{Eq. 120 } U_f = 0,0000366 \cdot (d_f)^2 - 0,0166 \cdot d_f + 2,77 \quad \text{W/(m}^2 \cdot \text{K)}$$

met:

$d_f$  de raamprofiel dikte, bepaald als de gemiddelde dikte van de samenstellende raamprofielen (vast kader en vleugel), zoals getoond in Figuur [33], in mm.

Deze formules zijn enkel geldig voor raamprofiel diktes groter dan of gelijk aan 30 mm en kleiner dan of gelijk aan 170 mm. Als de raamprofiel dikte niet gekend is, wordt bij ontstentenis verondersteld dat  $d_f = 50$  mm.

Om te bepalen tot welk houttype een bepaalde houtsoort behoort, wordt Tabel D.4 gebruikt. Als de houtsoort niet gekend is, wordt verondersteld dat ze van type 1 is.

Figuur [33]: Definitie van de dikte  $d_f$  van verschillende houtprofielen.

Tabel D.4: Houttypes

Type 1 $\lambda_U = 0,18 \text{ W/(m.K)}$	Type 2 $\lambda_U = 0,16 \text{ W/(m.K)}$	Type 3 $\lambda_U = 0,13 \text{ W/(m.K)}$
Afzelia	Sapelli	Mahonie-Afrikaans
Calophyllum	Sipo	Larix
Blauwe gomboom	Tasmanian oak	Witte spar
Eucalyptus	Mengkulang	Light White Seraya
Merbau	Niangon	Grove den
Heavy White Seraya	Iroko	Oregon pine/Europese Douglas
Pometia Pinnata	Ocotea Rubra	Light Red Meranti
Eik	Dark Red Meranti	Mahonie-Amerikaans
Robinia	Teak	Idigbo
Loofhout niet elders vermeld in de tabel	Makoré	Hemlock
		Naalldhout niet elders vermeld in de tabel

**D.2 Metalen raamprofielen****D.2.1 Definities**

De warmteweerstand  $R_f$  van een metalen raamprofiel wordt gegeven door:

$$\text{Eq. 54} \quad R_f = \frac{1}{U_{f0}} - 0,17 \quad \text{m}^2 \cdot \text{K/W}$$

waarin:

$U_{f0}$  U-waarde van het raamprofiel, in  $\text{W}/(\text{m}^2 \cdot \text{K})$ , berekend alsof de ontwikkelde oppervlakte gelijk zou zijn aan de geprojecteerde oppervlakte (zie Tabel D.2)

De  $U_f$ -waarde van het metalen raamprofiel wordt gegeven door:

$$\text{Eq. 55} \quad U_f = \frac{1}{\left( \frac{R_{si} \cdot A_{f,i}}{A_{d,i}} + R_f + \frac{R_{se} \cdot A_{f,e}}{A_{d,e}} \right)} \quad \text{W}/(\text{m}^2 \cdot \text{K})$$

waarin:

$A_{d,i}$ ,  $A_{d,e}$ ,  $A_{f,i}$ ,  $A_{f,e}$  de oppervlaktes van de raamprofielen, in  $\text{m}^2$ , gedefinieerd in § 8.1.3,

$R_{si}$  warmteovergangsweerstand aan het binnenoppervlak van het raamprofiel, in  $\text{m}^2 \cdot \text{K/W}$ , bepaald volgens § 8.4.3 (of zie Tabel [1]);

$R_{se}$  warmteovergangsweerstand aan het buitenoppervlak van het raamprofiel, in  $\text{m}^2 \cdot \text{K/W}$ , bepaald volgens § 8.4.3 (of zie Tabel [1]);

$R_f$  de warmteweerstand van het raamprofiel, in  $\text{m}^2 \cdot \text{K/W}$ , berekend volgens Eq. 54.

**D.2.2 Metalen raamprofielen met thermische onderbreking**

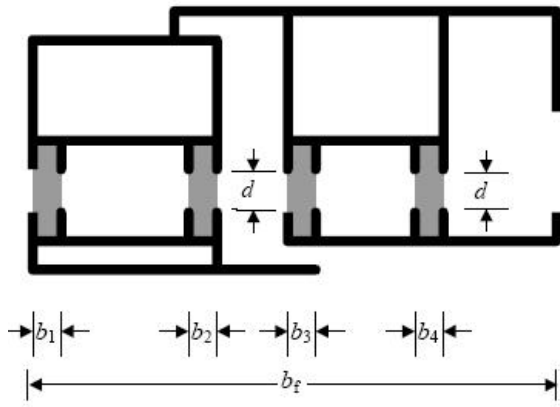
Een thermische onderbreking heeft tot doel om de metalen raamprofielgedelen aan de warme zijde van het raam thermisch te scheiden van de raamprofielgedelen aan de koude zijde.

In het geval van metalen raamprofielen met thermische onderbreking wordt de  $U_f$ -waarde beïnvloed door constructieve eigenschappen, zoals:

- de kleinste afstand  $d$  tussen de onderbroken metalen secties;
- de totale steegbreedte  $b$  van de thermische onderbrekingen zelf;
- de warmtegeleidbaarheid  $\lambda$  van het materiaal van de thermische onderbreking;
- de verhouding van de totale steegbreedte van de thermische onderbreking tot de totale geprojecteerde breedte van het raamprofiel.

In Tabel D.2 worden  $U_f$ -waarden gegeven die gebruikt kunnen worden voor de twee types van metalen raamprofielen die getoond zijn in Figuur [34] en in Figuur [35], en waarbij de volgende voorwaarden gelden:

**Figuur [34]: Sectie type 1: thermische onderbreking met  $0,2 < \lambda \leq 0,3 \text{ W/(m.K)}$**



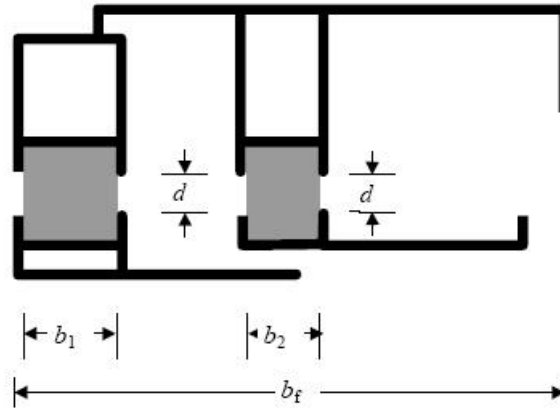
De thermische geleidbaarheid van het materiaal van de thermische onderbreking is zo dat:

$$0,2 < \lambda \leq 0,3 \text{ W/(m.K)}$$

- $d$  is de kleinste afstand tussen de door de onderbreking gescheiden metalen profielen
- $b_i$  is de steegbreedte van onderbreking  $j$
- $b_f$  is de breedte van het profiel

$$\sum_j b_j \leq 0,2 \cdot b_f$$

**Figuur [35]: Sectie type 2: thermische onderbreking met  $0,1 < \lambda \leq 0,2 \text{ W/(m.K)}$**



De thermische geleidbaarheid van het materiaal van de thermische onderbreking is zo dat:

$$0,1 < \lambda \leq 0,2 \text{ W/(m.K)}$$

- $d$  is de kleinste afstand tussen de door de onderbreking gescheiden metalen profielen
- $b_j$  is de steegbreedte van onderbreking  $j$
- $b_f$  is de breedte van het profiel

$$\sum_j b_j \leq 0,3 \cdot b_f$$



**Tabel D.2: Warmtedoorgangscoefficienten van metalen raamprofielen met thermische onderbreking,  $U_f$  in  $W/(m^2 \cdot K)$**

d (in mm): kleinste afstand tussen de thermisch onderbroken metalen raamprofielen	$U_{f0}$ $W/(m^2 \cdot K)$ (1)	$R_f$ $m^2 \cdot K/W$	$U_f$ $W/(m^2 \cdot K)$ (2)
8	3,56	0,11	4,51
10	3,36	0,13	4,19
12	3,18	0,14	3,91
14	3,08	0,15	3,76
16	2,96	0,17	3,59
18	2,85	0,18	3,43
20	2,75	0,19	3,28
22	2,70	0,20	3,21
24	2,60	0,21	3,07
26	2,58	0,22	3,04
28	2,55	0,22	3,00
30	2,53	0,23	2,97
32	2,52	0,23	2,96
34	2,51	0,23	2,95
36	2,50	0,23	2,93

(1)  $U_{f0}$  is de theoretische  $U_f$ -waarde van het raamprofiel indien de geprojecteerde en ontwikkelde profieloppervlaktes zowel aan de binnen- als de buitenzijde gelijk zijn, d.w.z. indien  $A_{f,i}/A_{d,i} = 1$  en  $A_{f,e}/A_{d,e} = 1$

(2) Als waarde bij ontstentenis voor de kleinste afstand  $d$  tussen de thermisch onderbroken profielen mag  $d = 10$  mm genomen worden. De  $U_f$ -waarden zijn enkel geldig indien de verhouding  $A_{f,i}/A_{d,i} \geq 0,50$ , zoniet dient een nauwkeurige berekening volgens NBN EN ISO 10077-2 uitgevoerd te worden

### D.2.3 Metalen raamprofielen zonder thermische onderbreking

Voor raamprofielen zonder thermische onderbreking geldt algemeen  $R_f = 0$   $m^2 \cdot K/W$  en  $U_{f0} = 5,90$   $W/(m^2 \cdot K)$ .

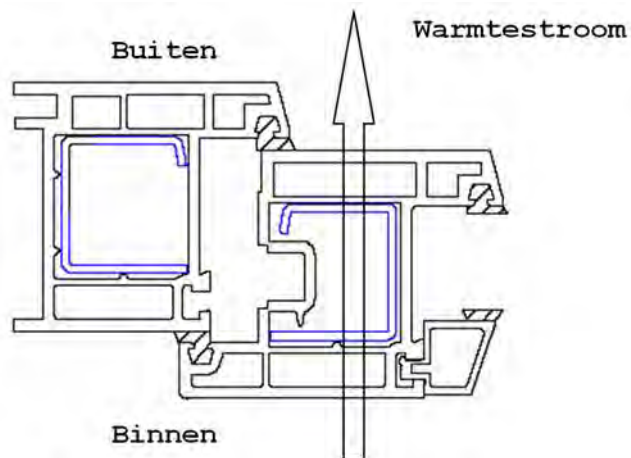
Naargelang van de oppervlakteverhoudingen  $A_{f,i}/A_{d,i}$  en  $A_{f,e}/A_{d,e}$  varieert de corresponderende  $U_f$ -waarde van metalen raamprofielen zonder thermische onderbreking, berekend volgens Eq. 55, tussen:

- $U_f = 5,9$   $W/(m^2 \cdot K)$  (voor  $A_{f,i}/A_{d,i} = 1$  en  $A_{f,e}/A_{d,e} = 1$ );
- $U_f = 9,0$   $W/(m^2 \cdot K)$  (voor de forfaitaire onderwaarden:  $A_{f,i}/A_{d,i} = 0,60$  en  $A_{f,e}/A_{d,e} = 0,82$ ).

### D.3 Kunststof raamprofielen


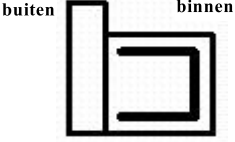

In Figuur [36] wordt een voorbeeld van een kunststof raamprofiel getoond, waarbij drie kamers in serie met de warmtestroom zijn geplaatst en waarvan de middelste kamer voorzien is van een metalen versterking.

**Figuur [36]: Kunststof raamprofiel met versterking en met 3 kamers in serie in de richting van de warmtestroom**



Tabel D.3 geeft benaderende  $U_f$ -waarden voor kunststof raamprofielen met metalen versterkingen. Indien geen andere gegevens gekend zijn, dan kunnen de waarden eveneens gebruikt worden voor raamprofielen zonder versterkingen.

**Tabel D.3: Warmtedoorgangscoefficienten van kunststof raamprofielen,  $U_f$  in  $W/(m^2.K)$**

Materiaalsoort en type van het raamprofiel		$U_f$ $W/(m^2.K)$ (1)
<b>PVC-raamprofiel</b>  minimum 5 mm tussen de wanden van elk van de kamers (2), bv: 	2 kamers (in serie met de warmtestroom) met of zonder versterking  	2,20
	3 kamers (in serie met de warmtestroom) met of zonder versterking  	2,00
	4 kamers (in serie met de warmtestroom) met of zonder versterking	1,80
	5 kamers (in serie met de warmtestroom) met of zonder versterking	1,60
<b>PUR-raamprofiel</b>	met metalen kern en minimum dikte van 5 mm PUR	2,80
(1) <u>Waarden bij ontstentenis voor kunststofraamprofielen:</u> <ul style="list-style-type: none"> <li>- materiaalsoort niet gekend: neem <math>U_f</math>-waarde voor PUR-raamprofiel</li> <li>- aantal kamers niet gekend: neem <math>U_f</math>-waarde voor 2 kamers</li> </ul> (2) Voor afstanden kleiner dan 5 mm dient de $U_f$ -waarde bepaald te worden volgens berekening (NBN EN ISO 10077-2) of meting (NBN EN 12412-2)		

## Bijlage E Lineaire warmtedoorgangscoefficiënt ( $\Psi$ -waarden) van de onderlinge aansluiting tussen raamprofielen, beglazingen, vulpanelen en raamstijlen.

### E.1 Algemeen

De  $U_g$ -waarde van beglazing en de  $U_p$ -waarde van vulpanelen zijn van toepassing voor het centraal gedeelte van de beglazing of het vulpaneel en omvat niet het effect van de afstandshouders aan de glas- of paneelranden. Anderzijds wordt de  $U_f$ -waarde van het raamprofiel bepaald voor profielen die niet van een beglazing voorzien zijn.

De lineaire warmtedoorgangscoefficiënt ( $\Psi$ -waarde) beschrijft de bijkomende warmtetransmissie die optreedt tussen raamprofiel, beglazing (of paneel) en afstandshouder. De  $\Psi$ -waarde wordt voornamelijk beïnvloed door de warmtegeleidbaarheid van het materiaal waaruit de afstandshouder bestaat, evenals door het raamontwerp.

In deze bijlage worden waarden bij ontstentenis gegeven voor de  $\Psi$ -waarde voor typische combinaties van raamprofiel, beglazing (of paneel) en afstandshouders. Bijkomend worden eveneens de aansluitingen behandeld die voorkomen in lichte gevels, d.w.z. voor combinaties tussen beglazingen (of panelen), profielen en raamstijlen.

Alle waarden die niet gedekt zijn door de verschillende tabellen, moeten met een numerieke berekening bepaald worden in overeenstemming met de richtlijnen uit NBN EN ISO 10077-2.

NOTA Voor enkelvoudige beglazing geldt algemeen dat  $\Psi = 0$ .

### E.2 Aansluiting raamprofiel en beglazing

Er wordt een onderscheid gemaakt tussen gewone afstandshouders (uitgevoerd in aluminium of staal) en thermisch verbeterde afstandshouders die beantwoorden aan het hierna volgende criterium inzake thermische onderbreking:

$$\text{Eq. 56} \quad \sum (d \cdot \lambda)_f \leq 0,007 \quad \text{W/K}$$

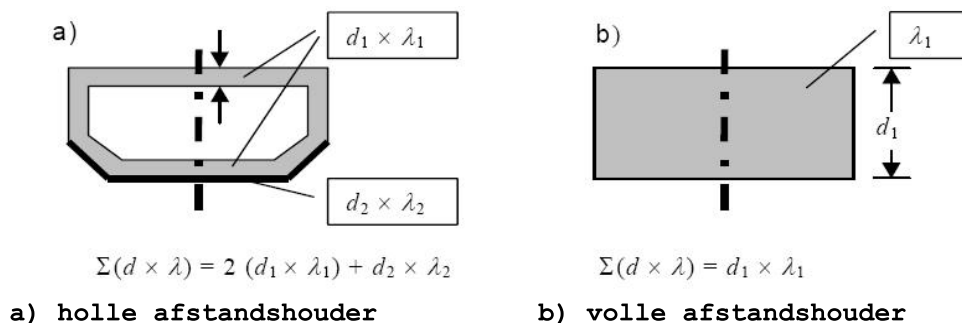
waarin:

$d$  de dikte van de wand van de afstandshouder, in m;

$\lambda$  de warmtegeleidbaarheid van het materiaal van de afstandshouder, in W/(m.K).

De sommatie is geldig voor alle warmtestromen die parallel met de hoofdwarmtestroom vloeit, waarbij de dikte  $d$  loodrecht op de hoofdwarmtestroom gemeten wordt (zie Figuur [37]).

**Figuur [37]: Voorbeelden van de bepaling van het criterium van thermisch verbeterde afstandshouder**



In Tabel E 1 worden  $\Psi_g$ -waarden bij ontstentenis gegeven voor de aansluiting tussen profielen en beglazingen die voorzien zijn van gewone en thermisch verbeterde afstandshouders. Alternatief mogen ook de waarden volgens Tabel E 2 gehanteerd worden.

**Tabel E 1:  $\Psi_g$ -waarden W/(m.K) voor aansluitingen tussen profielen en beglazingen die voorzien zijn van gewone en thermisch verbeterde afstandshouders, variant 1**

Profiel	Meervoudige beglazing			
	Beglazing zonder coating		Beglazing met coating	
	Gewone afstandshouder	Isolerende afstandshouder	Gewone afstandshouder	Isolerende afstandshouder
Hout of PVC	0,06	0,05	0,08	0,06
Metaal met thermische onderbreking	0,08	0,06	0,11	0,08
Metaal zonder thermische onderbreking	0,02	0,01	0,05	0,04

**Tabel E 2:  $\Psi_g$ -waarden W/(m.K) voor aansluitingen tussen profielen en beglazingen die voorzien zijn van gewone en thermisch verbeterde afstandshouders, variant 2**

Raamprofiel	Enkele beglazing	Meervoudige beglazing			
		$U_g > 2,0 \text{ W/(m}^2 \cdot \text{K)}$		$U_g \leq 2,0 \text{ W/(m}^2 \cdot \text{K)}$	
		Gewone afstandshouder	Isolerende afstandshouder	Gewone afstandshouder	Isolerende afstandshouder
$U_f \geq 5,9 \text{ W/(m}^2 \cdot \text{K)}$	0	0,02	0,01	0,05	0,04
$U_f < 5,9 \text{ W/(m}^2 \cdot \text{K)}$	0	0,06	0,05	0,11	0,07

Belgisch Staatsblad d.d. 09-12-2022

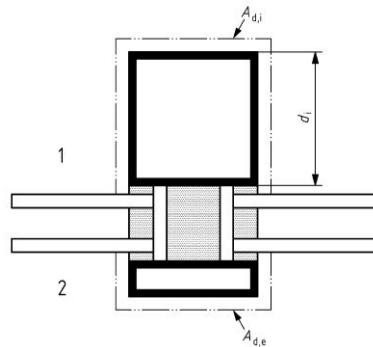
http://www.emis.vito.be



### E.3 Aansluiting raamstijl en beglazing

In Tabel E 3 worden  $\Psi_{m,g}$ - of  $\Psi_{t,g}$ -waarden bij ontstentenis gegeven voor de aansluiting tussen horizontale of verticale raamstijlen en beglazingen die voorzien zijn van gewone en thermisch verbeterde afstandshouders.

**Figuur [38]: Interne diepte van raamstijlen**



1: binnenomgeving

2: buitenomgeving

$d_i$ : diepte van de horizontale of verticale raamstijl (aan de binnenzijde gemeten)

**Tabel E 3:  $\Psi_{m(t),g}$ -waarden W/(m.K) voor aansluitingen tussen raamstijlen en beglazingen die voorzien zijn van gewone en thermisch verbeterde afstandshouders**

Type raamstijl (materialen)	$d_i$ (mm) (1)	Meervoudige beglazing			
		Beglazing zonder coating		Beglazing met coating	
		Gewone afstandshouder	Isolerende afstandshouder	Gewone afstandshouder	Isolerende afstandshouder
Aluminium-hout	-	0,08	0,06	0,11	0,08
Metaal met thermische onderbreking	$d_i \leq 100$	0,13	0,09	0,17	0,11
	$100 < d_i \leq 200$	0,15	0,10	0,19	0,12

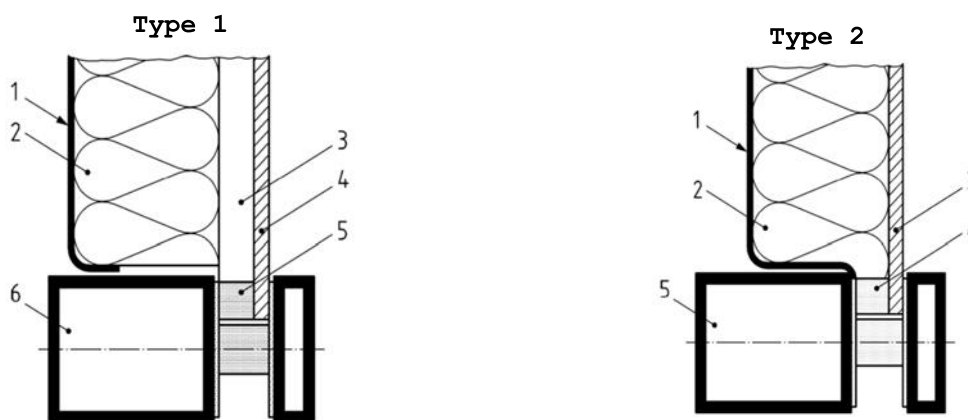
(1)  $d_i$  is de interne diepte van een raamstijl (zie *Figuur [38]*)

**E.4 Aansluiting profiel en vulpaneel**

In Tabel E 4 worden waarden bij ontstentenis gegeven voor de aansluiting tussen profiel, afstandshouder en vulpaneel ( $\Psi_{f,p}$ ).

**Tabel E 4:  $\Psi_{f,p}$ -waarden voor aansluiting tussen profielen en vulpanelen**

Type vulelement		Warmtegeleidbaarheid van de afstandshouder W/(m.K)	$\Psi_{f,p}$ -waarde W/(m.K)
<b>Type 1</b> (zie Figuur [39])	(aluminium/aluminium) -	-	0,13
	(aluminium/glas) - (staal/glas)		
<b>Type 2</b> (zie Figuur [39])	aluminium / aluminium (met bekleding)	0,2 0,4	0,20 0,29
	aluminium / glas (met bekleding)	0,2 0,4	0,18 0,20
	staal / glas (met bekleding)	0,2 0,4	0,14 0,18

**Figuur [39]: Types van panelen: Types 1 en 2**

- 1 aluminium 2,5 mm / staal 2,0 mm  
 2 isolatie:  $\lambda = 0,025 - 0,04$  W/(m K)  
 3 luchtspouw: 0 - 20 mm  
 4 aluminium 2,5 mm / glas 6 mm  
 5 afstandshouder:  $\lambda=0,2 - 0,4$  W/(m K)  
 6 aluminium

- 1 aluminium 2,5 mm / staal 2,0 mm  
 2 isolatie:  $\lambda = 0,025 - 0,04$  W/(m K)  
 3 aluminium: 2,5 mm / glas 6 mm  
 4 afstandshouder:  $\lambda=0,2 - 0,4$  W/(m K)  
 5 aluminium

NOTA Als de voor- en achterplaat van het vulpaneel bestaan uit een materiaal waarvan de warmtegeleidbaarheid ( $\lambda$ -waarde) kleiner is dan  $0,5$  W/(m.K) en de afstandshouder bestaat uit een materiaal met  $\lambda < 0,2$  W/(m.K), dan mag  $\Psi_{f,p} = 0$  aangenomen worden.

## E.5 Aansluiting profiel en raamstijl

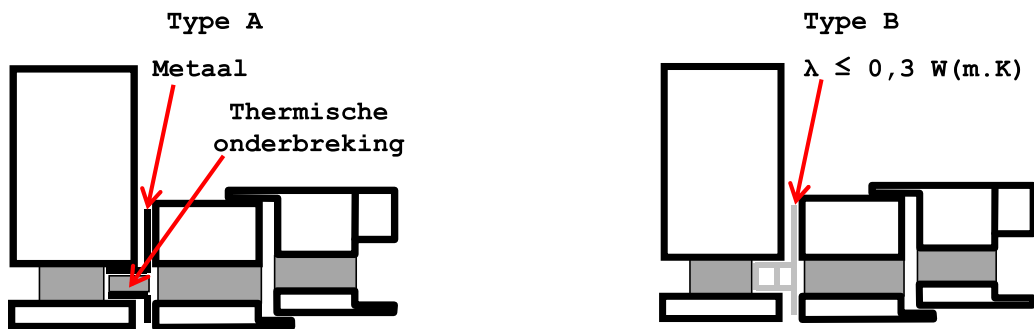
### E.5.1 Aluminium en stalen profielen

In § Tabel E 5 worden waarden bij ontstentenis gegeven voor de aansluitingen tussen raamstijlen en profielen ( $\Psi_{m,f}$  of  $\Psi_{t,f}$ ).

**Tabel E 5:  $\Psi_{m,f}$ - en  $\Psi_{t,f}$  waarden voor aansluitingen tussen profielen en raamstijlen (in aluminium of staal)**

Type (zie onderstaande figuren)	Beschrijving van de aansluiting van het profiel op de raamstijl	$\Psi_{m,f}$ - of $\Psi_{t,f}$ - waarde W/(m.K)
Type A	Bijkomend metalen profiel met thermische onderbreking	0,11
Type B	Bijkomend profiel met lage warmtegeleidbaarheid ( $\lambda \leq 0,3$ W/(m.K))	0,05
Type C1/C2	Geïntegreerd, met gebruik van de thermische onderbreking van het profiel	0,07
Type D	Montage van het profiel tot de raamstijl, met uitbreiding van het buitenste aluminium profiel. Opvulmateriaal met lage warmtegeleidbaarheid ( $\lambda \leq 0,3$ W/(m.K))	0,07

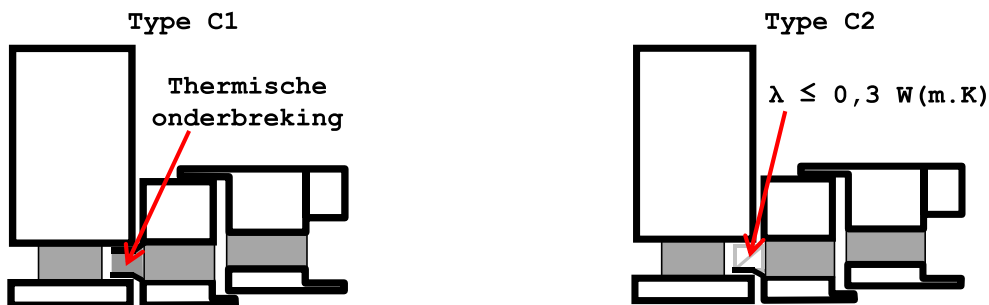
**Figuur [40]: Aansluiting profiel - raamstijl: Types A en B**



Montage van het profiel tegen de raamstijl met een bijkomend metalen profiel met thermische onderbreking

Montage van het profiel tegen de raamstijl met een bijkomend profiel met lage warmtegeleidbaarheid

**Figuur [41]: Aansluiting profiel - raamstijl: Types C1 en C2**

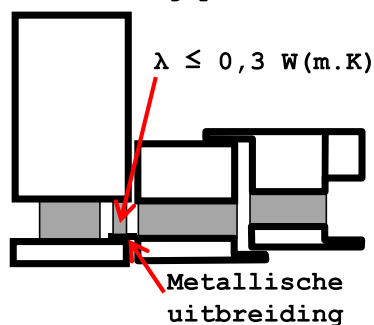


Montage van het profiel tegen de raamstijl gebruik makend van een uitbreiding van de thermische onderbreking van het profiel

Montage van het profiel tegen de raamstijl gebruik makend van een uitbreiding van de thermische onderbreking van het profiel



Figuur [42]: Aansluiting profiel - raamstijl: Type D



Montage van het profiel tegen de raamstijl gebruik makend van een uitbreiding van het buitenste aluminium profiel. Opvulmateriaal met lage warmtegeleidbaarheid ( $\lambda \leq 0,3 \text{ W/(m.K)}$ )

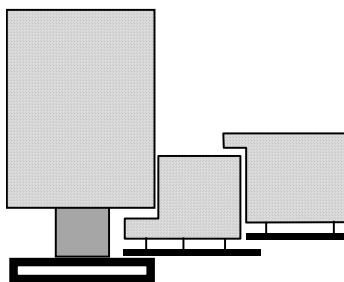
### E.5.2 Hout en aluminium/hout profielen

In § Tabel E 6 worden waarden bij ontstentenis gegeven voor de aansluitingen tussen profielen en raamstijlen ( $\Psi_{f,m}$  of  $\Psi_{f,t}$ ).

Tabel E 6:  $\Psi_{m,\varepsilon}$ - en  $\Psi_{t,\varepsilon}$  waarden voor aansluitingen tussen profielen en raamstijlen (in hout of aluminium/hout)

Type	Voorwaarden voor de U-waarden van de horizontale en verticale raamstijlen ( $U_m$ en $U_t$ )	$\Psi_{m,\varepsilon}$ - of $\Psi_{t,\varepsilon}$ - waarde W/(m.K)
Type A	$U_m > 2,0 \text{ W/(m}^2 \cdot \text{K)}$ of $U_t > 2,0 \text{ W/(m}^2 \cdot \text{K)}$	0,02
Type B	$U_m \leq 2,0 \text{ W/(m}^2 \cdot \text{K)}$ of $U_t \leq 2,0 \text{ W/(m}^2 \cdot \text{K)}$	0,04

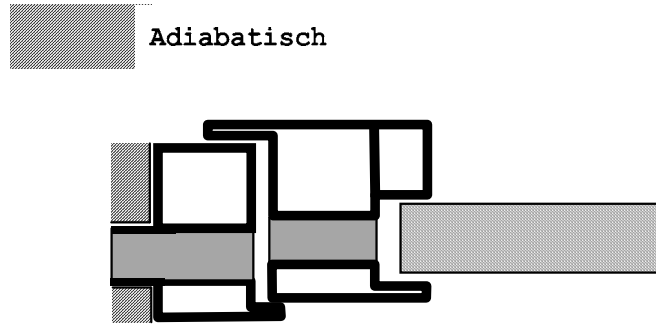
Figuur [43]: Aansluiting profiel - raamstijl: Type A en Type B



### E.6 Berekening van $U_f$ voor profielen geïntegreerd in een lichte gevel

De berekening van de  $U_f$ -waarde van profielen die geïntegreerd zijn in een lichte gevel door middel van een bijkomend profiel in de gevel (Type A en Type B - zie Figuur [40]), wordt berekend volgens NBN EN ISO 10077-2. De warmtestroom door het bijkomend profiel wordt ingerekend bij de lineaire warmtedoorgangscoefficienten van de raamstijlen ( $\Psi_{m,f}$ - en  $\Psi_{t,f}$  waarden), die de thermische interactie beschrijven tussen de raamstijlen en het profiel.

**Figuur [44]: Randvoorwaarden voor de berekening van  $U_f$  van een profiel, dat rechtstreeks geïntegreerd is in een lichte gevel (metalen profielen - Type C en Type D)**



De algemene rekenprocedure voor de bepaling van de  $U_f$  -waarde van profielen, die rechtstreeks zijn geïntegreerd in een lichte gevel (Type C en Type D - zie Figuur [41] en Figuur [42]), is beschreven in NBN EN ISO 10077-2. De oppervlakte van het profiel dat in de raamstijlen is ingebouwd, wordt als adiabatisch beschouwd in de berekening (zie Figuur [44]). De bijkomende warmtestroom, ten gevolge van de inbouw in de lichte gevel, wordt ingerekend bij de lineaire warmtedoorgangscoefficienten van de raamstijlen ( $\Psi_{m,f}$ - en  $\Psi_{t,f}$  waarden), die de thermische interactie beschrijven tussen de raamstijlen en het profiel.

## Bijlage F Warmtetransmissie via de grond.

### F.1 Specifieke nodige invoergegevens

#### F.1.1 Thermische karakteristieken van de grond

In het kader van de energieprestatieregelgeving wordt steeds met volgende vastgelegde hypothesen gerekend:

- warmtegeleidbaarheid van de bodem:  $\lambda = 2,0 \text{ W/m}\cdot\text{K}$
- het effect van grondwater wordt verwaarloosd, d.w.z.  $G_w = 1$ .

#### F.1.2 Karakteristieke vloerafmeting en equivalente dikte

De karakteristieke vloerafmeting ( $B'$  in m) wordt gedefinieerd als de verhouding van de aaneengesloten vloeroppervlakte ( $A$  in  $\text{m}^2$ ) tot de halve perimeter ( $P$  in m):

$$\text{Eq. 57} \quad B' = \frac{A}{0,5 \cdot P} \quad \text{m}$$

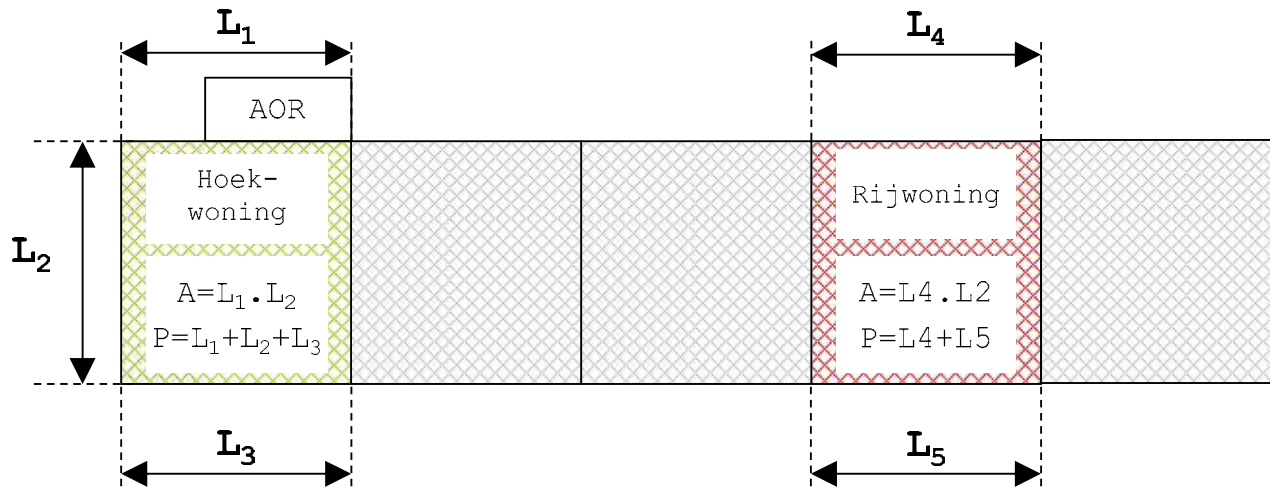
De perimeter  $P$  (of grondomtrek) van de onderste vloer van een beschermd volume is de totale horizontaal gemeten lengte waarlangs de aaneengesloten vloeroppervlakte  $A$  voor deze vloer grenst aan de buitenomgeving of aan een AOR.

Verdere regels m.b.t. de bepaling van  $P$  en/of  $A$  zijn:

- de aaneengesloten vloeroppervlakte  $A$  kan enkel bestaan uit vloerdelen met dezelfde samenstelling of  $R$ -waarde die binnen hetzelfde beschermd volume liggen, die aan mekaar grenzen en die dezelfde begrenzing hebben (grond, kruipruimte of kelder). Vloerdelen van AOR's of andere beschermde volumes (hetzij op hetzelfde hetzij op een aanpalend perceel) maken geen deel uit van de aaneengesloten vloeroppervlakte. Nieuwe, vernieuwde of nageïsoleerde vloeren kunnen nooit een aaneengesloten vloeroppervlakte vormen met bestaande vloeren, zelfs al hebben ze dezelfde samenstelling of  $R$ -waarde.
- voor een nieuw vrijstaand gebouw met eenzelfde samenstelling van de vloer op volle grond is  $P$  gelijk aan de volledige gebouwomtrek en is  $A$  gelijk aan de totale vloeroppervlakte op de volle grond;
- voor een deel van een geheel van gebouwen (bv. een rijwoning met eenzelfde samenstelling van de vloer op volle grond), wordt  $P$  berekend als de totale lengte van de aan de buitenomgeving blootgestelde voor- en achtergevel (zijgevels grenzend aan naburige verwarmde gebouwen zijn dus niet meegeteld);  $A$  is opnieuw gelijk aan de volledige vloeroppervlakte op volle grond;
- bij de bepaling van  $P$  wordt een eventuele aanwezige AOR als niet bestaande beschouwd; de lengte van de grenslijn tussen het beschermd volume en de AOR wordt dus meegerekend bij de bepaling van  $P$  (zie Figuur [45]);
- bij de bepaling van  $P$  en  $A$  worden buitenafmetingen aangenomen.

NOTA Hoogten van een verticale vloerpeilverspringing in een onderste vloer worden niet in  $P$  meegerekend om de kenmerkende vloerafmeting te bepalen, maar zijn wel bijkomend bij  $P$  te beschouwen ter bepaling van randgebonden transmissie-warmteoverdracht van de vorm  $P \cdot \Psi_g$ .

**Figuur [45]: voorbeelden van de bepaling van de vloeroppervlakte en de blootgestelde perimeter**



Het concept van de "equivalente dikte" ( $d_t$  voor vloeren en  $d_g$  en  $d_w$  voor ingegraven muren) is een louter rekenkundig concept dat ingevoerd is om de diverse formules voor de U-waarde eenvoudiger te kunnen noteren.

Indien de dikte van de muren varieert, dient voor  $w$  de kleinste waarde genomen te worden.

## F.2 Berekening van de U-waarde en de stationaire warmteoverdracht $H_g$

### F.2.1 Algemeen

In de hierna volgende paragrafen wordt de gedetailleerde berekening van de U-waarde van de wanden in contact met de grond en van de stationaire warmteoverdrachtscoëfficiënt  $H_g$  gegeven voor de verschillende voorkomende wandtypes in contact met de grond, namelijk:

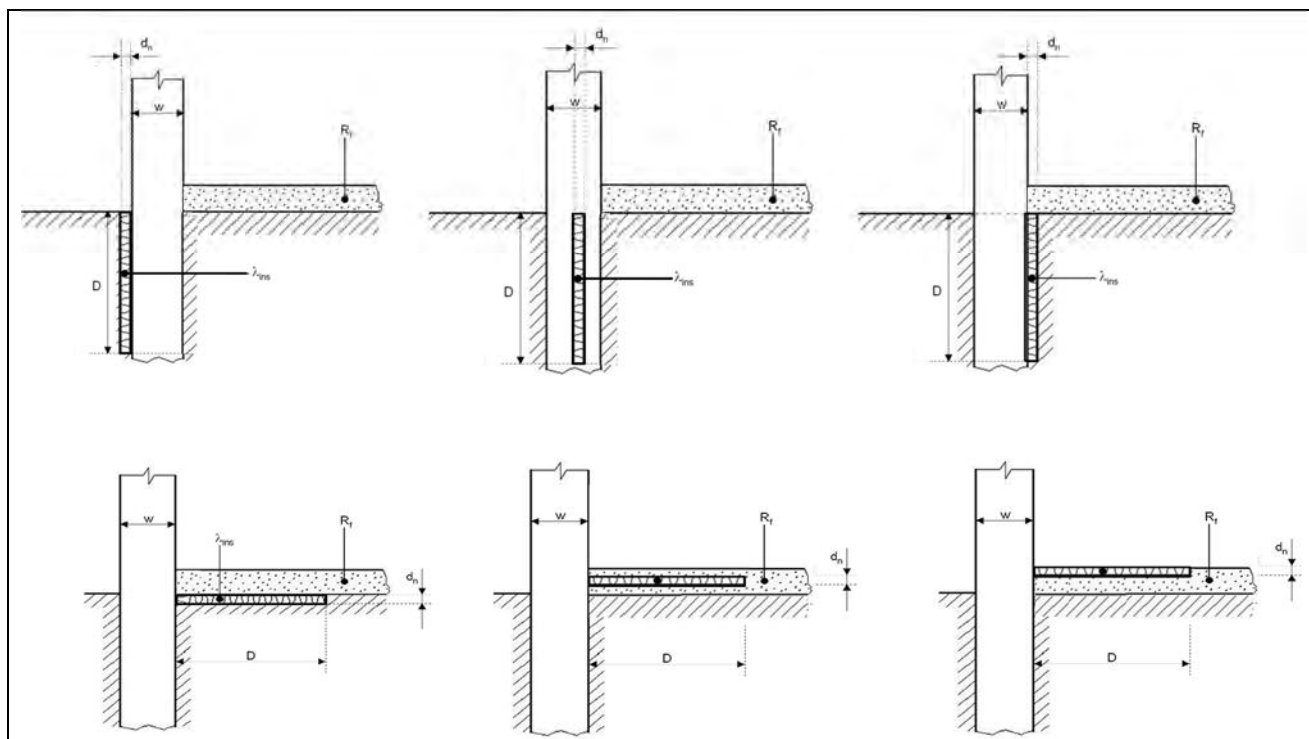
- vloeren op volle grond (zie § F.2.2)
- vloeren boven kruipruimten (zie § F.2.3)
- kelderwanden (zie § F.2.4)

### F.2.2 Vloeren op volle grond

Vloeren op volle grond bestaan uit een vloerplaat die over zijn volledige oppervlakte in contact is met de grond (ongeacht of de vloerplaat over zijn volledige oppervlakte ondersteund wordt door de grond), en die zich bevindt op dezelfde hoogte als of dichtbij het niveau van het maaiveld. De vloerplaat kan ongeïsoleerd zijn, gelijkmatig geïsoleerd zijn over de gehele oppervlakte of gedeeltelijk geïsoleerd zijn (bijvoorbeeld horizontale of verticale randisolatie).

Om deze randisolatie te mogen inrekenen via de formules beschreven in deze paragraaf moet de randisolatie voldoen aan minstens één van de configuraties zoals getoond in Figuur [46] en moeten de randisolatie en de isolatielaag van de muur op elkaar aansluiten via basisregel 1 of 2 van Bijlage VIII bij het Energiebesluit.

Figuur [46]: Vloeren op volle grond

Nodige invoergegevens:

- grond (volgens F.1.1):
  - $\lambda_g$ : zijn  $\lambda$ -waarde, in  $W/(m.K)$ ,
  - $G_w$ : zijn grondwaterfactor, (-);
- buitenmuur:
  - $w$ : zijn totale dikte, in m;
- vloer:
  - $P$ : zijn perimeter, in m,
  - $A$ : zijn oppervlakte, in  $m^2$ ,
  - $R_f$ : zijn totale warmteweerstand (van binnen oppervlak tot scheidingsvlak met de grond), in  $m^2.K/W$
- randisolatie:
  - $D$ : zijn breedte of diepte, in m,
  - $d_n$ : zijn dikte, in m,
  - $\lambda_{ins}$ : zijn waarde  $\lambda$ , in  $W/(m.K)$ .

De rekenprocedure (U-waarde en stationaire warmteoverdracht) verloopt volgens de volgende procedure:

Vorbereidende stappen:

- Bereken de karakteristieke afmeting van de vloer  $B'$ , in m, volgens Eq. 57.
- Bereken de thermische weerstand van de randisolatie,  $R_n$ , volgens:

**Eq. 58**  $R_n = d_n / \lambda_{ins}$

$m^2.K/W$

**Stap 1**

Bereken  $d_t$ , volgens:

$$\text{Eq. 59} \quad d_t = w + \lambda_g (R_{si} + R_f + R_{se}) \quad m$$

**Stap 2**

Bereken  $U_0$  volgens:

$$\text{Eq. 60} \quad \text{als } dt < B': U_0 = \frac{2 \cdot \lambda_g}{\pi \cdot B' + d_t} \cdot \ln \left( \frac{\pi \cdot B'}{d_t} + 1 \right)$$

$$\text{als } dt \geq B' \text{ (goed geïsoleerde vloer): } U_0 = \frac{\lambda_g}{0,457 \cdot B' + d_t} \quad W/(m^2 \cdot K)$$

**Stap 3**

Bereken de  $U$  waarde van de vloer op volle grond volgens:

$$\text{Eq. 61} \quad \text{Indien geen randisolatie: } U = U_0$$

$$\text{Indien wel randisolatie: } U = U_0 + 2 \Psi_{e,edge}/B' \quad W/(m^2 \cdot K)$$

waarin:

**Eq. 62** voor horizontale randisolatie:

$$\Psi_{e,edge} = -\frac{\lambda_g}{\pi} \left[ \ln \left( \frac{D}{d_t} + 1 \right) - \ln \left( \frac{D}{d_t + d'} + 1 \right) \right] \quad W/(m \cdot K)$$

**Eq. 63** voor verticale randisolatie:

$$\Psi_{e,edge} = -\frac{\lambda_g}{\pi} \left[ \ln \left( \frac{2 \cdot D}{d_t} + 1 \right) - \ln \left( \frac{2 \cdot D}{d_t + d'} + 1 \right) \right] \quad W/(m \cdot K)$$

waarin:

$$\text{Eq. 64} \quad d' = R_n \cdot \lambda_g - d_n \quad m$$

Bovenstaande formules voor  $\Psi_{e,edge}$  mogen enkel toegepast worden indien de randisolatie exact voldoet aan één van de configuraties uit Figuur [46] en indien de randisolatie aansluit op de isolatielaag van de muur volgens basisregel 1 of 2 van Bijlage VIII bij het Energiebesluit.

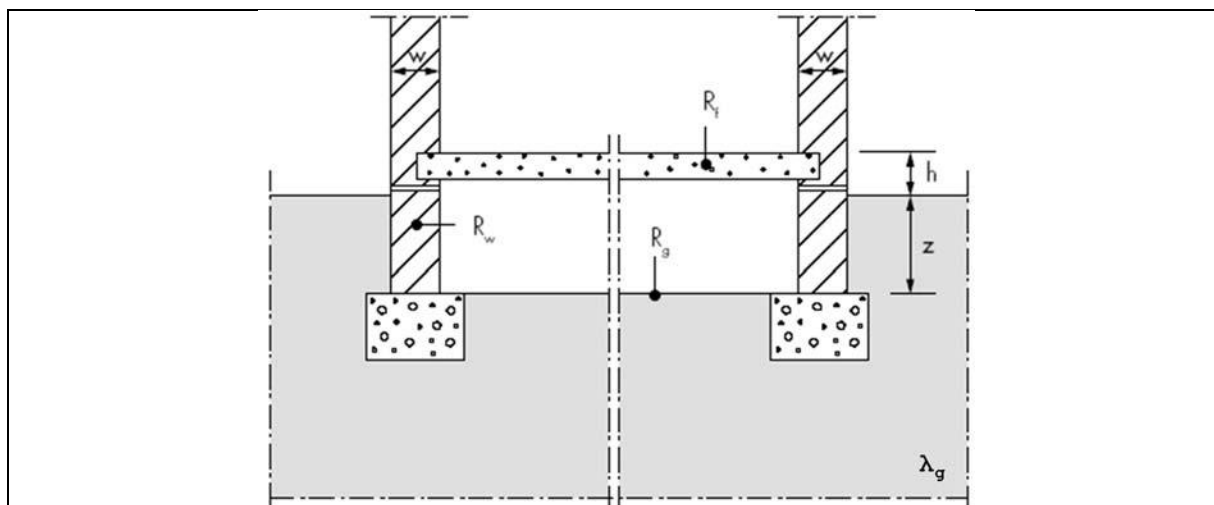
Indien horizontale en verticale randisolatie gecombineerd zijn, weerhoud de  $\Psi_{e,edge}$ -waarde met de grootste invloed (reductie) op  $U$ .

Voor de evaluatie van de  $U_{max}$ -eis volgens bijlage VII bij het Energiebesluit wordt de waarde van  $U$  beschouwd.

### F.2.3 Vloeren boven kruipruimten

Een vloer boven een kruipruimte heeft geen rechtstreeks contact met de grond, maar de warmtestroom vloeit via de kruipruimte rechtstreeks en via de grond naar de buitenomgeving. Een extra overdracht treedt op indien de onderliggende ruimte geventileerd is met buitenlucht.

Figuur [47]: Vloer boven kruipruimten



Nodige invoergegevens:

- Grond: (zie § F.1.1):
  - $\lambda_g$ : zijn  $\lambda$ -waarde, in  $W/(m.K)$ ,
  - $G_w$ : zijn grondwaterfactor, (-);
- muur kruipruimte:
  - $w$ : zijn dikte ter hoogte van het maaiveld  $w$ , in  $m$ ,
  - $R_w$ : zijn warmte-weerstand, in  $m^2.K/W$ ,
  - $z$ : zijn gemiddelde diepte in grond, in  $m$ ;
- vloer boven kruipruimte:
  - $P$ : zijn perimeter, in  $m$ ,
  - $A$ : zijn oppervlakte, in  $m^2$ ,
  - $R_f$ : warmteweerstand, in  $m^2.K/W$ ,
  - $h$ : gemiddelde hoogte boven maaiveld, in  $m$ ;
- vloer kruipruimte:
  - $R_g$ : zijn warmteweerstand, in  $m^2.K/W$ ;
- ventilatie kruipruimte:
  - $\varepsilon$ : de oppervlakte van de ventilatieopeningen gedeeld door de perimeter, in  $m^2/m$ ,
  - $v$ : de windsnelheid, in  $m/s$ ,
  - $fw$ : de windbeschuttingsfactor, (-).

De berekeningsprocedure wordt hieronder weergegeven.

**Vorbereidende stap:**

Bereken de karakteristieke afmeting van de vloer B', in m, volgens Eq. 57.

**Stap 1**

Bereken de  $U_f$  waarde van de vloer boven kruipruimte, volgens:

$$\text{Eq. 66} \quad U_f = \frac{1}{R_{si} + R_f + R_{se}} \quad \text{met } R_{si} = 0,17 \text{ m}^2 \cdot \text{K/W} \quad \text{W/(m}^2 \cdot \text{K)}$$

**Stap 2**

Bereken de  $U_w$  waarde van het muurdeel boven het maaiveld, volgens:

$$\text{Eq. 67} \quad U_w = \frac{1}{R_{si} + R_w + R_{se}} \quad \text{met } R_{si} = 0,13 \text{ m}^2 \cdot \text{K/W} \quad \text{W/(m}^2 \cdot \text{K)}$$

**Stap 3**

Bereken de equivalente dikte van de vloer van de kruipruimte,  $d_g$ , volgens:

$$\text{Eq. 68} \quad d_g = w + \lambda_g (R_{si} + R_g + R_{se}) \quad \text{m}$$

**Stap 4**

Bereken, de equivalente dikte van de muur,  $d_w$ , volgens:

$$\text{Eq. 69} \quad d_w = \lambda_g (R_{si} + R_w + R_{se}) \quad \text{m}$$

**Stap 5**

Bereken de  $U_g$  waarde van de vloer van de kruipruimte,  $U_g$ , volgens:

$$\text{Eq. 70} \quad \text{indien } z \leq 0,5 \text{ m: } U_g = G_w \cdot \frac{2 \cdot \lambda_g}{\pi \cdot B + d_g} \ln \left( \frac{\pi \cdot B'}{d_g} + 1 \right)$$

$$\text{indien } z > 0,5 \text{ m: } U_g = G_w \cdot \left( U_{bf} + z \cdot P \cdot \frac{U_{bw}}{A} \right) \quad \text{W/(m}^2 \cdot \text{K)}$$

waarin:

$$\text{Eq. 71} \quad U_{bf} = \frac{2 \cdot \lambda_g}{\pi \cdot B + d_g + 0,5 \cdot z} \ln \left( \frac{\pi \cdot B'}{d_g + 0,5 \cdot z} + 1 \right) \quad \text{W/(m}^2 \cdot \text{K)}$$



$$\text{Eq. 72} \quad U_{bw} = \frac{2 \cdot \lambda_g}{\Pi \cdot z} \left( 1 + \frac{0,5 \cdot d_g}{d_g + z} \right) \ln \left( \frac{z}{d_w} + 1 \right) \quad \text{W} / (\text{m}^2 \cdot \text{K})$$

**Stap 6**

Bereken de  $U_x$  waarde volgens:

$$\text{Eq. 73} \quad \text{Voor een geventileerde kruipruimte: } 2 \cdot h \cdot U_w / B' + 1450 \cdot \varepsilon \cdot v \cdot f_w / B'$$

$$\text{Voor een niet geventileerde kruipruimte: } 2 \cdot h \cdot U_w / B' \quad \text{W} / (\text{m}^2 \cdot \text{K})$$

Neem in het kader van de energieprestatieregelgeving de vaste waarden:

- $f_w = 0,05$
- $v = 4 \text{ m/s}$  (gemiddelde windsnelheid)

**Stap 7**

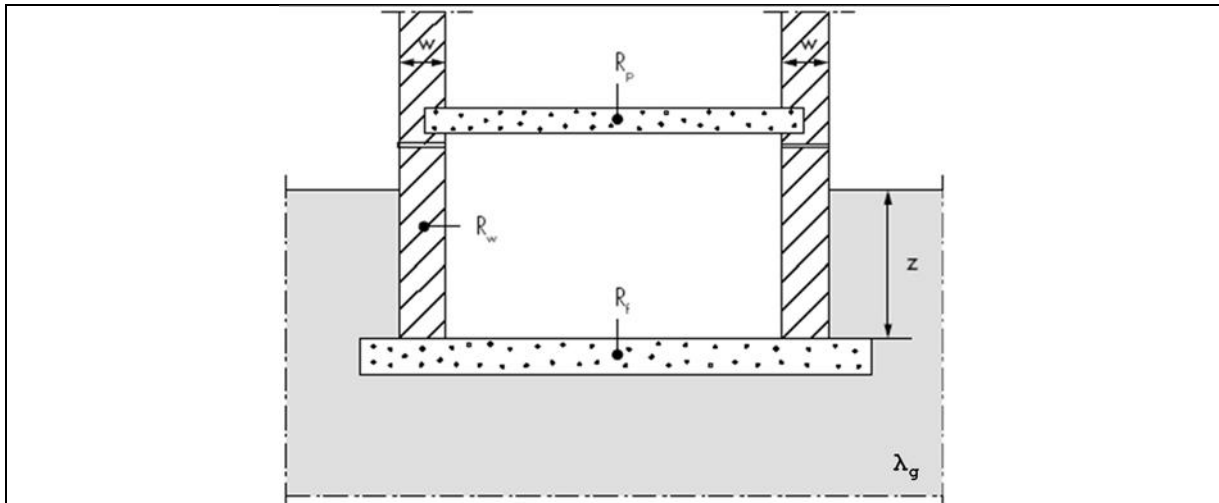
Voor de evaluatie van de  $U_{\max}$ -eis volgens bijlage VII bij het Energiebesluit wordt voor de vloer boven de kruipruimte de waarde van  $U$  beschouwd zoals hieronder berekend:

$$\text{Eq. 74} \quad U = \left( \frac{1}{U_f} + \frac{1}{U_g + U_x} \right)^{-1} \quad \text{W} / (\text{m}^2 \cdot \text{K})$$

#### F.2.4 Schildelen van een kelder

Kelders zijn ruimten die geheel of gedeeltelijk onder het maaiveld liggen. De keldervloer ligt op een gemiddelde diepte  $z$  onder het maaiveld en de keldervloer en de keldermuren kunnen verschillende isolatiegraden hebben. De rekenprocedure beschrijft de gemeenschappelijke warmteoverdracht  $H_g$  die zowel door de keldervloer als door de keldermuren naar de buitenomgeving vloeit, aangezien de beide warmtestromen onderling van elkaar afhankelijk zijn.

Figuur [48]: Schildelen van een kelder



Nodige invoergegevens:

- grond:
  - $\lambda_g$ : zijn  $\lambda$  waarde, in  $W/(m.K)$ ;
- vloer boven kelder:
  - $R_p$ : zijn warmteweerstand, in  $m^2.K/W$ ,
  - $h$ : zijn gemiddelde hoogte boven maaiveld, in m;
- keldermuur:
  - $w$ : zijn dikte ter hoogte van het maaiveld  $w$ , in m,
  - $R_w$ : zijn warmteweerstand, in  $m^2.K/W$ ,
  - $z$ : zijn gemiddelde diepte in grond, in m;
- keldervloer:
  - $P$ : zijn perimeter, in m,
  - $A$ : zijn oppervlakte, in  $m^2$ ,
  - $R_f$ : zijn warmteweerstand, in  $m^2.K/W$ ;
- ventilatie kelder:
  - $n$ : zijn ventilatievoud, in  $h^{-1}$ ,
  - $V$ : zijn volume, in  $m^3$ .

De berekeningsprocedure wordt hieronder weergegeven.

#### Vorbereidende stap:

Bereken de karakteristieke afmeting van de vloer  $B'$ , in m, volgens Eq. 57.

**Stap 1**

Bereken voor de keldervloer,  $d_t$ , volgens:

$$\text{Eq. 76} \quad d_t = w + \lambda_g (R_{si} + R_f + R_{se}) \quad m$$

**Stap 2**

Bereken de  $U_{bf}$  waarde voor de keldervloer volgens:

$$\text{Eq. 77} \quad \text{als } (d_t + 0,5.z) < B': U_{bf} = \frac{2 \cdot \lambda_g}{\pi \cdot B' + d_t + 0,5.z} \ln \left( \frac{\pi \cdot B'}{d_t + 0,5.z} + 1 \right)$$

als  $(d_t + 0,5.z) \geq B'$  (goed geïsoleerde vloer):

$$U_{bf} = \frac{\lambda_g}{0,457 \cdot B' + d_t + 0,5.z} \quad W/(m^2 \cdot K)$$

**Stap 3**

Bereken voor de kelder muur,  $d_w$ , volgens:

$$\text{Eq. 78} \quad d_w = \lambda_g (R_{si} + R_w + R_{se}) \quad m$$

**Stap 4**

Bereken voor de kelder muur vervolgens,  $U_{bw}$ , volgens:

$$\text{Eq. 79} \quad \text{als } d_w \geq d_t: U_{bw} = \frac{2 \cdot \lambda_g}{\pi \cdot z} \left( 1 + \frac{0,5 \cdot d_t}{d_t + z} \right) \ln \left( \frac{z}{d_w} + 1 \right)$$

$$\text{als } d_w < d_t: U_{bw} = \frac{2 \cdot \lambda_g}{\pi \cdot z} \left( 1 + \frac{0,5 \cdot d_w}{d_w + z} \right) \ln \left( \frac{z}{d_w} + 1 \right) \quad W/(m^2 \cdot K)$$

**Stap 5**

In geval van een verwarmde kelder worden voor de evaluatie van de  $U_{max}$ -eis volgens bijlage VII bij het Energiebesluit voor de keldervloer en -muur respectievelijk de waarden van  $U_{bf}$  en  $U_{bw}$  beschouwd zoals hierboven berekend.

In geval van een kelder buiten het beschermd volume wordt voor de evaluatie van de  $U_{max}$ -eis volgens bijlage VII bij het Energiebesluit voor de vloer boven de kelder de  $U$ -waarde beschouwd zoals hieronder berekend:

- bereken  $U_f$  waarde van de vloer boven de kelder volgens:

$$\text{Eq. 82} \quad U_f = \frac{1}{R_{si} + R_p + R_{si}} \quad \text{met } R_{si} = 0,17 \text{ m}^2 \cdot K/W \quad W/(m^2 \cdot K)$$

- bereken  $U_w$ -waarde muurdeel boven maaiveld volgens:

$$\text{Eq. 83} \quad U_w = \frac{1}{R_{si} + R_w + R_{se}} \quad \text{met } R_{si} = 0,13 \text{ m}^2 \cdot \text{K/W} \quad \text{W/ (m}^2 \cdot \text{K)}$$

- bereken de U waarde van de vloer boven de kelder volgens:

$$\text{Eq. 84} \quad U = \left( \frac{1}{U_f} + \frac{A}{A \cdot U_{bf} + z \cdot P \cdot U_{bw} + h \cdot P \cdot U_w + 0,33 \cdot n \cdot V} \right)^{-1} \quad \text{W/ (m}^2 \cdot \text{K)}$$

Neem in het kader van de energieprestatieregelgeving voor het ventilatievoud n de vaste waarde van  $0.3 \text{ h}^{-1}$ .

## Bijlage G Conventies voor de berekening van de U-waarde

### G.1 Inleiding

In deze bijlage worden conventies gegeven die toegepast kunnen worden voor de berekening van de  $\lambda$ -, R- of U-waarde van specifieke wandelementen, zoals metselwerk, geperforeerde bouwstenen en wanden met houtstructuren. Alle conventies houden rekening met de courant voorkomende gevallen die in de Belgische bouwpraktijk aangetroffen worden.

### G.2 Numerieke en vereenvoudigde rekenmethodes

De berekening van de U-waarde is zeer eenvoudig uit te voeren in het geval van bouwelementen die opgebouwd zijn uit vlakke, parallelle en homogene bouwlagen. In deze gevallen staat de warmtestroom doorheen het bouwelement van de binnen- naar de buitenomgeving loodrecht op de bouwlagen (zonder enige afwijking) en wordt de U-waarde bekomen door de som te maken van alle warmteweerstanden van de bouwlagen.

In werkelijkheid vertonen bouwelementen evenwel meestal onregelmatigheden of bevatten zij niet-homogene bouwlagen, waardoor de warmtestroom afbuigt en derhalve een effect heeft op de totale warmteweerstand van het bouwelement.

Het effect op de U-waarde kan nauwkeurig berekend worden op basis van een numerieke berekening ofwel vereenvoudigd berekend worden op basis van de formules die in onderhavige tekst opgegeven zijn.

**Numerieke berekeningen** zijn gedetailleerde computerberekeningen die de twee- of driedimensionale warmtestroom doorheen niet-homogene bouwelementen kunnen bepalen en hieruit een nauwkeurige U-waarde kunnen afleiden. De software die hierbij gebruikt wordt, dient gevalideerd te zijn volgens de richtlijnen uit diverse EN-normen (NBN EN ISO 10211 voor 2D en 3D-berekeningen, NBN EN ISO 10077-2 voor raamprofielen, NBN EN ISO 13370 voor grondverliezen)

De numerieke berekeningen worden toegepast voor de bepaling van de U-waarde van bouwelementen die mogelijks belangrijke extra warmteverliezen vertonen (bv. componenten die een isolatielaag onderbreken, wanden voorzien van metalen constructiedelen), complexe constructies of prefab elementen (bv. raamprofielen, modules van lichte gevels), hoeksituaties of aansluitingen waar een duidelijke driedimensionale warmtestroom optreedt, enz.

Numerieke berekeningen geven de meest nauwkeurige resultaten en zijn steeds toepasbaar als een toelaatbaar alternatief. In vele gevallen echter is het niet nodig om numerieke berekeningen uit te voeren en kunnen vereenvoudigde rekenmethodes toegepast worden die via een handberekening (formule) een voldoende nauwkeurige U-waarde opleveren.

De **vereenvoudigde berekeningen** die in onderhavige tekst zijn opgenomen kunnen zonder meer toegepast worden voor zover zij binnen het toepassingsdomein vallen dat omschreven is voor de verschillende gevallen.

### G.3 Conventies voor metselwerk en geperforeerde stenen

#### G.3.1 $\lambda_U$ -waarde van metselwerk

Een laag die (gemetselde of gelijmde) voegen bevat vormt een specifiek geval van een niet-homogene laag, zie § 6.2. Gebouwelementen die één of meerdere lagen met voegen bevatten kunnen op de algemene manier volgens de methode beschreven in § 6.2 berekend worden.

Een vereenvoudigde werkwijze bestaat erin enkel de onderwaarde van de weerstand  $R''_T$  van het gebouwelement te bepalen. De warmtedoorgangscoefficiënt  $U$  wordt dan enkel op basis deze onderwaarde berekend (zie NOTA van § 6.2.3).

In dat geval kan de rekenmethode op volgende alternatieve manier geformuleerd worden. De formules leiden tot hetzelfde resultaat voor  $R''_T$  als de formules van § 6.2.

De weerstand van de laag met voegen wordt gegeven door:

$$\text{Eq. 86} \quad R = d/\lambda_U \quad \text{m}^2 \cdot \text{K}/\text{W}$$

Waarin:

$\lambda_U$  een equivalente (homogene) warmtegeleidbaarheid van de laag is. Deze wordt berekend als het oppervlakte gewogen gemiddelde van de warmtegeleidbaarheden van bouw materiaal en voeg.

$$\text{Eq. 87} \quad \lambda_U = \frac{\lambda_{U,\text{mat}} \cdot A_{\text{mat}} + \lambda_{U,\text{joint}} \cdot A_{\text{joint}}}{A_{\text{mat}} + A_{\text{joint}}} \quad \text{W}/(\text{m} \cdot \text{K})$$

waarin:

$d$  de dikte van de laag, in m;

$\lambda_{U,\text{mat}}$  warmtegeleidbaarheid van het bouw materiaal zonder voegen, in  $\text{W}/(\text{m} \cdot \text{K})$ ;

$\lambda_{U,\text{joint}}$  warmtegeleidbaarheid van het voegmateriaal, in  $\text{W}/(\text{m} \cdot \text{K})$ ;

$A_{\text{mat}}$  zichtbare oppervlakte van het bouw materiaal zonder voegen, in  $\text{m}^2$ ;

$A_{\text{joint}}$  zichtbare oppervlakte van de voegen, in  $\text{m}^2$ .

De formule voor de equivalente warmtegeleidbaarheid (Eq. 87) kan ook geschreven worden als:

$$\text{Eq. 88} \quad \lambda_U = \lambda_{U,\text{mat}} \cdot (1 - f_{\text{joint}}) + \lambda_{U,\text{joint}} \cdot f_{\text{joint}} \quad \text{W}/(\text{m} \cdot \text{K})$$

waarin

$f_{\text{joint}}$  de voegfractie (-).

Voor een repetitieve rechthoekige geometrie waarbij de strekse (bed-) en de kopse voeg even dik zijn (zie Figuur [49]), zoals standaard bij metselwerk, kan de voegfractie als volgt berekend worden:

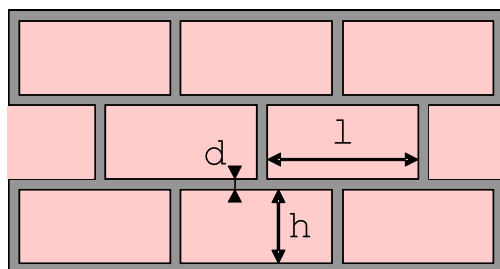
$$\text{Eq. 89} \quad f_{\text{joint}} = \frac{A_{\text{joint}}}{A_{\text{mat}} + A_{\text{joint}}} = 1 - \frac{l \cdot h}{(l + d) \cdot (h + d)} \quad (-)$$

waarin (zie Figuur [49]):

$l$  en  $h$  lengte en hoogte van het rechthoekige bouw materiaal, in mm;

$d$  dikte van de voeg, in mm (vaak 6 of 12 mm).

**Figuur [49]: Parameters voor de bepaling van de mortelfractie van metselwerk**



$$A_{\text{joint}} = (l+h+d) \cdot d$$

$$A_{\text{mat}} = l \cdot h$$

Voor andere geometrische configuraties (bv. geen kopse voeg) dient de fractie op aangepaste manier berekend te worden, en in Eq. 88 ingebracht te worden.

Volgende conventies mogen gehanteerd worden

- indien de voegbreedte nergens meer dan 3mm bedraagt, is het toegelaten de invloed van de voeg niet in te rekenen (ongeacht het voegmateriaal). In dat geval geldt dus:  $\lambda_U = \lambda_{U,\text{mat}}$
- voor de voegfractie mogen altijd de volgende waarden bij ontstentenis gebruikt worden:
  - indien  $\lambda_{U,\text{joint}} < \lambda_{U,\text{mat}}$ :  $f_{\text{joint}} = 0.00$  (0%)
  - indien  $\lambda_{U,\text{joint}} > \lambda_{U,\text{mat}}$ :
    - voor binnenmetselwerk:  $f_{\text{joint}} = 0.16$  (16%)
    - voor buitenmetselwerk:  $f_{\text{joint}} = 0.28$  (28%)

Voorbeelden van materialen die courant met voegwerk uitgevoerd worden, zijn:

- natuursteen (tabel A.2)
- metselstenen (tabellen A.3 tot A.8)
- holle blokken (tabel B.1)
- glasbouwstenen (§ 11.1)
- ...

### G.3.2 $\lambda_U$ -waarde van geperforeerde bouwstenen of -blokken

Deze paragraaf verduidelijkt de toepassing van de NOTA 3 van § A.1.

Naargelang de gekende informatie m.b.t. de geperforeerde steen kan de  $\lambda_U$ -waarde op de volgende manieren bepaald worden:

- 1) Indien de aard van de steen gekend is, evenals de volumemassa van de volle steen (scherfgewicht) en het percentage perforaties, dan wordt de volumemassa van de geperforeerde steen berekend en wordt de hiermee overeenstemmende  $\lambda_U$ -waarde uit de corresponderende tabel gehaald. Een voorbeeld:
  - Gegeven: een gecertificeerde steen van gebakken aarde met 30% perforaties en een volumemassa van de scherf (volle steen) van 1800 kg/m<sup>3</sup>;
  - Bepaling: aangezien de volle steen een volumemassa heeft van 1800 kg/m<sup>3</sup> en de steen 30% perforaties heeft, is de volumemassa van de geperforeerde steen

gelijk aan  $1800 \text{ kg/m}^3 \times 70\% = 1260 \text{ kg/m}^3$ ; de  $\lambda_{U_i}$ -waarde die overeenstemt met deze volumemassa van  $1260 \text{ kg/m}^3$  is  $0,42 \text{ W/(m.K)}$  (zie tabel A.3).

2) Indien de aard van de steen gekend is, evenals de afmetingen en de massa van de geperforeerde steen, maar het percentage perforaties niet gekend is, dan kan de  $\lambda_U$ -waarde direct gehaald worden uit de corresponderende tabel. Een voorbeeld:

- Gegeven: een gecertificeerde geperforeerde steen met afmetingen  $290 \times 140 \times 90 \text{ mm}$  en een massa van  $4,6 \text{ kg}$ ;
- Bepaling: de volumemassa van de geperforeerde baksteen is gelijk aan de massa gedeeld door het volume, d.w.z.  $4,6 / (0,29 \times 0,14 \times 0,09) = 1260 \text{ kg/m}^3$ ; de  $\lambda_{U_i}$ -waarde kan rechtstreeks bepaald worden voor deze volumemassa van  $1260 \text{ kg/m}^3$ , d.w.z.  $0,42 \text{ W/(m.K)}$  (tabel A.3).

#### G.4 Conventies voor niet-homogene bouwlagen met houtstructuur

Vele wanden bevatten niet homogene bouwlagen waarin een houtstructuur verwerkt is. Typische voorbeelden hiervan zijn balklagen in hellende of platte daken, houten vloeren of plafonds, houtskeletwanden, enz. Meestal bevinden zich tussen deze houtstructuur isolatielagen waarvan het isolerend vermogen verzwakt wordt door de aanwezigheid van houten balken of stijlen die de isolatielagen onderbreken.

Bij de bepaling van de U-waarde van dergelijke wanden dient de warmteweerstand van de bouwlagen met houtstructuur berekend te worden in functie van de houtfractie in deze lagen.

Omwille van de zeer grote verscheidenheid van afmetingen van gordingen, balken, kepers, enz... evenals de variabele tussenafstanden na plaatsing van deze elementen, is het weinig zinvol om voor houtfracties bruikbare tabelwaarden op te geven. Indien voldoende gegevens beschikbaar zijn m.b.t. de houtbreedte en de tussenafstanden (hart op hart) van repetitieve houten elementen, dan kan de houtfractie van de bouwlaag waarin de houten elementen geplaatst zijn, berekend worden op de volgende wijze:

$$\text{Eq. 90} \quad \text{Houtfractie} = \frac{\text{Breedte van de houten elementen}}{\text{Gemiddelde tussenafstand (hart op hart)}} \quad (-)$$

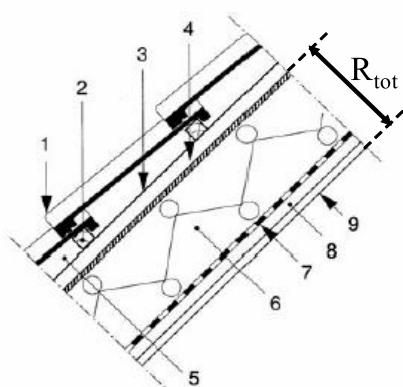
Bij de bepaling van de houtfractie dient niet alleen rekening gehouden te worden met de kepers of balken, maar eveneens met de eventueel aanwezige houten dwarsverbindingen die de structuur verstevigen. Voor deze dwarsverbindingen wordt de houtfractie vermeerderd met een additionele term van  $1\%$  ( $+ 0,01$ ).

Er mag steeds gebruik gemaakt worden van waarden bij ontstentenis, die een bovenwaarde zijn van de meest voorkomende waarden (zie Tabel G1).



**Tabel G 1: Houtfracties (waarden bij ontstentenis) voor bouwlagen met houtstructuur**

Houtstructuur	Houtfractie (waarden bij ontstentenis)
Gordingendak (gordingen - primaire draagstructuur)	0,11
Gordingendak (kepers - secundaire draagstructuur)	0,20
Sporen- of spantendak (spanten - secundaire draagstructuur)	0,12
Houten vloeren (balken - secundaire draagstructuur)	0,11
Houtskeletwanden	0,15

**G.5 Bijkomende conventies voor de bepaling van de U-waarde****G.5.1 Daken met pannen of leien als dakbedekking****Figuur [50]: Warmteweerstand van een pannen- of leiendak**

- 1: dakbedekking (pannen of leien)
- 2: panlatten
- 3: tengellatten
- 4: onderdak
- 5: luchtspouw tussen dakbedekking en onderdak
- 6: isolatie
- 7: lucht- en damp scherm
- 8: leidingenspouw
- 9: binnenafwerking

In het geval van een leiendak of een pannendak (Figuur [50]) wordt aangenomen dat de luchtspouw tussen de dakbedekking en het onderdak een sterk geventileerde luchtlaag is. Dit betekent dat alle bouwlagen tussen deze luchtspouw en de buitenomgeving verwaarloosd worden bij de berekening van de totale warmteweerstand van het dak en dat de warmteovergangswaarde ter hoogte van het onderdak gelijk genomen wordt aan  $R_{si}$  (zie § 5.4.2.4):

$$\text{Eq. 91} \quad U = \frac{1}{R_T} = \frac{1}{R_{si} + R_{tot} + R_{si}} \quad \text{W/(m}^2 \cdot \text{K)}$$

met:

$R_{tot}$  som van de warmteweerstanden van alle bouwlagen tussen de binnenomgeving en de sterk verluchte spouw (lagen 4, 6, 7, 8 en 9 in Figuur [50]), in  $\text{m}^2 \cdot \text{K/W}$ .

### G.5.2 Verlaagde plafonds

In het kader van de energieprestatieregelgeving wordt er a priori van uitgegaan dat de ruimte boven het verlaagd plafond niet luchtdicht afgesloten is van de onderliggende ruimte. De warmteweerstand van het verlaagd plafond wordt dan ook verwaarloosd. Enkel indien aangetoond kan worden dat het verlaagd plafond luchtdicht afgesloten is (bv. met rondom afgekleefde luchtdichte folies), kunnen de warmteweerstanden van het vals plafond en van de ruimte tussen het vals plafond en de bovenliggende constructie meegerekend te worden bij de bepaling van de U-waarde van het plafond of dak.

### G.5.3 Vloeren

De volgende conventies zijn geldig bij de bepaling van de U-waarde van vloeren:

- Voor vloeren op volle grond en muren in contact met de grond wordt geen rekening gehouden met opvullingen die zich onder de vloerplaat of tegen de muur bevinden en waarvan de rekenwaarde van de van toepassing zijnde warmtegeleidbaarheid (binnen- of buitenomstandigheden) groter is dan  $0,4 \text{ W/(m.K)}$  (bv. gestabiliseerd zand of losgestorte steenslag); deze materialen worden beschouwd als behorend tot de grond.
- De U-waarde houdt geen rekening met de warmteweerstand van afwerkingslagen of vloerbekledingen die niet vast bevestigd zijn of die gemakkelijk te verwijderen zijn, zoals tapijten, karpetten, enz.

## Bijlage H Bijkomende specificaties voor bestaande constructiedelen bij renovaties

### H.1 Inleiding

Bij ingrijpende energetische renovaties worden naast de nieuwe constructiedelen ook alle bestaande (al dan niet na-geïsoleerde) constructiedelen van het verliesoppervlak gerapporteerd. Er wordt dus aan elk schildeel een warmteweerstand toegekend om het warmteverlies te berekenen. Daarnaast gelden ook specifieke maximale U-waarde-eisen voor na-geïsoleerde constructiedelen bij renovaties.

Wanneer de volledige samenstelling van dergelijke bestaande constructiedelen gekend is (bv. door destructief onderzoek), zijn de specificaties m.b.t. de transmissieberekeningen zoals die gelden voor de energieprestatieregelgeving van toepassing. Van zodra de samenstelling niet volledig gekend is, wordt beroep gedaan op de hieronder beschreven methodes. De bestaande waarden bij ontstentenis blijven van toepassing. De waarden bij ontstentenis vermeld in deze bijlage, mogen uitsluitend toegepast worden voor bestaande constructiedelen. In geen geval mogen deze waarden toegepast worden voor nieuwe of vernieuwde constructiedelen.

### H.2 Bepaling van de warmteweerstand van bestaande (delen van) muren

#### H.2.1 Algemeen

Wanneer de volledige samenstelling van een bestaande muur gekend is, wordt de methode voor de bepaling van de totale warmteweerstand op basis van de laagopbouw uit § 5 overgenomen. Dit wil zeggen dat zowel het type materiaal als de dikte van elke laag bekend moeten zijn.

Van zodra de samenstelling niet volledig gekend is, wordt de totale warmtedoorgangscoefficient van de muur als volgt berekend:

$$\text{Eq. 101} \quad U_{T,wall,ex} = \frac{1}{R_{si} + R_{c,wall,ex} + R_{se}} + \Delta U_f \quad (\text{W}/(\text{m}^2 \cdot \text{K}))$$

met:

$R_{si}$  de warmteovergangsweerstand aan het binnenoppervlak, bepaald volgens § 5.3, in  $\text{m}^2 \cdot \text{K}/\text{W}$ ;

$R_{c,wall,ex}$  de warmteweerstand van de bestaande muur, in  $\text{m}^2 \cdot \text{K}/\text{W}$ ;

$R_{se}$  de warmteovergangsweerstand aan het buitenoppervlak, bepaald volgens § 5.3, in  $\text{m}^2 \cdot \text{K}/\text{W}$ ;

$\Delta U_f$  de correctieterm t.g.v. mechanische bevestigingen die de isolatielaag doorboren, berekend volgens § 7.2.3. Indien er geen isolatielaag aanwezig is of indien de isolatielaag onderbroken is door periodieke onderbrekingen, wordt  $\Delta U_f = 0$  gesteld. In het geval van meerdere isolatielagen zonder onderbreking, worden de individuele  $\Delta U_f$  opgeteld, in  $\text{W}/(\text{m}^2 \cdot \text{K})$ .

De warmteweerstand  $R_{c,wall,ex}$  wordt berekend als volgt:

$$\text{Eq. 102} \quad R_{c,wall,ex} = R_{insul} + R_{rem,wall,ex} + R_{cav} \quad (\text{m}^2 \cdot \text{K}/\text{W})$$

met:

$R_{insul}$  de warmteweerstand van de isolatie, in  $\text{m}^2 \cdot \text{K}/\text{W}$ , bepaald volgens § H.2.2;

$R_{cav}$  de warmteweerstand van de spouw, in  $\text{m}^2 \cdot \text{K}/\text{W}$ , bepaald volgens § H.2.3;

$R_{rem,wall,ex}$  de warmteweerstand van de overige bestaande delen van de muur, in  $m^2 \cdot K/W$ , bepaald volgens § H.2.4.

### H.2.2 $R_{insul}$

Indien geweten is dat er geen isolatie aanwezig is in de bestaande muur, is  $R_{insul}$  gelijk aan 0.

In alle andere gevallen wordt  $R_{insul}$  berekend als volgt:

$$\text{Eq. 103 } R_{insul} = \frac{d_{insul}}{(f_{insul} \cdot \lambda_{insul}) + (f_{break} \cdot \lambda_{break})} \quad (m^2 \cdot K/W)$$

met:

$d_{insul}$  de dikte van de isolatie, in m;  
 $f_{insul}$  de volumefractie van de isolatie, (-);  
 $\lambda_{insul}$  de warmtegeleidbaarheid van de isolatie, in  $W/(m \cdot K)$ ;  
 $f_{break}$  de volumefractie van periodieke onderbrekingen van de isolatie, zoals regel- en stijlwerk, metalstuds, etc, (-);  
 $\lambda_{break}$  de warmtegeleidbaarheid van periodieke onderbrekingen van de isolatie, in  $W/(m \cdot K)$ .

#### Dikte van de isolatie

- Bij na-isolatie van een bestaande muur wordt er steeds gerekend met de gestaafde, werkelijke isolatiedikte. Onderstaande tabellen mogen dan niet worden toegepast.
- Indien niet gekend is of er al dan niet isolatie aanwezig is in de muur, wordt een dikte aangenomen afhankelijk van het (ver)bouwjaar:

Tabel H.1 - Aangenomen dikte van de isolatie, in mm

(Ver)bouwjaar	Muren naar de buitenomgeving	Andere muren
Onbekend	0	0
... - 1970	0	0
1971-1985	10	0
1986-1992	30	0
1993-2005	40	0
2006 -...	60	20

- Indien wordt gestaafd dat er isolatie aanwezig is, maar wanneer de isolatiedikte onbekend is, worden onderstaande waarden aangehouden:

Tabel H.2 - Aangenomen dikte van de isolatie, in mm

(Ver)bouwjaar	Muren naar de buitenomgeving	Andere muren
Onbekend	20	20
... - 1970	20	20
1971-1985	20	20
1986-1992	40	20
1993-2005	50	20
2006 -...	60	20

- Indien de isolatiedikte gestaafd is, wordt deze overgenomen.

#### Volumefractie van de isolatie

De volumefractie van de isolatie,  $f_{\text{insul}}$ , is gelijk aan:

$$\text{Eq. 104 } f_{\text{insul}} = 1 - f_{\text{break}}, \quad (-) \quad (-)$$

met:

$f_{\text{break}}$  de volumefractie van periodieke onderbrekingen van de isolatie, zoals regel- en stijlwerk, metalstuds, etc, (-);

#### Warmtegeleidbaarheid van de isolatie

- Als het materiaal gekend of nieuw geplaatst is, kan de gestaafde warmtegeleidbaarheid in detail worden ingerekend of kunnen de waarden bij ontstentenis uit tabellen A.14 worden toegepast.
- Als het isolatiemateriaal onbekend is, wordt gerekend met een  $\lambda$ -waarde bij ontstentenis van 0,050 W/(m.K).

#### Volumefractie van periodieke onderbrekingen van de isolatie

Enkel indien zowel de warmtegeleidbaarheid als de volumefractie van de periodieke onderbrekingen gestaafd zijn, kan de werkelijke volumefractie gebruikt worden. In alle andere gevallen worden onderstaande volumefracties aangehouden:

Tabel H.3 - Volumefractie van de onderbreking

Schildeel	Onderbreking aanwezig of onbekend	Onderbreking afwezig
Muren	0,15	0

**Warmtegeleidbaarheid van periodieke onderbrekingen**

De warmtegeleidbaarheid van periodieke onderbrekingen van de isolatie,  $\lambda_{break}$ , is vastgelegd op 0,13 W/(m.K). Enkel indien zowel de warmtegeleidbaarheid als de volumefractie van de periodieke onderbrekingen gekend zijn, kan deze warmtegeleidbaarheid overschreven worden door de werkelijke warmtegeleidbaarheid.

**H.2.3  $R_{cav}$** 

Indien de dikte van de luchtlaag en de mate van ventilatie van de spouw gekend zijn en bij een nieuwe geplaatste spouw, wordt  $R_{cav}$  berekend volgens § 5.4.

Wanneer dit niet het geval is, wordt de warmteweerstand van de spouw bepaald volgens onderstaande tabel. Voor de beschrijving van de mate van ventilatie wordt verwezen naar 5.4.

**Tabel H.4 - Warmteweerstand van de spouw**

Situatie	$R_{cav}$ ( $m^2 \cdot K/W$ )
Spouw aanwezig: sterk geventileerd	0
Spouw aanwezig: matig geventileerd	0,085
Spouw aanwezig: niet geventileerd	0,17
Spouw aanwezig: ventilatie onbekend	0,13
Spouw niet aanwezig	0
Onbekend	0

Bij na-isolatie van de spouw mag de bovenstaande tabel niet worden toegepast.

**H.2.4  $R_{rem,wall,ex}$** 

Dit is de warmteweerstand van de bestaande muur met uitzondering van de spouw en de isolatie. Wanneer een sterk geventileerde spouw aanwezig is, wordt enkel rekening gehouden met het gedeelte van de bestaande muur dat zich aan de binnenzijde van deze spouw bevindt.

Wanneer de volledige samenstelling (types materialen, diktes,...) van  $R_{rem,wall,ex}$  gestaafd is, wordt de methode voor de bepaling van de warmteweerstand op basis van de laagopbouw uit § 5 overgenomen.

Ook wanneer niet alle bouwlagen gestaafd zijn, mag de bepaling van de warmteweerstand op basis van de laagopbouw uit § 5 gebeuren met verwaarlozing van de ongekende bouwlagen.

Wanneer de berekening volgens § 5 niet mogelijk is, wordt gewerkt met onderstaande formule. Er mogen dan geen extra lagen van het overig deel van de bestaande muur gerapporteerd worden, zoals een afwerkingslaag.

$$\text{Eq. 105} \quad R_{rem,wall,ex} = d_{rem,wall,ex} / \lambda_{rem,wall,ex} \quad (m^2 \cdot K/W)$$

met:

$d_{rem,wall,ex}$  de dikte van de overige delen van de muur, in m;

$\lambda_{rem,wall,ex}$  de fictieve warmtegeleidbaarheid van de overige delen van de muur, in W/(m.K).

Indien de dikte van de overige delen gestaafd is, wordt deze overgenomen. Indien de dikte van de overige delen onbekend is, wordt gerekend met een aangenomen dikte van 0,20 m.

De fictieve warmtegeleidbaarheid wordt overgenomen uit onderstaande tabel. Het hoofdtype wordt bepaald door het grootste aandeel van het overig deel.

**Tabel H.5 - Warmtegeleidbaarheid van de overige delen**

Type	$\lambda_{rem,wall,ex}$ W/ (m.K)
1. Muren hoofdzakelijk in natuursteen	3,50
2. Muren hoofdzakelijk in beton	2,20
3. Muren hoofdzakelijk in baksteen	1,16
4. Muren hoofdzakelijk in isolerende snelbouwsteen	0,64
5. Muren hoofdzakelijk in cellenbeton	0,20
6. Muren hoofdzakelijk in luchtdicht houtskelet (1)	1,00

(1) Een luchtdichte houtskeletwand is aan beide zijden afgewerkt. Wanneer bij visuele inspectie geen spleten of kieren aan de binnenafwerking kunnen worden vastgesteld, wordt de houtskeletwand als luchtdicht beschouwd. Als aan deze voorwaarden niet voldaan is, wordt er gerekend met  $R_{rem,wall,ex} = 0$

### H.3 Bepaling van de warmteweerstand van bestaande (delen van) daken en plafonds

#### H.3.1 Algemeen

Wanneer de volledige samenstelling van het bestaande dak of plafond gekend is, wordt de methode voor de bepaling van de totale warmteweerstand op basis van de laagopbouw uit § 5 volledig overgenomen. Dit wil zeggen dat zowel het type materiaal als de dikte van elke laag bekend moeten zijn.

Van zodra de samenstelling niet volledig gekend is, wordt de totale warmteweerstand van het bestaande dak of plafond berekend als volgt:

$$\text{Eq. 106} \quad R_{T,roof,ceiling,ex} = R_{si} + R_{c,roof,ceiling,ex} + R_{se} \quad (\text{m}^2 \cdot \text{K/W})$$

met:

$R_{si}$  de warmteovergangsweerstand aan het binnenoppervlak, bepaald volgens § 5.3, in  $\text{m}^2 \cdot \text{K/W}$ ;

$R_{c,roof,ceiling,ex}$  de warmteweerstand van het bestaand dak of plafond, in  $\text{m}^2 \cdot \text{K/W}$ ;

$R_{se}$  de warmteovergangsweerstand aan het buitenoppervlak, bepaald volgens § 5.3, in  $\text{m}^2 \cdot \text{K/W}$ .

De warmteweerstand  $R_{c,roof,ceiling,ex}$  wordt berekend als volgt:

$$\text{Eq. 107} \quad R_{c,roof,ceiling,ex} = R_{insul} + R_{rem,roof,ceiling,ex} \quad (\text{m}^2 \cdot \text{K/W})$$

met:

$R_{insul}$  de warmteweerstand van de isolatie, in  $\text{m}^2 \cdot \text{K/W}$ , bepaald volgens § H.3.2;

$R_{rem,roof,ceiling,ex}$  de warmteweerstand van de overige bestaande delen van het dak of plafond, in  $\text{m}^2 \cdot \text{K/W}$ , bepaald volgens § H.3.3.

**H.3.2  $R_{\text{insul}}$** 

Indien geweten is dat er geen isolatie aanwezig is, is  $R_{\text{insul}}$  gelijk aan 0.

In alle andere gevallen wordt  $R_{\text{insul}}$  berekend als volgt:

$$\text{Eq. 108 } R_{\text{insul}} = \frac{d_{\text{insul}}}{(f_{\text{insul}} \cdot \lambda_{\text{insul}}) + (f_{\text{break}} \cdot \lambda_{\text{break}})} \quad (\text{m}^2 \cdot \text{K}/\text{W})$$

met:

$d_{\text{insul}}$	de dikte van de isolatie, in m;
$f_{\text{insul}}$	de volumefractie van de isolatie, (-);
$\lambda_{\text{insul}}$	de warmtegeleidbaarheid van de isolatie, in W/(m.K);
$f_{\text{break}}$	de volumefractie van periodieke onderbrekingen van de isolatie, zoals regel- en stijlwerk, metalstuds, etc, (-);
$\lambda_{\text{break}}$	de warmtegeleidbaarheid van periodieke onderbrekingen van de isolatie, in W/(mK).

**Dikte van de isolatie**

- Bij na-isolatie van een bestaand dak of plafond wordt er steeds gerekend met de gestaafde, werkelijke isolatiedikte. Onderstaande tabellen mogen dan niet worden toegepast.
- Indien niet gekend is of er al dan niet isolatie aanwezig is, wordt een dikte aangenomen afhankelijk van het (ver)bouwjaar:

**Tabel H.6 - Aangenomen dikte van de isolatie, in mm**

(Ver)bouwjaar	Hellend dak	Plat dak	Plafond naar AOR	Plafond naar AVR
Onbekend	0	0	0	0
... - 1970	0	0	0	0
1971-1985	30	30	20	0
1986-1992	50	60	40	0
1993-2005	80	70	40	0
2006 -...	100	90	90	20



- Indien wordt gestaafd dat er isolatie aanwezig is, maar wanneer de isolatiedikte onbekend is, worden onderstaande waarden aangehouden:

Tabel H.7 - Aangenomen dikte van de isolatie, in mm

(Ver)bouwjaar	Hellend dak	Plat dak	Plafond naar AOR	Plafond naar AVR
Onbekend	20	20	20	20
... - 1970	20	20	20	20
1971-1985	50	50	40	20
1986-1992	60	70	60	20
1993-2005	90	70	60	20
2006 -...	100	90	90	20

- Indien de isolatiedikte gestaafd is, wordt deze overgenomen

#### Volumefractie van de isolatie

De volumefractie van de isolatie,  $f_{\text{insul}}$ , is gelijk aan:

$$\text{Eq. 109 } f_{\text{insul}} = 1 - f_{\text{break}}, \quad (-) \quad (-)$$

met:

$f_{\text{break}}$  de volumefractie van periodieke onderbrekingen van de isolatie, zoals regel- en stijlwerk, metalstuds, etc, (-);

#### Warmtegeleidbaarheid van de isolatie

- Als het materiaal gekend of nieuw geplaatst is, kan de gestaafe warmtegeleidbaarheid in detail worden ingerekend of kunnen de waarden bij ontstentenis uit tabellen A.14 worden toegepast.
- Als het isolatiemateriaal onbekend is, wordt gerekend met een  $\lambda$ -waarde bij ontstentenis van 0,050 W/(m.K).

#### Volumefractie van periodieke onderbrekingen van de isolatie

Enkel indien zowel de warmtegeleidbaarheid als de volumefractie van de periodieke onderbrekingen gestaafd zijn, kan de werkelijke volumefractie gebruikt worden. In alle andere gevallen worden onderstaande volumefracties aangehouden:

Tabel H.8 - Volumefractie van de onderbreking

Schildeel	Onderbreking aanwezig of onbekend	Onderbreking afwezig
Hellende daken	0,15	0
Platte daken en plafonds	0,11	0

#### Warmtegeleidbaarheid van periodieke onderbrekingen

De warmtegeleidbaarheid van periodieke onderbrekingen van de isolatie,  $\lambda_{\text{onderbreking}}$ , is vastgelegd op 0,13 W/(m.K). Enkel indien zowel de warmtegeleidbaarheid als de

volumefractie van de periodieke onderbrekingen gekend zijn, kan deze warmtegeleidbaarheid overschreven worden door de werkelijke warmtegeleidbaarheid.

### H.3.3 $R_{rem,roof,ceiling,ex}$

Dit is de warmteweerstand van het bestaande dak of plafond met uitzondering van de isolatie. Wanneer een sterk geventileerde spouw aanwezig is, wordt enkel rekening gehouden met het gedeelte van het constructiedeel dat zich aan de binnenzijde van deze spouw bevindt.

Wanneer de volledige samenstelling (types materialen, diktes,...) van  $R_{rem,roof,ceiling,ex}$  gestaaft is, wordt de methode voor de bepaling van de warmteweerstand op basis van de laagopbouw uit § 5 overgenomen.

Ook wanneer niet alle bouwlagen gestaaft zijn, mag de bepaling van de warmteweerstand op basis van de laagopbouw uit § 5 gebeuren met verwaarlozing van de ongekenne bouwlagen.

Wanneer de berekening volgens § 5 niet mogelijk is, wordt gewerkt met onderstaande formule. Er mogen dan geen extra lagen van het overig deel van het bestaande dak of plafond worden gerapporteerd, zoals een afwerkingslaag.

$$\text{Eq. 110 } R_{rem,roof,ceiling,ex} = d_{rem,roof,ceiling,ex} / \lambda_{rem,roof,ceiling,ex} \quad (\text{m}^2 \cdot \text{K}/\text{W})$$

met:

$d_{rem,roof,ceiling,ex}$  de dikte van de overige delen van het dak of plafond, in m;  
 $\lambda_{rem,roof,ceiling,ex}$  de fictieve warmtegeleidbaarheid van de overige delen van het dak of plafond, in W/(m.K).

Indien de dikte van de overige delen gestaaft is, wordt deze overgenomen. Indien de dikte van de overige delen onbekend is, wordt gerekend met een aangenomen dikte van 0,20 m.

De fictieve warmtegeleidbaarheid wordt overgenomen uit onderstaande tabel.

**Tabel H.9 - Aangenomen warmtegeleidbaarheid**

Type	$\lambda_{rem,roof,ceiling,ex}$ W/(m.K)
1. Standaard hellend dak	3,50
2. Hellend dak in riet	0,20
3. Standaard plat dak	1,80
4. Standaard plafond	1,33
5. Plat dak of plafond met cellenbeton constructie	0,33

## H.4 Bepaling van de warmteweerstand van bestaande (delen van) vloeren

### H.4.1 Algemeen

Wanneer de volledige samenstelling van de bestaande vloer gekend is, wordt de methode voor de bepaling van de totale warmteweerstand op basis van de laagopbouw uit § 5 volledig overgenomen. Dit wil zeggen dat zowel het type materiaal als de dikte van elke laag bekend moeten zijn.

Van zodra de samenstelling niet volledig gekend is, wordt de totale warmteweerstand van de vloer berekend als volgt:<sup>2</sup>

$$\text{Eq. 111} \quad R_{T, \text{floor}, \text{ex}} = R_{\text{si}} + R_{\text{c}, \text{floor}, \text{ex}} + R_{\text{se}} \quad (\text{m}^2 \cdot \text{K/W})$$

met:

$R_{T, \text{floor}, \text{ex}}$  de totale warmteweerstand van de bestaande vloer, in  $\text{m}^2 \cdot \text{K/W}$ ;

$R_{\text{si}}$  de warmteovergangsweerstand aan het binnenoppervlak, bepaald volgens 5.3, in  $\text{m}^2 \cdot \text{K/W}$ ;

$R_{\text{c}, \text{floor}, \text{ex}}$  de warmteweerstand van de bestaande vloer, in  $\text{m}^2 \cdot \text{K/W}$ ;

$R_{\text{se}}$  de warmteovergangsweerstand aan het buitenoppervlak, bepaald volgens 5.3, in  $\text{m}^2 \cdot \text{K/W}$ .

De warmteweerstand  $R_{\text{c}, \text{floor}, \text{ex}}$  wordt berekend als volgt:

$$\text{Eq. 112} \quad R_{\text{c}, \text{floor}, \text{ex}} = R_{\text{insul}} + R_{\text{rem}, \text{floor}, \text{ex}} \quad (\text{m}^2 \cdot \text{K/W})$$

met:

$R_{\text{insul}}$  de warmteweerstand van de isolatie, in  $\text{m}^2 \cdot \text{K/W}$ , bepaald volgens § H.4.2;

$R_{\text{rem}, \text{floor}, \text{ex}}$  de warmteweerstand van de overige bestaande delen van de vloer, in  $\text{m}^2 \cdot \text{K/W}$ , bepaald volgens § H.4.3;

#### H.4.2 $R_{\text{insul}}$

Indien geweten is dat er geen isolatie aanwezig is, is  $R_{\text{insul}}$  gelijk aan 0.

In alle andere gevallen wordt  $R_{\text{insul}}$  berekend als volgt:

$$\text{Eq. 113} \quad R_{\text{insul}} = \frac{d_{\text{insul}}}{(f_{\text{insul}} \cdot \lambda_{\text{insul}}) + (f_{\text{break}} \cdot \lambda_{\text{break}})} \quad (\text{m}^2 \cdot \text{K/W})$$

met:

$d_{\text{insul}}$  de dikte van de isolatie, in m;

$f_{\text{insul}}$  de volumefractie van de isolatie, (-);

$\lambda_{\text{insul}}$  de warmtegeleidbaarheid van de isolatie, in  $\text{W}/(\text{m} \cdot \text{K})$ ;

$f_{\text{break}}$  de volumefractie van periodieke onderbrekingen van de isolatie, zoals regel- en stijlwerk, metalstuds, etc, (-);

$\lambda_{\text{break}}$  de warmtegeleidbaarheid van periodieke onderbrekingen van de isolatie, in  $\text{W}/(\text{m} \cdot \text{K})$ .

**Dikte van de isolatie**

- Bij na-isolatie van een bestaande vloer wordt er steeds gerekend met de gestaafe, werkelijke isolatiedikte. Onderstaande tabellen mogen dan niet toegepast worden.
- Indien niet gekend is of er al dan niet isolatie aanwezig is, wordt een dikte aangenomen afhankelijk van het (ver)bouwjaar:

**Tabel H.10 - Aangenomen dikte van de isolatie, in mm**

(Ver)bouwjaar	Vloeren (1) naar buitenomgeving, AOR, kelder, kruipruimte of grond	Vloeren (1) naar AVR
Onbekend	0	0
... - 1970	0	0
1971-1985	10	0
1986-1992	10	0
1993-2005	10	0
2006 -...	30	20

(1) Als vloerverwarming aanwezig is, wordt voor vloeren minstens 30 mm isolatie aangehouden.

- Indien wordt gestaaft dat er isolatie aanwezig is, maar wanneer de isolatiedikte onbekend is, worden onderstaande waarden aangenomen:

**Tabel H.11 - Aangenomen dikte van de isolatie, in mm**

(Ver)bouwjaar	Vloeren (1) naar buitenomgeving, AOR, kelder, kruipruimte of grond	Vloeren (1) naar AVR
Onbekend	20	20
... - 1970	20	20
1971-1985	20	20
1986-1992	20	20
1993-2005	20	20
2006 -...	20	20

(1) Als vloerverwarming aanwezig is, wordt voor vloeren minstens 30 mm isolatie aangehouden.

- Indien de isolatiedikte gestaaft is, wordt deze overgenomen.

**Volumefractie van de isolatie**

De volumefractie van de isolatie,  $f_{insul}$ , is gelijk aan:

$$\text{Eq. 114 } f_{insul} = 1 - f_{break}, (-)$$

(-)

met:

$f_{\text{break}}$  de volumefractie van periodieke onderbrekingen van de isolatie, zoals regel- en stijfwerk, metalstuds, etc, (-);

#### **Warmtegeleidbaarheid van de isolatie**

- Als het materiaal gekend of nieuw geplaatst is, kan de gestaafe warmtegeleidbaarheid in detail worden ingerekend of kunnen de waarden bij ontstentenis uit tabellen A.14 worden toegepast.
- Als het isolatiemateriaal onbekend is, wordt gerekend met een  $\lambda$ -waarde bij ontstentenis van 0,050 W/(m.K).

#### **Volumefractie van periodieke onderbrekingen van de isolatie**

Enkel indien zowel de warmtegeleidbaarheid als de volumefractie van de periodieke onderbrekingen gestaaft zijn, kan de werkelijke volumefractie gebruikt worden. In alle andere gevallen worden onderstaande volumefracties aangehouden:

Tabel H.12 - Volumefractie van de onderbreking

Fractie onderbreking		
Schildeel	Onderbreking aanwezig of onbekend	Onderbreking afwezig
Vloeren	0,11	0

#### **Warmtegeleidbaarheid van periodieke onderbrekingen**

De warmtegeleidbaarheid van periodieke onderbrekingen van de isolatie,  $\lambda_{\text{break}}$ , is vastgelegd op 0,13 W/(m.K). Enkel indien zowel de warmtegeleidbaarheid als de volumefractie van de periodieke onderbrekingen gekend zijn, kan deze warmtegeleidbaarheid overschreven worden door de werkelijke warmtegeleidbaarheid.

#### **H.4.3 $R_{\text{rem, floor, ex}}$**

Dit is de totale warmteweerstand van de overige bestaande delen van de vloer met uitzondering van de isolatie.

Wanneer de volledige samenstelling (types materialen, diktes,...) van  $R_{\text{rem, floor, ex}}$  gestaaft is, wordt de methode voor de bepaling van de warmteweerstand op basis van de laagopbouw uit § 5 overgenomen.

Ook wanneer niet alle bouwlagen gestaaft zijn, mag de bepaling van de warmteweerstand op basis van de laagopbouw uit § 5 gebeuren met verwaarlozing van de ongekende bouwlagen.

Wanneer de berekening volgens § 5 niet mogelijk is, wordt gewerkt met onderstaande formule. Er mogen dan geen extra lagen van het overig deel van de vloer worden gerapporteerd, zoals een afwerkingslaag.

$$\text{Eq. 115} \quad R_{\text{rem, floor, ex}} = d_{\text{rem, floor, ex}} / \lambda_{\text{rem, floor, ex}} \quad (\text{m}^2 \cdot \text{K}/\text{W})$$

met:

$d_{rem, floor, ex}$  de dikte van de overige delen van de vloer, in m;  
 $\lambda_{rem, floor, ex}$  de fictieve warmtegeleidbaarheid van de overige delen van de vloer, in W/(m.K).

Indien de dikte van de overige delen gestaafd is, wordt deze overgenomen. Indien de dikte van de overige delen onbekend is, wordt gerekend met een aangenomen dikte van 0,20 m.

De fictieve warmtegeleidbaarheid wordt overgenomen uit onderstaande tabel. Het hoofdtype wordt bepaald door het grootste aandeel van het overig deel.

**Tabel H.13 - Warmtegeleidbaarheid van de overige delen**

Type	$\lambda_{rem, floor, ex}$ W/(m.K)
1. Vloer met houten constructie	3,50
2. Vloer met steenachtige constructie	1,33
3. Vloer met cellenbeton constructie	0,33

#### H.5 Bepaling van de U-waarde en g-waarde van bestaande vensters

Indien de U-waarde van een bestaand venster niet kan worden bepaald omdat één of meerdere van de samenstellende onderdelen (profiel, glas,...) niet gekend zijn, wordt deze bepaald volgens de vereenvoudigde methode in § 8.5 met toepassing van onderstaande waarden bij ontstentenis waar nodig:

##### H.5.1 $U_f$ -waarde

Voor bestaande profielen wordt de U-waarde indien mogelijk bepaald volgens § 9.2. Daarnaast mag steeds worden gerekend met de waarden bij ontstentenis uit bijlage D en onderstaande tabel.

**Tabel H.14 - U-waarde bij ontstentenis in functie van type profiel**

Type	$U_f$ (W/(m <sup>2</sup> .K))
1. Metaal, niet thermisch onderbroken	5,9
2. Metaal, thermisch onderbroken	4,2
3. Aluminium, thermisch onderbroken $\geq 2000$	2,5
4. Aluminium, thermisch onderbroken $\geq 2015$	2,0
5. Kunststof, 1 kamer of geen informatie	2,9
6. Kunststof, 2 of meer kamers	2,2
7. Kunststof, 2 of meer kamers $\geq 2000$	1,7
8. Hout	2,2
9. Hout, dikte $\geq 100$ mm	1,7
10. Hout, dikte $\geq 150$ mm	1,3
11. Geen profiel	3,5

**H.5.2 U<sub>g</sub>-waarde**

Voor bestaande beglazingen wordt de U<sub>g</sub>-waarde indien mogelijk bepaald volgens § 9.1. Daarnaast mag steeds gerekend worden met de waarden bij ontstentenis uit onderstaande tabel.

**Tabel H.15 - U-waarde bij ontstentenis in functie van type transparant deel**

Type	U <sub>g</sub> (W/(m <sup>2</sup> .K))
1. Enkelvoudige beglazing	5,8
2. Transparante kunststofplaten 2 of 3 lagen	5,8
3. Gewone dubbele beglazing	2,8
4. Transparante kunststofplaten 4 lagen	2,8
5. Hoogrendementsglas (ver)bouwjaar <2000	2
6. Hoogrendementsglas (ver)bouwjaar ≥2000	1,4
7. Driedubbele beglazing zonder coating	2,0
8. Driedubbele beglazing met coating	0,7

**H.5.3 U<sub>p</sub>-waarde**

Voor bestaande panelen wordt de U<sub>p</sub>-waarde indien mogelijk bepaald volgens § 9.3.

Indien de U<sub>p</sub>-waarde of de samenstelling niet volledig gekend is, wordt onderstaande werkwijze aangehouden. Hierbij wordt enkel de isolatie beschouwd. De eventuele warmteweerstand van de afwerkmaterialen wordt buiten beschouwing gelaten.

- A) Indien geweten is dat er geen isolatie aanwezig is, wordt er gerekend met een waarde bij ontstentenis van 6,0 W/(m<sup>2</sup>.K).
- B) Indien niet gekend is of er al dan niet isolatie aanwezig is, wordt er gerekend met een waarde bij ontstentenis van 6,0 W/(m<sup>2</sup>.K).
- C) Indien wordt gestaafd dat er isolatie aanwezig is, maar wanneer de isolatiedikte onbekend is, wordt een isolatiedikte van 20 mm aangenomen.
- D) Als het materiaal gekend is, kan de gestaafde warmtegeleidbaarheid (λ-waarde) in detail worden ingerekend of kunnen de waarden bij ontstentenis uit tabellen A.14 worden toegepast. Als het isolatiemateriaal onbekend is, wordt gerekend met een λ-waarde bij ontstentenis van 0,050 W/(m.K).
- E) Indien de isolatiedikte gestaafd is, wordt deze overgenomen.

**H.5.4 U<sub>r</sub>-waarde**

Voor bestaande ventilatieroosters wordt de U-waarde bepaald volgens § 9.4. Er mag steeds gerekend worden met de daar voorziene waarde bij ontstentenis.

**H.5.5 g-waarde**

Wanneer de zonnetoetredingsfactor volgens NBN EN 410 niet gekend is, worden volgende waarden bij ontstentenis aangenomen:

**Tabel H.16 - g-waarde bij ontstentenis in functie van type transparant deel**

Type	g (-)
1. Enkelvoudige beglazing	0,85
2. Transparante kunststofplaten 2 of 3 lagen	0,85
3. Gewone dubbele beglazing	0,77
4. Transparante kunststofplaten 4 lagen	0,77
5. Hoogrendementsglas (ver)bouwjaar <2000	0,69
6. Hoogrendementsglas (ver)bouwjaar ≥2000	0,65
7. Driedubbele beglazing zonder coating	0,70
8. Driedubbele beglazing met coating	0,50

**H.6 Bepaling van de U-waarde van bestaande deuren en poorten**

Wanneer de exacte samenstelling van bestaande deuren en/of poorten niet gekend is, wordt gebruik gemaakt van de waarden bij ontstentenis volgens § 8.6. Indien niet geweten is of de poort of deur geïsoleerd is, wordt er van uitgegaan dat er geen isolatie aanwezig is.

**H.7 Bepaling van de U-waarde van bestaande glasbouwsteenwanden**

Voor bestaande glasbouwsteenwanden wordt de U-waarde bepaald volgens § 11.1. Er mag steeds gerekend worden met de daar voorziene waarde bij ontstentenis.

**H.8 Inrekenen van de bouwknoten bij ingrijpende energetische verbouwingen**

Bouwknoten worden behandeld volgens bijlage VIII van het Energiebesluit. De 3 voorziene opties (A, B en C) kunnen bij ingrijpende energetische renovaties worden toegepast. Voor optie B zijn daar de basisregels voor EPB-aanvaarde bouwknoten vastgelegd. Bouwknoten die niet EPB-aanvaard zijn, worden ingevoerd met de waarden bij ontstentenis uit tabel 2 en 3 in bijlage VIII van het Energiebesluit.

Bestaande constructiedelen waarin geen isolatie aanwezig is, of waarbij door toepassing van deze bijlage dient aangenomen te worden dat er geen isolatie aanwezig is, worden beschouwd als zijnde massief. In dergelijk geval wordt het massief veronderstelde constructiedeel als 'de isolatielaag' beschouwd voor de beoordeling van de bouwknoten die ontstaan bij de aansluiting met andere constructiedelen. Bij conventie wordt aangenomen dat bij ingrijpende energetische renovaties de bouwknoten die voorkomen in het vlak van massieve constructies, niet in rekening worden gebracht.

Wanneer er geen effectieve vaststelling kan gebeuren over de aard van de onderbreking bij een bestaande lineaire bouwknop, is de waarde bij ontstentenis onder punt 1 van tabel 2 in bijlage VIII van het Energiebesluit van toepassing.

Wanneer er geen effectieve vaststelling kan gebeuren over de aard van de onderbreking bij een bestaande puntbouwknop, is de waarde bij ontstentenis onder punt 1 van tabel 3 in bijlage VIII van het Energiebesluit van toepassing met als z de zichtbare zijde in het verliesoppervlak waar de puntbouwknop zich voordoet.



### H.9 Stavingsstukken voor de karakteristieken van bestaande constructiedelen

Bij de toepassing van de waarden bij ontstentenis uit deze bijlage zijn stavingsstukken nodig ter verantwoording van de gemaakte keuze. Het gaat daarbij onder andere om stavingsstukken van de dikte en de warmtegeleidbaarheid van materialen, het (ver)bouwjaar of de keuze van een type in bovenstaande tabellen.

Elk stavingsstuk heeft tot doel het aantonen van de werkelijke plaatsing van een materiaal of constructiedeel op een welbepaald ogenblik op een welbepaalde plaats in een welbepaald project. Hiervoor is in sommige gevallen één stavingsstuk voldoende. Meestal is er echter een combinatie van stavingsstukken nodig, die samen kunnen aantonen dat een materiaal wel degelijk op een bepaald ogenblik op een bepaalde plaats in het beschouwde project geplaatst werd. Geplande werkzaamheden worden niet beschouwd.

Informeel en formeel verklaringen van de (vorige) eigenaar, aannemer, architect,... zijn niet toegestaan en dragen geen enkele bewijskracht.

Een visuele inspectie met een vaststelling door een vertegenwoordiger van het Vlaams Energie- en Klimaatagentschap, kortweg VEKA, staat steeds boven alle geleverde stavingsstukken door de verslaggever of aangifteplichtige en heeft dus steeds de hoogste bewijswaarde.

Verder kan er beroep gedaan worden op o.a. volgende stavingsstukken:

- Foto's die de werkelijke plaatsing en bepaalde karakteristieken (dikte, type) van materialen aantonen. Enkel foto's die eenduidig weergeven om welk product het gaat en waar het geplaatst werd, komen in aanmerking. Daarom zijn meestal een detailfoto en een overzichtsfoto van hetzelfde product nodig met eventueel een aanduiding op de plannen waar de foto's genomen werden. Foto's die op zo'n manier genomen worden dat ze op geen enkele manier gelokaliseerd kunnen worden, worden niet als stavingsstuk aanvaard, vermits ze op een andere locatie kunnen genomen zijn.
- Originele facturen waarop de datum en de adresgegevens of het kadastrale nummer van het betreffende dossier vermeld zijn.
- Lastenboeken die een onderdeel vormen van het (algemeen) aannemingscontract en als uit een visuele inspectie geen aanwijzingen volgen dat het lastenboek niet werd gevolgd. Op het lastenboek moeten de datum en de adresgegevens of het kadastraal nummer van het betreffende dossier vermeld zijn.
- Goedgekeurde subsidieaanvragen bij de Vlaamse overheid. Op deze aanvragen moeten de datum en de adresgegevens of het kadastraal nummer van het betreffende dossier vermeld zijn.
- Formulieren ondertekend door de aannemer in het kader van de federale belastingsvermindering voor energiebesparende maatregelen.
- Plannen opgemaakt en ondertekend door een architect op schaal 1/50 of groter.
- Originele werfverslagen opgesteld en ondertekend door een architect.
- Postinterventiedossier opgesteld en ondertekend door de veiligheidscoördinator.
- Technische documentatie van de gebruikte producten en/of systemen. Van deze documentatie wordt steeds nagegaan op basis van merk en productnaam of de beschikbare informatie overeenstemt met de werkelijkheid op het ogenblik van de plaatsing en of de opgegeven waarden voldoen aan de vereisten die opgelegd worden aan de invoerwaarden voor de EPB-berekeningsmethode (bv. berekening van eigenschappen volgens de juiste normen en de juiste specificaties).
- Gegevens op het geplaatste materiaal en/of constructiedeel, aan de hand van foto's (zie bovenaan).

- Gegevens verkregen door destructief onderzoek, aan de hand van foto's (zie bovenaan). Destructief onderzoek biedt de mogelijkheid om de samenstelling van bestaande constructiedelen vast te stellen en gebeurt in overleg met de eigenaar of de aangifteplichtige.
- Gegevens verkregen door visuele inspectie, aan de hand van foto's (zie bovenaan) en/of een opmetingsplan van de bestaande toestand opgesteld door een EPB-verslaggever, energiedeskundige, architect of landmeter.
- EPB-aangiften (transmissieformulier, EPW-formulier,...) zoals ingediend door de verslaggever in de Energieprestatiedatabank na het einde van de werken. Gegevens uit de startverklaring en eventuele voorlopige EPB-aangiften worden niet aanvaard.
- Vroeger afgeleverde geldige energieprestatiecertificaten. Hierbij moet opgelet worden dat door aanpassingen aan de wooneenheid, de software en/of het inspectieprotocol geen foute gegevens overgenomen worden.

Deze lijst is niet limitatief en er is ook geen rangorde naar bewijswaarde. Dit dient geval per geval beoordeeld te worden.

Als er geen gegevens over bepaalde karakteristieken van materialen of constructiedelen gekend zijn, noch via gestaafde visuele inspectie, destructief onderzoek, noch via stavingsstukken, wordt steeds de voorziene waarde bij ontstentenis gekozen.

De stavingsstukken worden steeds getoetst aan de werkelijkheid. De visuele inspectie is altijd doorslaggevend. Bij twijfel of tegenspraak tussen de bewijsstukken worden de gegevens van het jongste bewijsstuk gebruikt. Indien hier geen uitsluitsel over bestaat, wordt uitgegaan van de minst gunstige aanname. Een stavingsstuk vervalt bij latere aanpassingen of renovaties.

## **Bijlage I Bijkomende specificaties voor de na-isolatie van bestaande spouwmuren**

### **I.1 Inleiding**

Bijlage VII bij het Energiebesluit van 19 november 2010 legt onder rubriek 4.1.3 eisen op aan na-geïsoleerde bestaande spouwmuren bij ingrijpende renovaties van residentiële gebouwen. Voor deze spouwmuren worden bijkomende technische specificaties vastgelegd in de volgende paragrafen.

De eengemaakte technische specificatie STS 71-1 behandelt de na-isolatie van spouwmuren door het in situ vullen van een luchtspouw met een nominale breedte van ten minste 50 mm.

### **I.2 Algemene bepalingen**

#### **I.2.1 Definities**

- **Bestaande muren:** muren waarvan de draagconstructie niet vernieuwd of nieuw gebouwd wordt.
- **Bestaande muren met isolatie aan de binnenzijde:** bestaande muren die aan de binnenzijde van de draagconstructie worden geïsoleerd, voor zover het geen bestaande muur met navulling of met isolatie aan de buitenzijde betreft.
- **Bestaande muren met isolatie aan de buitenzijde:**
  - 1° Bestaande muren die aan de buitenzijde van de draagconstructie worden geïsoleerd, al dan niet met voorafgaande afbraak van een buitenafwerking;
  - 2° Bestaande muren die aan de buitenzijde van de draagconstructie worden geïsoleerd, al dan niet met voorafgaande afbraak van een buitenafwerking, in combinatie met navulling en/ of binnenisolatie.
- **Bestaande spouwmuren met navulling:**
  - 1° Bestaande muren waarvan enkel de bestaande ongeïsoleerde spouw met een spouwbreedte van minimaal 50 mm wordt nagevuld volgens specificaties van deze bijlage;
  - 2° Bestaande muren waarvan de bestaande ongeïsoleerde spouw met een spouwbreedte van minimaal 50 mm wordt nagevuld volgens specificaties van deze bijlage in combinatie met binnenisolatie.

#### **I.2.2 Specificaties voor de na-isolatie van bestaande spouwmuren**

Het na-isoleren van bestaande spouwmuren moet voldoen aan de eengemaakte technische specificatie STS 71-1, behoudens de bepalingen onder § I.2.4 en § I.2.5.

#### **I.2.3 Verduidelijkingen**

Het toepassingsgebied van de eengemaakte technische specificatie STS 71-1 is beperkt tot bestaande spouwmuren met een spouwbreedte van minimaal 50 mm.

Een bestaande spouw moet aan de in 3.4 van STS 71-1 gestelde voorwaarden voldoen om in aanmerking te komen voor navulling.

Wanneer de bestaande spouw volgens STS 71-1 niet in aanmerking komt voor navulling, wordt deze muur beschouwd als een bestaande spouwmuur zonder navulling in de spouw, zelfs als er toch isolatie zou zijn aangebracht in de spouw.

De rekenwaarde van de na-geïsoleerde spouwmuur wordt berekend volgens 7.2 van STS 71-1.

#### **I.2.4 Aanvullingen**

Punt 7.1.1 van STS 71-1 wordt aangevuld met:

"Indien aan deze voorwaarde niet voldaan is, wordt de warmteweerstand van deze isolatielaag gelijk gesteld aan 0.

Indien er geen gedeclareerde warmtegeleidingscoëfficiënt van het isolatiemateriaal beschikbaar is, wordt er gerekend met de waarden bij ontstentenis voor het materiaal, vermeld in bijlage A van bijlage 4."

#### **I.2.5 Afwijkingen**

Punt 3.8 van STS 71-1 is niet van toepassing. Voor het navullen van spouwen bij nieuwbouw geldt bijlage 4.

Gezien om gevoegd te worden bij het ministerieel besluit tot wijziging van diverse bepalingen van het ministerieel besluit van 28 december 2018 houdende algemene bepalingen inzake de energieprestatieregelgeving, energieprestatiecertificaten en de certificering van aannemers en installateurs.

Brussel, 15/11/2022

De Vlaamse minister van Justitie en Handhaving, Omgeving, Energie en Toerisme

Zuhal DEMIR